

**IDENTIFIKASI DAERAH RAWAN LONGSOR DI KECAMATAN  
CAMBA KABUPATEN MAROS MENGGUNAKAN  
MIKROTREMOR**



Diajukan untuk memenuhi salah satu syarat meraih gelar  
Sarjana Sains Jurusan Fisika  
Pada Fakultas Sains Dan Teknologi  
UIN Alauddin Makassar

UNIVERSITAS ISLAM NEGERI  
**ALAUDDIN**  
M A K A S S A R

Oleh:  
NIRMAYANTI  
NIM. 60400113049

FAKULTAS SAINS DAN TEKNOLOGI  
UIN ALAUDDIN MAKASSAR

2017

**IDENTIFIKASI DAERAH RAWAN LONGSOR DI KECAMATAN  
CAMBA KABUPATEN MAROS MENGGUNAKAN  
MIKROTREMOR**



Diajukan untuk memenuhi salah satu syarat meraih gelar  
Sarjana Sains Jurusan Fisika  
Pada Fakultas Sains Dan Teknologi  
UIN Alauddin Makassar

UNIVERSITAS ISLAM NEGERI  
**ALAUDDIN**  
M A K A S S A R

Oleh:  
NIRMAYANTI  
NIM. 60400113049

FAKULTAS SAINS DAN TEKNOLOGI  
UIN ALAUDDIN MAKASSAR

2017

## PERNYATAAN KEASLIAN SKRIPSI

Dengan penuh kesadaran, penyusun yang bertanda tangan di bawah ini menyatakan bahwa skripsi ini benar adalah hasil karya penyusun sendiri. Jika kemudian hari terbukti bahwa ia merupakan duplikat, tiruan, plagiat atau dibuat oleh orang lain, sebagian dan seluruhnya, maka skripsi dan gelar yang diperoleh dinyatakan batal karena hukum.



Gowa, 22 Agustus 2017

Penulis

A handwritten signature in black ink, appearing to be 'Nirmayanti', written over a faint grid background.

Nirmayanti  
NIM 60400113049

UNIVERSITAS ISLAM NEGERI  
**ALAUDDIN**  
M A K A S S A R

## PENGESAHAN SKRIPSI

Skripsi yang berjudul “Identifikasi Daerah Rawan Longsor di Kecamatan Camba Kabupaten Maros Menggunakan Mikrotremor” yang disusun oleh Nirmayanti, Nim: 60400113049, Mahasiswa Jurusan Fisika pada Fakultas Sains dan Teknologi UIN Alauddin Makassar, telah diuji dan dipertahankan dalam sidang Munaqasyah yang diselenggarakan pada hari kamis tanggal 24 Agustus 2017 M, bertepatan dengan 2 Dzulhijjah 1438 H, dinyatakan telah dapat diterima sebagai salah satu syarat untuk meraih gelar sarjana dalam ilmu sains dan teknologi, jurusan fisika.

Gowa,

24 Agustus 2017 M  
2 Dzulhijjah 1438 H

### DEWAN PENGUJI

Ketua	: Dr. Wasilah, S.T., M.T	(.....)
Sekretaris	: Ihsan, S.Pd., M.Si.	(.....)
Munaqisy I	: Hernawati, S.Pd., M.Pfis.	(.....)
Munaqisy II	: Dr. Sohra, M.Ag.	(.....)
Pembimbing I	: Rahmaniah, S.Si., M.Si.	(.....)
Pembimbing II	: Sri Zelviani, S.Si., M.Sc.	(.....)

Diketahui Oleh:

Dekan Fakultas Sains dan Teknologi

UIN Alauddin Makassar



Prof. Dr. H. Arifuddin, M.Ag  
NIP: 19691205 199303 1 001

## KATA PENGANTAR



Puji Syukur kami panjatkan kehadirat Allah SWT karena dengan rahmat dan karunia-Nya sehingga sampai saat ini penulis masih diberikan kenikmatan dan kesehatan. Shalawat serta salam senantiasa tercurah kepada tauladan kita Nabi Agung Muhammad SAW, yang telah menuntun manusia menuju jalan kebahagiaan hidup di dunia dan di akhirat.

Alhamdulillah penulis telah berhasil menyelesaikan penelitian skripsi yang berjudul **“Identifikasi Daerah Rawan Longsor Di Kecamatan Camba Kabupaten Maros menggunakan Mikrotremor”**. Pada kesempatan kali ini, penulis ingin menghaturkan rasa terima kasih dan rasa hormat yang tiada hentinya kepada dua orang terkasih dalam hidup penulis yaitu Ayahanda **Madewing** dan ibunda **Rohani** yang selalu memberikan perhatian, dukungan serta motivasinya yang merupakan sumber semangat bagi penulis.

Tersusunnya skripsi ini berkat bantuan berbagai pihak yang telah mendorong dan membimbing penulis, baik tenaga, ide-ide, maupun pemikiran. Pada kesempatan kali ini, penulis ingin mengucapkan terima kasih kepada seluruh pihak yang telah membantu hingga selesainya penulisan skripsi ini, dan kepada :

1. Bapak **Prof. Dr. Musafir Pabbari, M.Si** selaku Rektor UIN Alauddin Makassar.

2. Bapak **Prof. Arifuddin, M.Ag** selaku Dekan Fakultas Sains dan Teknologi
3. Ibu **Sahara, S.Si., M.Sc., Ph.D.**, selaku Ketua Jurusan Fisika Fakultas Sains dan Teknologi yang telah memberi perhatian, dukungan kepada kami.
4. Ibu **Rahmaniah, S.Si., M.Si.**, selaku pembimbing I, yang telah mencurahkan ilmu dan waktu untuk membimbing penulis dengan penuh kesabaran, sehingga penulis dapat menyelesaikan skripsi ini. Sekaligus selaku dosen pembimbing akademik yang telah banyak berkontribusi dan memberikan masukan kepada penulis selama bersatus mahasiswa di jurusan Fisika Fakultas Sains dan Teknologi.
5. Ibu **Sri Zelviani, S.Si., M.Sc.**, selaku pembimbing II yang telah mencurahkan ilmu dan waktu untuk membimbing penulis dengan penuh kesabaran, sehingga penulis dapat menyelesaikan skripsi ini.
6. Ibu **Hernawati, S.Pd., M.Pfis.**, selaku penguji I dan Ibu **Dr. Sohra, M.Ag.**, selaku penguji II yang telah memberikan kritik dan saran yang membangun untuk perbaikan proposal ini.
7. Bapak **Ihsan, S.Pd., M.Si** selaku sekretaris jurusan Fisika Fakultas Sains dan Teknologi.
8. Semua dosen dan laboran Jurusan Fisika yang memberikan ilmu pengetahuan.
9. Semua Staf Tata Usaha dan karyawan terima kasih atas bantuannya.

10. Bapak **Jamroni** selaku kepala bidang Observasi Balai Besar Meteorologi dan Geofisika (BBMKG) Wilayah IV Makassar sebagai pembimbing, pengajar yang telah membimbing penulis dalam menyelesaikan skripsi ini.
11. Bapak **Tri** dan **Jesiwan Irfandi** staf Balai Besar Meteorologi dan Geofisika (BBMKG) Wilayah IV Makassar selaku pembimbing lapangan yang telah membimbing penulis dalam melakukan penelitian.
12. Adikku tercinta **Nina Hartina** dan **Nurazizah** yang menjadi penyemangat penulis.
13. Team TA *landslide* **Nur Janna, Reskiwijawa, Irma Suriani** yang saling berbagi pengetahuan mengenai tanah longsor.
14. Teman sekamar **Feby Eka Saputri** yang setia mendengar keluh kesah skripsi. **Tri suciningsari**, yang selalu menghibur saat mengerjakan skripsi di kosan.
15. Teman-teman yang mengambil TA Mikrotremor **Astri, Nisa, Rezky** yang saling berbagi ilmu tentang mikrotremor.
16. Teman-teman yang telah membantu proses penelitian **Uni, Arif, Safwan, Fadli, Ilyas, Amal, Udin** dan tim konsumsi **Ani, Eka** dan **Santi**.
17. Sahabat-sahabat tercinta **ASAS 13LACK** yang telah menjadi sahabat setia mendengar semua keluh kesah penulis selama menjadi mahasiswa, semoga persahabatan kita kekal dunia dan akhirat.
18. Kakak dan Adik-adik Jurusan Fisika Fakultas Sains dan Teknologi
19. Kepada para senior, rekan-rekan dan adik-adik diorganisasi **Himpunan Mahasiswa Jurusan (HMJ) Fisika, Lembaga Dakwah (LDF) Ulil Al-**

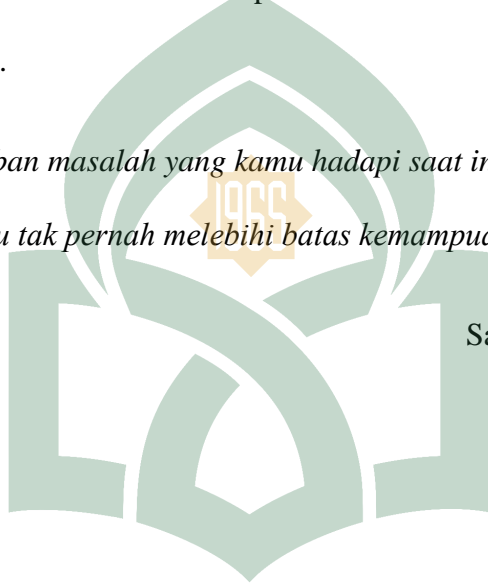
**Baab** Fakultas Sains dan Teknologi, **Senat Mahasiswa** Fakultas Sains dan Teknologi, dan **HMI** komisariat Saintek.

Semoga Allah SWT memberikan balasan yang berlipat ganda kepada semuanya. Demi perbaikan selanjutnya saran dan kritik yang membangun akan penulis terima dengan senang hati. Akhirnya, hanya kepada Allah SWT penulis serahkan segalanya, mudah-mudahan dapat bermanfaat khususnya bagi penulis umumnya bagi semua.

*“Seberat apapun beban masalah yang kamu hadapi saat ini, percayalah bahwa semua itu tak pernah melebihi batas kemampuan kamu”*

Samata, 5 Agustus 2017

Penulis



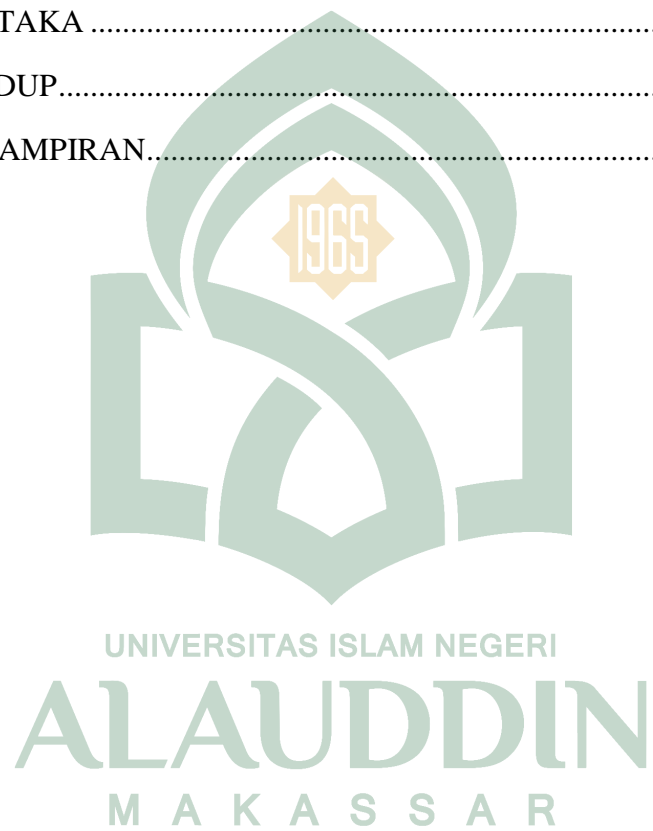
UNIVERSITAS ISLAM NEGERI  
**ALAUDDIN**  
M A K A S S A R

## DAFTAR ISI

HALAMAN SAMBUL .....	i
PERNYATAAN KEASLIAN SKRIPSI.....	ii
LEMBAR PENGESAHAN .....	iii
KATA PENGANTAR .....	iv
DAFTAR ISI.....	viii
DAFTAR TABEL.....	xi
DAFTAR GAMBAR .....	xii
DAFTAR SIMBOL.....	xiii
DAFTAR GRAFIK.....	xiv
DAFTAR LAMPIRAN.....	xv
ABSTRAK .....	xvi
ABSTRACT.....	xvii
BAB I PENDAHULUAN.....	1
1.1 Latar Belakang .....	1
1.2 Rumusan Masalah .....	4
1.3 Tujuan Penelitian.....	4
1.4 Ruang Lingkup Penelitian.....	5
1.5 Manfaat Penelitian.....	5
BAB II TINJAUAN TEORITIS .....	7

2.1 Tanah Longsor Dalam Perspektif Al-Qur'an .....	7
2.2 Percepatan Tanah .....	12
2.3 Penyebab Terjadinya Gerakan Tanah .....	13
2.4 Klasifikasi Gerakan Tanah .....	17
2.4.1 Jatuhan ( <i>falls</i> ) .....	19
2.4.2 Longsoran ( <i>slides</i> ) .....	19
2.4.3 Aliran ( <i>flows</i> ) .....	20
2.4.4 Rayapan ( <i>creep</i> ) dan <i>Solifluction</i> .....	21
2.5 Tanah Longsor .....	22
2.6 Topografi dan Kemiringan Tanah Kabupaten Maros Sulawesi Selatan .....	24
2.7 Kondisi Geologi dan Litologi Kecamatan Camba Kabupaten Maros .....	26
2.8 Mikrotremor .....	27
2.9 <i>Horizontal to Vertikal Spektrum Ratio</i> (HVSr) atau Metode Nakamura .....	31
2.9.1 Frekuensi Dominan Tanah ( $f_0$ ) .....	35
2.9.2 Faktor Amplifikasi ( $A_0$ ) .....	38
2.9.3 Periode Dominan ( $T$ ) .....	41
2.9.4 Kerentanan Seismik ( $K_g$ ) .....	43
<b>BAB III METODE PENELITIAN</b> .....	<b>45</b>
3.1 Waktu dan Penelitian .....	45
3.2 Alat dan Bahan .....	46
3.3 Prosedur Penelitian .....	46
3.4 Jadwal Kegiatan Penelitian .....	49
3.5 Diagram Alir Penelitian .....	50

BAB IV HASIL DAN PEMBAHASAN .....	51
4.1 Lokasi Titik Penelitian .....	51
4.2 Hasil Pengolahan Data .....	52
BAB V PENTUP .....	60
5.1 Kesimpulan.....	60
5.2 Saran.....	60
DAFTAR PUSTAKA .....	61
RIWAYAT HIDUP.....	xviii
LAMPIRAN-LAMPIRAN.....	L1



## DAFTAR TABEL

No.	Keterangan Tabel	Halaman
2.1	Kemiringan lahan kecamatan Camba kabupaten Maros .....	25
2.2	Klasifikasi tanah berdasarkan frekuensi dominan tanah mikroseismik oleh Kanai .....	36
2.3	Klasifikasi Tanah Kanai – Omote – Nakajima .....	42
4.1	Informasi detail mengenai titik koordinat (Latitude dan Longitude) akuisisi data mikrotremor .....	52
4.2	Hasil Data pengolahan amplifikasi, periode dominan, kerentanan seismik, kecepatan gelombang geser pada kedalaman 30 m dan ketebalan sedimen pada pengukuran analisis mikrotremor .....	54



## DAFTAR GAMBAR

No	Keterangan Gambar	Halaman
2.1	Peta Geologi kecamatan Camba kabupaten Maros.....	27
2.2	Hasil tampilan pengukuran di lapangan dengan 3 jenis gelombang (horizontal (utara - selatan), horizontal (barat - timur) dan seismik vertikal).....	31
3.1	Lokasi daerah penelitian .....	45
4.1	Peta lokasi titik penelitian.....	52



## DAFTAR SIMBOL

Simbol	Keterangan	Satuan
$V_s^{30}$	Ketebalan sedimen	m/s
$f_0$	Frekuensi dominan	Hz
H	Ketebalan sedimen	m
$A_0$	Amplifikasi	
$\rho_b$	Densitas batuan dasar	gr/ml
$v_b$	Kecepatan rambat gelombang di batuan dasar	m/s
$v_s$	Kecepatan rambat gelombang di batuan lunak	m/s
$\rho_s$	Rapat massa batuan lunak	gr/ml
$T_0$	Periode dominan	s
Kg	Indeks kerentanan seismik	

## DAFTAR GRAFIK

No	Keterangan Grafik	Halaman
2.1	Hasil pengolahan HVSR pada kurva HVSR.....	35
4.1	Salah satu contoh grafik hubungan antara frekuensi natural dengan nilai H/V (amplifikasi) pada setiap titik pengukuran.....	54



## DAFTAR LAMPIRAN

Lampiran	Keterangan	Perihal
1	Hasil pengolahan data	L1
2	Alat dan bahan	L19
3	Kegiatan Pengukuran	L22
4	Rancangan awal titik pengukuran	L26
5	Kondisi Lapangan (SESAME)	L28
6	Administrasi	L29



## ABSTRAK

**NAMA : Nirmayanti**

**NIM : 60400113049**

**Judul Skripsi : IDENTIFIKASI DAERAH RAWAN LONGSOR DI  
KECAMATAN CAMBA KABUPATEN MAROS  
MENGUNAKAN MIKROTREMOR**

---

Telah dilaksanakan penelitian yang berjudul Identifikasi Daerah Rawan Longsor di Kecamatan Camba Kabupaten Maros Menggunakan Mikrotremor. Mikrotremor merupakan getaran tanah selain gempa bumi, bisa berupa getaran akibat aktivitas manusia maupun aktivitas alam. Jadi mikrotremor bisa terjadi karena getaran akibat orang yang sedang berjalan, getaran mobil, getaran mesin-mesin pabrik, getaran angin, gelombang laut atau getaran alamiah dari tanah. Penelitian ini bertujuan untuk mengetahui berapa besar frekuensi dominan yang dihasilkan pada pengukuran mikrotremor pada daerah rawan longsor di kecamatan Camba kabupaten Maros. Pengambilan data dilakukan sebanyak 10 titik. Data yang diperoleh diolah menggunakan *software geopsy*. Berdasarkan penelitian yang telah dilaksanakan maka dapat disimpulkan bahwa titik pengukuran yang memiliki potensi longsor terbesar ialah pada titik pengukuran yang memiliki nilai frekuensi dominan terkecil dengan besar frekuensi dominan sebesar 0,73 Hz dan titik pengukuran yang memiliki potensi longsor terkecil ialah pada titik pengukuran yang memiliki nilai frekuensi dominan terbesar dengan besar frekuensi dominan sebesar 8,27 Hz. Nilai frekuensi dominan yang paling banyak muncul adalah 5 Hz.

**Kata kunci :** Tanah longsor, mikrotremor, frekuensi

UNIVERSITAS ISLAM NEGERI  
**ALAUDDIN**  
M A K A S S A R

## ABSTRACT

**NAMA : Nirmayanti**

**NIM : 60400113049**

**Judul Skripsi : IDENTIFICATION OF LANDSLIDE-PRONE AREAS IN DISTRICT CAMBA MAROS USING MICROTREMOR**

---

Has been carried out research entitled identification of Landslide-prone Areas in district Camba Maros Using Microtremor. Microtremor is a ground vibration in addition to earthquakes, vibration may be due to human activities or natural activity. So microtremor can happen due to vibration due to people running car, vibration, vibration machinery factory of wind, vibration, ocean waves or natural vibrations of the ground. This research aims to find out how large the resulting dominant frequency in the measurement of the microtremor landslide-prone area in district Camba Maros. Data retrieval is performed as many as 10 points. Data obtained using software geopsy. Based on the research that has been implemented then it can be inferred that the measurement point that has the potential of the largest landslide was on the point of measurement which has the smallest value of the dominant frequency of the dominant frequency of 0.73 Hz and measurement point that has the smallest potential landslide was on the point of measurement that have a value of dominant frequency of large dominant frequency with the largest of 8.27 Hz. Values the most dominant frequency is 5 Hz.

**Key words:** *landslide, microtremor, frequency*

UNIVERSITAS ISLAM NEGERI  
**ALAUDDIN**  
M A K A S S A R

# **BAB I**

## **PENDAHULUAN**

### **1.1 Latar Belakang**

Pada kawasan rawan bencana sering sekali menjadi masalah besar bagi masyarakat. Terlebih lagi bagi daerah yang ada di kawasan perbukitan, sangat rawan terjadi tanah longsor. Dalam memenuhi kebutuhan akan tempat tinggal dan jalan raya sebagai jalur transportasi mengakibatkan pembukaan lahan yang terus bertambah. Tanah longsor banyak menelan korban baik secara material maupun jiwa. Gerakan tanah merupakan salah satu faktor utama terjadinya tanah longsor. Beberapa faktor utama terjadinya gerakan tanah antara lain adalah kondisi alam dan aktivitas manusia. Faktor alam yang menjadi penyebab terjadinya gerakan tanah antara lain tingginya curah hujan, kondisi tanah, batuan, vegetasi dan faktor kegempaan sebagai pemicunya. Aktivitas manusia juga dapat menjadi penyebab terjadinya gerakan tanah, sehingga terjadi tanah longsor.

Fenomena tanah longsor merupakan hal biasa ketika terjadi peralihan dari musim kemarau ke musim hujan. Penyebab terjadinya tanah longsor yang berkaitan dengan hujan yaitu hujan berintensitas tinggi dalam waktu yang berkaitan singkat dan menerpa daerah yang kondisi tanahnya labil. Tanah kering ini menjadi labil dan mudah longsor saat terjadi hujan. Kondisi lain adalah akumulasi curah hujan dimusim hujan pada tebing terjal yang menyebabkan runtuhannya. Tanah longsor ini cukup berbahaya dan dapat mengakibatkan adanya korban jiwa yang tidak sedikit. Terlebih lagi pada kawasan yang merupakan tempat aktivitas manusia, seperti misalnya jalan raya.

Selain itu, tanah longsor biasanya disebabkan karena terjadinya getaran. Getaran yang terjadi biasanya diakibatkan oleh gempa bumi, ledakan, getaran mesin dan getaran lalu lintas kendaraan. Akibat yang ditimbulkan adalah tanah, badan jalan, lantai dan dinding rumah menjadi retak.

Luas wilayah kabupaten Maros kurang lebih 1.619,12 Km<sup>2</sup> dan secara administrasi pemerintahan terdiri atas 14 wilayah kecamatan dan 103 desa/kelurahan. Berdasarkan posisi dan letak geografis wilayah, kabupaten Maros berada pada koordinat 40°45'– 50°07' lintang selatan dan 109°205' – 129°12' Bujur Timur. Lokasi penelitian secara administrasi terletak di desa Sawaru kecamatan Camba kabupaten Maros. Kecamatan Camba merupakan daerah lembah yang terdiri atas bukit dan gunung yang hijau dan rindang. Camba terbagi atas delapan daerah wilayah administratif yang semuanya mempunyai topografi lembah dan berbukit dengan ketinggian terendah tiga ratus sepuluh sampai tujuh ratus lima puluh meter di atas permukaan laut. Kondisi geologi pada daerah Camba sangat rawan akan terjadinya tanah longsor disebabkan karena kondisi geologi yang dimiliki oleh daerah tersebut (Kajian lingkungan hidup strategis (KLHS) untuk RTRW kabupaten Maros, 2010).

Menurut Badan Penanggulangan Bencana Daerah (BPBD) kabupaten Maros terdapat beberapa desa di kecamatan Camba yang rawan bencana longsor yaitu salah satunya desa Sawaru kecamatan Camba kabupaten Maros yang dipicu oleh hujan deras, kondisi geologi yang meliputi morfologi daerah tersebut seperti perbukitan, serta kondisi litologi atau batuan yang menyusun daerah tersebut. Berdasarkan catatan BPBD kabupaten Maros korban bencana alam di kabupaten

Maros untuk tahun 2013 mencapai 15 KK korban bencana longsor, korban angin puting beliung mencapai 821 KK, korban kebakaran mencapai 15 KK. Data terakhir yang diperoleh dari hasil wawancara dengan masyarakat sekitar bahwa pada saat ini telah terjadi tanah longsor di daerah penelitian pada tanggal 8 Februari 2017.

Salah satu metode yang dapat digunakan untuk mengetahui potensi longsor yaitu dengan pengukuran mikrotremor. Analisis mikrotremor ini merupakan salah satu metode yang sangat potensi untuk digunakan dalam rangka mitigasi, baik bencana gempa bumi maupun tanah longsor. Mikrotremor dapat digunakan untuk mengetahui kekuatan tanah berdasarkan frekuensi natural dari tanah tersebut untuk mengetahui potensi longsor. Mikrotremor merupakan getaran selain gempa bumi, bisa berupa getaran akibat aktivitas manusia maupun aktivitas alam, dimana mikrotremor bisa terjadi karena getaran akibat orang yang sedang berjalan, getaran mobil, getaran mesin-mesin pabrik, getaran angin, gelombang air laut atau getaran alamiah dari tanah. Kondisi geologi pada jalan utama daerah Camba yang merupakan jalan poros Maros – Bone, sangat rawan akan terjadinya tanah longsor.

Berdasarkan penelitian sebelumnya yang dilakukan oleh Utari (2016) yang berjudul *Analisis Data Mikrotremor Untuk Identifikasi Daerah Rawan Longsor Di Kecamatan Gumelar, Kabupaten Banyumas, Jawa Tengah*. Data yang diperoleh ialah nilai frekuensi tinggi tersebar pada bagian pinggir barat laut dan tenggara area penelitian dengan interval frekuensi sebesar 13 hingga 33,4 Hertz. Nilai frekuensi rendah tersebar dari barat daya, tengah hingga timur laut daerah

penelitian dengan interval nilai frekuensi sebesar 1,5 Hertz hingga 12 Hertz. Sedangkan Amplifikasi tinggi yang bernilai 6 – 10,5 berada di bagian timur daerah penelitian merepresentasikan tingginya penguatan getaran di area yang mengalami pelapukan maupun sesar geser regional. Amplifikasi yang rendah berada di timur dengan nilai 1,5 – 5 mempresentasikan kontras impedansi yang kecil.

Dengan menggunakan mikrotremor kita dapat mengetahui potensi pergerakan tanah, dimana semakin kecil periode dominan tanah maka tingkat kekerasannya semakin besar atau sebaliknya tanah yang mempunyai periode dominan semakin besar maka tingkat kekerasan tanah semakin kecil atau lunak yang sifatnya untuk mengetahui fenomena atau bahaya pergerakan tanah yang mengakibatkan tanah longsor.

Berdasarkan uraian diatas maka dilakukan penelitian dengan judul **“Identifikasi Daerah Rawan Longsor di Kecamatan Camba Kabupaten Maros Menggunakan Mikrotremor”**.

### **1.2 Rumusan Masalah**

Berdasarkan latar belakang di atas, maka rumusan masalah pada penelitian ini ialah berapa besar frekuensi dominan yang dihasilkan pada pengukuran mikrotremor pada daerah rawan longsor di kecamatan Camba kabupaten Maros?

### **1.3 Tujuan Penelitian**

Tujuan penelitian ini ialah mengetahui berapa besar frekuensi dominan yang dihasilkan pada pengukuran mikrotremor pada daerah rawan longsor di kecamatan Camba kabupaten Maros.

#### 1.4 Ruang Lingkup

Batasan masalah pada penelitian ini adalah sebagai berikut:

- a. Penelitian ini menggunakan pengukuran mikrotremor dan lokasi pengukuran dilakukan di desa Sawaru kecamatan Camba kabupaten Maros provinsi Sulawesi Selatan dengan titik koordinat  $04^{\circ}54'37,7''$  LS -  $04^{\circ}54'41,9''$  LS dan  $119^{\circ}51'16,7''$  BT -  $119^{\circ}51'22,8''$  BT.
- b. Pengolahan data mikrotremor menggunakan *software geopsy* melalui metode HVSR (*Horizontal Vertical Spectral Ratio*).
- c. Variabel yang terukur ialah waktu dan kecepatan.
- d. Variabel yang dihitung ialah frekuensi, faktor amplifikasi, periode dominan, kerentanan seismik dan ketebalan sedimen.

#### 1.5 Manfaat Penelitian

Manfaat yang ingin dicapai dari penelitian ini adalah sebagai berikut :

##### 1.5.1 Manfaat Bagi Keilmuan

Manfaat bagi keilmuan adalah sebagai berikut:

- a. Dapat dijadikan sebagai dasar penelitian selanjutnya.
- b. Dapat memberikan sumbangan perkembangan ilmu pengetahuan khususnya dalam bidang geomorfologi dan kebencanaan.
- c. Memberikan informasi mengenai besar frekuensi getaran yang dapat menyebabkan terjadinya longsor.

### 1.5.2 Manfaat Bagi Masyarakat dan Pemerintah

Manfaat bagi masyarakat dan pemerintah adalah sebagai berikut:

- a. Memberikan peringatan dini terhadap kemungkinan terjadinya tanah longsor sehingga dapat mengurangi jumlah korban jiwa dan kerugian materi yang ditimbulkan.
- b. Memberikan pengetahuan mengenai kondisi daerah penelitian
- c. Pengetahuan bagi pemerintah dan masyarakat kecamatan Camba kabupaten Maros provinsi Sulawesi Selatan tentang bagaimana pentingnya pencegahan, daripada pemulihan.
- d. Memberi bahan masukan bagi pemerintah kecamatan Camba kabupaten Maros provinsi Sulawesi Selatan, bahwa mengelola sumber daya alam hendaknya memperhatikan batas kemampuan alam.

## BAB II

### TINJAUAN TEORITIS

#### 2.1 Tanah Longsor Dalam Perspektif Al-Qur'an

Tanah adalah akumulasi tubuh alam bebas yang menempati sebagian besar permukaan planet bumi, yang mampu menumbuhkan tanaman dan memiliki sifat sebagai akibat pengaruh iklim dan jasad hidup yang bertindak terhadap bahan induk dalam keadaan relief tertentu selama jangka waktu tertentu pula (Sugiharyanto dkk, 2009).

Dalam Firman Allah SWT QS. An-Naziat ayat 30-33

وَالْأَرْضَ بَعْدَ ذَلِكَ دَحَاهَا ﴿٣٠﴾ أَخْرَجَ مِنْهَا مَاءَهَا وَمَرْعَاهَا ﴿٣١﴾ وَالْجِبَالَ أَرْسَاهَا ﴿٣٢﴾ مَتَاعًا ﴿٣٣﴾ لَكُمْ وَلِأَنْعَمِ عَلَيْكُمْ ﴿٣٤﴾

Terjemahan:

Dan bumi sesudah itu dihamparkan-Nya. Ia memancarkan daripadanya mata airnya dan menumbuhkan tumbuh-tumbuhannya. Dan gunung-gunung dipancarkannya dengan teguh, semua itu untuk kesenangan dan untuk binatang-binatang ternakmu.

Menurut Quraish Shihab dalam Tafsir Al-Misbah (2002) بَعْدَ ذَلِكَ دَحَاهَا Dan bumi dihamparkan Nya setelah itu. Yakni, setelah pengaturan langit dan penampakan sinar-sinar, sebagaimana disebutkan sebelum ini, maka bumi mendapat giliran dipersiapkan untuk dijadikan tempat hunian. Yaitu dengan مَاءَهَا Dikeluarkan-Nya airnya. Dengan memancarkan mata air-mata air dan sungai-sungainya. Kata وَمَرْعَاهَا dan tanam-tanamannya. Untuk makanan manusia maupun hewan.

Ayat وَالْجِبَالِ أَرْسَاهَا Dan gunung-gunung pun dipancarkan-Nya. Yaitu untuk mencegah bumi bergoyang-goyang, sebagai kelanjutan dari upaya menyiapkan bumi untuk dapat dihuni oleh makhluk hidup. Hal itu terlaksana kemudian, setelah persiapan pertama untuk mendapatkan tanaman-tanaman, meskipun munculnya gunung-gunung itu sendiri telah berlangsung sebelum itu (yakni sebelum itu dijadikan pasak-pasak yang mencegah bumi bergoyang).

Ayat مَنَاعاً لِّكُمْ وَلِأَنْعَامِكُمْ (Semua itu) demi kenikmatan kamu serta hewan ternakmu. Tidakkah Sang Pencipta yang menjadikan itu semua adalah Pencipta kalian juga?! Karenanya, tidakkah pencipta serta pemberi kalian apa saja yang menjadi sumber kehidupan kalian dan yang meninggikan langit diatas kalian, lalu meretakkan bumi di bawah kaki kalian; tidakkah Ia kuasa pula untuk menghidupkan kembali (setelah kematian kalian di alam dunia)?! Dan apakah layak bagi-Nya untuk membiarkan kalian tersia-sia, setelah semua pentakdiran dan pengaturan ini, serta pelimpahan pelimpahan kebaikan yang amat banyak ini?!

Dari tafsir diatas sebagaimana dijelaskan bahwa bumi ini diciptakan untuk dipersiapkan sebagai tempat tinggal penghuninya sebagaimana yang dimaksud manusia dan binatang ternak, sebagai suatu bentuk kenikmatan. Dengan dikeluarkannya air dari perut bumi, dialirkannya melalui sungai-sungai, digunakan untuk menyirami tumbuhan agar dapat dibudidayakan. Semua itu dapat diperoleh apabila manusia melaksanakan tugasnya sebagaimana mestinya. Gunung-gunung dipancarkan dengan teguh, dimana bumi diciptakan sekuat

mungkin sebagai tempat tinggal makhluk hidup. Namun dijelaskan pula bagaimana kelakuan manusia di muka bumi ini dalam Firman Allah QS. Ar-Rum ayat 41

ظَهَرَ الْفَسَادُ فِي الْبَرِّ وَالْبَحْرِ بِمَا كَسَبَتْ أَيْدِي النَّاسِ لِيُذِيقَهُمْ بَعْضَ الَّذِي عَمِلُوا لَعَلَّهُمْ

يَرْجِعُونَ ﴿٤١﴾

Terjemahan:

Telah nampak kerusakan di darat dan di laut disebabkan karena perbuatan tangan manusia, supaya Allah merasakan kepada mereka sebahagian dari (akibat) perbuatan mereka, agar mereka kembali (ke jalan yang benar).

Menurut Quraish Shihab dalam tafsir al-Misbah (2002) adalah telah nampak kerusakan di darat seperti kekeringan, paceklik, hilangnya rasa aman dan di laut seperti ketertenggelaman, kekurangan hasil laut dan sungai, disebabkan karena perbuatan tangan manusia yang durhaka, sehingga akibatnya Allah mencicipkan yakni merasakan sedikit kepada mereka sebagian dari akibat perbuatan dosa dan pelanggaran mereka, agar mereka kembali ke jalan yang benar.

Kata *ظَهَرَ* *zhahara* pada mulanya berarti terjadi sesuatu di permukaan bumi. Sehingga, karena dia di permukaan, maka menjadi nampak dan terang serta diketahui dengan jelas. Lawannya adalah *bathana* yang berarti terjadinya sesuatu di perut bumi, sehingga tidak nampak. Demikian al-Ashfahani dalam *Maqayis*-nya. Kata *zhahara* pada ayat diatas dalam arti banyak dan tersebar.

Kata **الْفَسَادُ** *al-fasad* menurut al-Ashafahani adalah keluarnya sesuatu dari kesetimbangan, baik sedikit maupun banyak. Kata ini digunakan menunjuk apa saja, baik jasmani, jiwa, maupun hal-hal lain. Ia juga diartikan sebagai antonim dari *ash-shalah* yang berarti manfaat atau berguna.

Pada Surah Ar-Rum ayat 41 diatas menjelaskan bagaimana kejadian tanah longsor sudah dijelaskan dalam Al-Qur'an bahwa telah nampak kerusakan di darat dan di laut karena perbuatan manusia dimana penyebab terjadinya tanah longsor karena faktor manusia. Tugas manusia itu sendiri selain beribadah kepada Allah, manusia juga diciptakan sebagai khalifah di muka bumi. Sebagai khalifah, manusia memiliki tugas untuk memanfaatkan, mengelola dan memelihara alam semesta. Allah telah menciptakan alam semesta untuk kepentingan dan kesejahteraan semua makhluk-Nya, khususnya manusia. Keserakahan dan perlakuan buruk sebagian manusia terhadap alam dapat menyengsarakan manusia itu sendiri. Tanah longsor adalah buah kelakuan manusia yang justru merugikan manusia dan makhluk hidup lainnya.

Tanah longsor adalah perpindahan material pembentuk lereng berupa batuan, bahan rombakan, tanah atau material laporan bergerak ke bawah atau keluar lereng. Secara geologis tanah longsor adalah suatu peristiwa geologi dimana terjadi pergerakan tanah seperti jatuhnya bebatuan atau gumpalan besar tanah (Nandi, 2007).

Islam mengajarkan agar umat manusia senantiasa menjaga lingkungan. Allah SWT melarang manusia berbuat kerusakan di muka bumi, agar memelihara

dan melestarikan lingkungan hidup, banyak upaya yang bisa dilakukan, misalnya rehabilitas SDA berupa hutan, tanah dan air yang rusak perlu ditingkatkan lagi.

Karena perbuatan yang dilakukan manusia sehingga timbullah musibah yang diperoleh oleh manusia sebagaimana dijelaskan pada Surah Al Hijr ayat 74

فَجَعَلْنَا عَلَيْهِمْ سَافِلَهَا وَأَمْطَرْنَا عَلَيْهِمْ حِجَارَةً مِّن سَجِيلٍ ﴿٧٤﴾

Terjemahan:

Maka kami jadikan bagian atas kota itu terbalik ke bawah dan kami hujani mereka dengan batu dari tanah yang keras.

Menurut tafsir Jalalain (2009) ayat diatas menjelaskan bahwa فَجَعَلْنَا عَلَيْهِمْ (maka kami jadikan bagian atasnya) yakni bagian atas kota mereka سَافِلَهَا (terbalik ke bawah) malaikat jibril mengangkatnya ke langit kemudian menjatuhkannya dalam keadaan terbalik ke tanah وَأَمْطَرْنَا عَلَيْهِمْ حِجَارَةً مِّن سَجِيلٍ (dan kami hujani mereka dengan batu dari tanah yang keras) yaitu tanah liat yang dibakar dengan api.

Dari tafsir di atas dapat disimpulkan bahwa dalam Ayat mengatakan “dan kami hujani mereka dengan batu dari tanah yang keras” menjelaskan bagaimana kejadian tanah longsor itu merupakan pergerakan tanah yang bergerak ke bawah atau keluar lereng seperti jatuhnya bebatuan atau gumpalan besar tanah. Dimana apapun yang terjadi di muka bumi ini segala sesuatunya atas kehendak Allah SWT. Meskipun dalam Al-Qur’an telah menjelaskan mengenai fenomena tersebut, namun perlu diadakan penelitian untuk mendeteksi daerah rawan longsor di kecamatan Camba kabupaten Maros menggunakan mikrotremor untuk

memperoleh informasi mengenai fenomena daerah rawan longsor sehingga dapat diketahui bagaimana pengaruh frekuensi terhadap tanah longsor.

## 2.2 Percepatan Tanah

Pada bangunan yang berdiri di atas tanah memerlukan kestabilan tanah tersebut agar bangunan tetap stabil. Percepatan gelombang gempa yang sampai di permukaan bumi disebut juga percepatan tanah, merupakan gangguan yang perlu dikaji untuk setiap gempa bumi, kemudian dipilih percepatan tanah maksimum atau *Peak Ground Acceleration* (PGA) untuk dipetakan agar bisa memberikan pengertian tentang efek paling parah yang pernah dialami suatu lokasi.

Pergerakan massa tanah merupakan salah satu peristiwa geologi dimana volume tanah atau batuan dalam satu area tertentu mengalami perubahan posisi dari keadaan awalnya. Pergerakan tersebut dapat diakibatkan oleh adanya faktor pemuain massa tanah akibat kadar air yang berlebih, ataupun akibat dari perbedaan jenis dan struktur batuan penyusun tanah sehingga dengan kondisi lereng yang curam dapat memicu terjadinya pergerakan tanah yang cenderung mengarah ke bagian bawah akibat pengaruh gravitasi. Dari beberapa pengamatan yang dilakukan terhadap peristiwa longsor yang terjadi, diperoleh kesimpulan bahwa untuk suatu daerah dengan kondisi kemiringan lereng  $>45^\circ$ , apabila dalam area dengan kondisi yang labil telah terjadi pergeseran tanah sebesar  $\pm 5$  cm, maka dapat dikatakan bahwa area atau wilayah tersebut berpotensi mengalami longsor (Priyanto dkk, 2015).

Gerakan tanah adalah suatu produk dari proses gangguan kesetimbangan lereng yang menyebabkan Bergeraknya massa tanah dan batuan ketempat atau daerah yang lebih rendah. Gerakan massa ini dapat terjadi pada lereng-lereng yang hambatan geser tanah/batuan lebih kecil dari berat massa tanah/batuan lebih kecil dari berat massa tanah batuan itu sendiri, gerakannya lambat, pada umumnya berbentuk napal kuda dengan gerakan memutar. Gerakan yang lambat ini sering disebut rayapan tanah (Suhendra, 2005).

Pada kawasan lereng atau tebing curam dengan tingkat curah hujan tinggi akan sangat berpotensi terjadi peristiwa longsor. Dalam pengukuhan jabatan guru besar pada Fakultas Teknik Universitas Gadjah Mada, Prof. Dr. Ir. Kabul Basah Suryoyelono, Dip. H.E., D.E.A., memaparkan fenomena tanah longsor dari sudut pandang geo-teknik yang menyatakan bahwa peristiwa tanah longsor atau dikenal sebagai gerakan massa tanah, batuan atau kombinasinya, sering terjadi pada lereng-lereng alam atau batuan dan sebenarnya merupakan fenomena alam, yaitu alam mencari keseimbangan baru akibat adanya gangguan atau faktor yang mempengaruhinya dan menyebabkan terjadinya pengurangan kuat geser serta peningkatan tegangan geser tanah (Suraya dan Navianta, 2016).

### **2.3 Penyebab Terjadinya Gerakan Tanah**

Meskipun penyebab utama kejadian gerakan tanah ini adalah gravitasi (gaya tarik bumi) yang mempengaruhi suatu lereng yang curam, namun ada pula faktor-faktor lainnya yang turut berpengaruh, yakni: erosi, lemahnya batuan dan tanah, gempa bumi dan gunung api, getaran dan beban tambahan, tata guna lahan,

penggundulan hutan, bekas longsor lama dan daerah pembuangan sampah (Syamsuddin, 2009).

Menurut Nandi (2007), gejala umum tanah longsor ditandai dengan munculnya retakan-retakan di lereng yang sejajar dengan arah tebing, biasanya terjadi setelah hujan, munculnya mata air baru secara tiba-tiba dan tebing rapuh serta kerikil mulai berjatuhan. Faktor lainnya adalah sebagai berikut:

a. Hujan

Musim kering yang panjang akan menyebabkan terjadinya penguapan air di permukaan tanah dalam jumlah besar. Hal ini mengakibatkan munculnya pori-pori tanah hingga terjadi retakan dan merekahnya tanah ke permukaan. Ketika hujan, air akan menyusup ke bagian yang retak sehingga tanah dengan cepat mengembang kembali.

Pada awal musim hujan, intensitas hujan yang tinggi biasanya sering terjadi, sehingga kandungan air pada tanah menjadi jenuh dalam waktu yang singkat. Hujan lebat pada awal musim dapat menimbulkan longsor karena melalui tanah yang merekah air akan masuk dan terakumulasi di bagian dasar lereng, sehingga menimbulkan gerakan lateral.

b. Lereng Terjal

Lereng atau tebing yang terjal akan memperbesar gaya pendorong. Lereng yang terjal terbentuk karena pengikisan air sungai, mata air, air laut dan angin. Kebanyakan sudut lereng yang menyebabkan longsor adalah  $180^\circ$  apabila ujung lerengnya terjal dan bidang longornya datar.

c. Tanah yang Kurang Padat dan Tebal

Jenis tanah yang kurang padat adalah tanah lempung atau tanah liat dengan ketebalan lebih dari 2,5 m dari sudut lereng lebih dari 220 m. Tanah jenis ini memiliki potensi untuk terjadinya tanah longsor terutama bila terjadi hujan. Selain itu tanah ini sangat rentan terhadap pergerakan tanah karena menjadi lembek terkena air dan pecah ketika hawa terlalu panas.

d. Batuan yang kurang kuat

Batuan endapan gunung api dan sedimen berukuran pasir dan campuran antara kerikil, pasir dan lempung umumnya kurang kuat. Batuan tersebut akan mudah menjadi tanah apabila mengalami proses pelapukan dan umumnya rentan terhadap tanah longsor bila terdapat pada lereng yang terjal.

e. Jenis Tata Lahan

Tanah longsor banyak terjadi di daerah lahan persawahan, perladangan dan adanya genangan air di lereng yang terjal. Pada lahan persawahan akarnya kurang kuat untuk mengikat butir tanah yang membuat tanah menjadi lembek dan jenuh dengan air sehingga mudah longsor. Sedangkan untuk daerah perladangan penyebabnya adalah karena akar pohonnya tidak dapat menembus bidang longsor yang dalam dan umumnya terjadi di daerah longsor lama.

f. Getaran

Getaran yang terjadi biasanya diakibatkan oleh gempa bumi, ledakan, getaran mesin dan getaran lalu lintas kendaraan. Akibat yang ditimbulkan adalah tanah, badan jalan, lantai dan dinding rumah menjadi retak.

Menurut Yusuf (2008) secara garis besar 2 (dua) penyebab terjadinya gerakan lereng yaitu faktor alami dan faktor manusia. Faktor alami yang menjadi penyebab utama terjadinya longsor antara lain:

- a. Kondisi geologi: batuan lapuk, kemiringan lapisan, sisipan lapisan batu lempung, struktur sesar dan kekar, gempa bumi, stratigrafi dan gunung api.
- b. Iklim: curah hujan yang tinggi.
- c. Keadaan topografi: lereng yang curam.
- d. Keadaan tata air: kondisi drainase yang tersumbat, akumulasi massa air, erosi dalam, pelarutan dan tekanan hidrostatik.
- e. Tutupan lahan yang mengurangi tahanan geser.

Sedangkan faktor manusia yang menjadi penyebab terjadinya longsor adalah sebagai berikut:

- a. Pemotongan tebing pada penambangan batu di lereng yang terjal.
- b. Penimbunan tanah urugan di daerah lereng.
- c. Kegagalan struktur dinding penahan tanah.
- d. Penggundulan hutan.
- e. Budidaya kolam ikan hias di atas lereng.
- f. Sistem pertanian yang tidak memperhatikan irigasi yang aman
- g. Pengembangan wilayah yang tidak diimbangi dengan kesadaran masyarakat, sehingga Rencana Umum Tata Ruang (RUTR) tidak ditaati yang akhirnya merugikan sendiri.
- h. Sistem drainase daerah lereng yang tidak baik.

Penyebab terjadinya tanah longsor dapat bersifat statis dan dinamis. Statis merupakan kondisi alam seperti sifat batuan (geologi) dan lereng dengan kemiringan sedang hingga terjal, sedangkan dinamis adalah ulah manusia. Ulah manusia banyak sekali jenisnya dari perubahan tata guna lahan hingga pembentukan gawir yang terjal tanpa memperhatikan stabilitas lereng (Surono, 2003). Sedangkan faktor-faktor yang mempengaruhi terjadinya gerakan tanah antara lain: tingkat kelerengan, karakteristik tanah, keadaan geologi, keadaan vegetasi, curah hujan/hidrologi dan aktivitas manusia (Sutikno, 1997).

#### **2.4 Klasifikasi Gerakan Tanah**

Gerakan massa (*mass movement*) tanah atau sering disebut tanah longsor (*landslide*) merupakan salah satu bencana alam yang sering melanda daerah perbukitan di daerah tropis basah. Kerusakan yang ditimbulkan oleh gerakan massa tersebut tidak hanya kerusakan secara langsung seperti rusaknya fasilitas umum, lahan pertanian, ataupun adanya korban manusia dan juga kerusakan secara tidak langsung yang melumpuhkan kegiatan pembangunan dan aktivitas ekonomi di daerah bencana dan sekitarnya. Bencana alam gerakan masa tersebut cenderung semakin meningkat seiring dengan meningkatnya aktivitas manusia (Hardiyatmo, 2006).

Gerakan massa, umumnya disebabkan oleh gaya gravitasi dan kadang-kadang getaran atau gempa juga menyokong kejadian tersebut. Gerakan massa yang berupa tanah longsor terjadi akibat adanya keruntuhan geser di sepanjang bidang longsor yang merupakan batas Bergeraknya massa tanah atau batuan.

Keruntuhan, umumnya dianggap terjadi saat tegangan geser rata-rata di sepanjang bidang longsor sama dengan kuat geser tanah atau batuan yang dapat ditentukan dari uji laboratorium atau uji lapangan. Akan tetapi, saat terjadi keruntuhan bertahap, longsor tanah terjadi pada tegangan geser yang kurang dari kuat geser puncaknya (biasanya diperoleh dari uji triaksial atau geser langsung), keruntuhan bertahap umumnya diikuti dengan distribusi tegangan tidak seragam di sepanjang bidang longsor, pada tanah atau batuan berlapis ketika bidang longsornya memotong material yang berbeda sifat tegangan regangannya (Hardiyatmo, 2006).

Keruntuhan lokal dapat juga terjadi, jika tegangan geser maksimum pada suatu titik dalam tanah atau batuan melampaui kuat geser puncaknya. Hasil analisis menunjukkan bahwa pada awalnya tegangan geser maksimum terjadi di dekat kaki lereng dan pada titik dimana kuat geser tanah terlampaui. Setelah itu, keruntuhan lokal dapat juga terjadi, jika tegangan geser maksimum pada suatu titik di dalam tanah atau batuan melampaui kuat geser puncaknya. Hasil analisis menunjukkan bahwa pada awalnya tegangan geser maksimum terjadi di dekat kaki lereng dan pada titik di mana kuat geser tanah terlampaui. Setelah itu, keruntuhan menyebar ke atas lereng. Dalam kenyataannya, bertambahnya regangan (yang menuju ke kuat geser puncaknya) bertambah dengan bertambahnya tegangan normal, yang menyokong berkembangnya longsor secara bertahap (Hardiyatmo, 2006).

Menurut Syamsuddin (2009) klasifikasi gerakan tanah terbagi atas beberapa macam yaitu sebagai berikut:

#### 2.4.1 Jatuhan (*falls*)

Jatuhan umumnya merupakan gerakan pecahan batuan besar atau kecil yang terlepas dari massa batuan dasar dan jatuh bebas. Gerakan tanah ini biasanya terjadi pada tebing-tebing yang terjal dimana material lepas tidak dapat tetap di tempatnya, dapat langsung jatuh atau membentur-bentur dinding tebing sebelum sampai di bagian bawah tebing. Contoh kejadian paling umum adalah pada tebing di pinggir jalan atau sungai yang baru dikupas/digundul dengan batuan yang agak lapuk dan banyak rekahan.

Penyebab terjadinya jatuhan (*fall*) adalah:

- a. Lereng terjal dengan kemiringan  $>30^\circ$
- b. Terdapatnya batuan yang terpecah atau tidak kompak dengan ukuran besar.
- c. Lapisan batu tersebut miring searah lereng.
- d. Banyaknya retakan atau kekar pada batuan

Ciri-ciri yang tampak pada tipe jatuhan adalah batuan yang berukuran besar meluncur kebawah lereng, bagian bawah batu yang meluncur merupakan material yang kurang kompak atau mudah lapuk.

#### 2.4.2 Longsoran (*slides*)

Longsoran adalah material yang bergerak masih agak koheren dan bergerak di atas suatu permukaan bidang gelincir. Bidang gelincirnya dapat

berupa bidang rekahan, kekar atau bidang perlapisan yang sejajar dengan lereng.

*Slide* dibedakan menjadi dua, yaitu:

- a. Longsoran translasional atau gerakan blok batuan adalah gerakan massa batuan dengan bentuk bidang gelincir planar atau gelinciran translasional.
- b. Longsoran rotasional merupakan gerakan massa tanah dengan permukaan bidang gelincir yang melengkung atau sirkular. Jenis ini disebut juga sebagai nendatan atau gelinciran rotasional.

Penyebab terjadinya longsoran (*slide*) adalah:

- a. Lereng terjal dengan kemiringan  $>30^\circ$
- b. Lapisan lapuk di bagian atas tipis, sedangkan dibagian bawah bukit tebal dengan ketebalan  $>2\text{m}$
- c. Terdapat saluran drainase alami akibat erosi pada parit dari bagian atas sampai bagian bawahnya.
- d. Terdapat lapisan kedap air pada bagian bawah lapisan lapuk.

#### 2.4.3 Aliran (*flows*)

Aliran adalah gerakan material menuruni lereng sebagai halnya cairan kental dengan cepat dan umumnya dijumpai berupa campuran sedimen (hasil lapukan batuan dan tererosi atau terkikis) air dan udara yang dianggap mengalir. Aliran yang biasa terjadi adalah aliran lumpur (*mud flow*) atau aliran material rombakan massa tanah (*debris flow*) dengan kandungan air yang banyak. Jenis gerakan tanah ini umumnya terjadi di daerah yang curah hujannya tinggi. Kecepatan alirannya tergantung pada kecuraman lereng dan kandungannya.

a. Aliran lumpur (*mud flow*)

*Mud flow* adalah gerakan massa lumpur atau material berukuran lempung pada bidang dasar licin yang rata atau bergelombang landai. Jenis ini biasa disebut juga sebagai salah satu jenis gerakan tanah yang memiliki pergerakan translasional.

b. Aliran material (*debris flow*)

*Debris flow* adalah gerakan material tanah dan batu-batuan akibat rombakan yang bergerak karena dorongan air yang sangat kuat. Kecepatan aliran tergantung pada kemiringan lereng, volume dan tekanan air serta jenis materialnya. Gerakannya terjadi di sepanjang lembah dan mampu mencapai ratusan meter jauhnya, bahkan di beberapa tempat bisa sampai ribuan meter, seperti di daerah aliran sungai dan sekitar gunung api.

#### 2.4.4 Rayapan (*creep*) dan *Solifluction*

a. Rayapan (*Creep*)

Rayapan merupakan jenis gerakan material dimana gerakannya sangat lambat sehingga gerakannya seringkali tidak bisa dilihat dengan mata. Namun, akibatnya dari jenis gerakan tanah ini bisa diamati, seperti dinding rumah retak-retak akibat pondasinya bergeser perlahan-lahan dan tiang-tiang serta pepohonan tumbuhnya melengkung. Rayapan dapat terjadi juga karena tanah jenuh air, daya kohesinya berkurang dan tanah mudah bergerak ke bagian bawah lereng.

b. Gerakan menurun (*solifuction*)

Gerak tanah tipe ini termasuk lambat dan hanya terjadi pada elevasi tinggi, dimana suhu dingin. Pada musim semi dan panas, hanya bagian atas es atau salju mencair sedangkan tanah di bawahnya masih beku. Air dari pencairan es ini tidak mengalir, membuat tanah menjadi jenuh. Kejenuhan tanah akan air membuatnya mudah bergerak, seperti halnya pada rayapan.

## 2.5 Tanah Longsor

Tanah longsor merupakan bentuk erosi dimana pengangkutan atau gerakan massa tanah terjadi pada suatu saat dalam volume yang relatif besar. Peristiwa tanah longsor dikenal sebagai gerakan massa tanah, batuan atau kombinasinya, sering terjadi pada lereng-lereng alam atau buatan dan sebenarnya merupakan fenomena alam yaitu alam mencari keseimbangan baru akibat adanya gangguan atau faktor yang mempengaruhinya dan menyebabkan terjadinya kuat geser serta peningkatan tegangan geser tanah (Suripin, 2002).

Gerakan tanah (*mass wasting*) atau dikenal dengan tanah longsor didefinisikan sebagai hasil proses gangguan keseimbangan lereng yang menyebabkan perpindahan material pembentuk lereng yang berupa batuan, bahan rombakan, tanah atau campuran material tersebut bergerak ke daerah yang lebih rendah atau keluar lereng oleh gaya gravitasi. Gerakan tanah dapat terjadi pada lereng-lereng yang hambatan geser tanah/batuannya lebih kecil daripada berat massa tanah atau batuan itu sendiri. Misalnya pada daerah tebing, sungai, danau, reservoir dan dasar laut yang berbentuk lereng pegunungan (Syamsuddin, 2009).

Tanah longsor merupakan perpindahan material pembentuk suatu lereng. Material pembentuk lereng terdiri dari komposisi batuan yang beraneka ragam. Pergerakan material batuan dapat terjadi secara spontan ataupun perlahan. Faktor yang mempengaruhi terjadinya tanah longsor antara lain kemiringan lereng, struktur batuan, adanya bidang geser atau bidang gelincir, curah hujan dan vegetasi di daerah tersebut (Diandong dan Dickindson, 2011). Secara umum apabila material batuan pembentuk lereng berada di atas suatu batuan yang kedap air, maka material di atasnya mudah bergeser. Lapisan batuan yang kedap air sering disebut dengan bidang gelincir. Oleh karena itu salah satu pemicu terjadinya tanah longsor adalah curah hujan. Air hujan yang meresap ke dalam lapisan batuan akan mengganggu stabilitas material batuan itu sendiri. Air yang meresap dalam material batuan akan menambah berat dari batuan tersebut. Ketika air tidak dapat menembus bidang gelincir maka air justru akan mempermudah lapisan batuan di atas bidang gelincir bergeser ke bawah. Apabila hal ini terjadi maka tanah longsor tidak dapat dihindari lagi (Soenarmo dan Saptohartono, 2008).

Faktor yang mempengaruhi terjadinya longsor lahan meliputi faktor pasif dan faktor aktif. Faktor pasif meliputi faktor topografi, keadaan geologis/litologi, keadaan hidrologis, tanah, ketertapatan longsor sebelumnya dan keadaan vegetasi. Faktor aktif yang mempengaruhi longsor lahan diantaranya aktivitas manusia dalam penggunaan lahan dan faktor iklim (Husain, 2015).

Sistem pemantauan gerakan tanah pada suatu wilayah yang diindikasikan rawan longsor merupakan kunci dalam melakukan mitigasi tanah longsor. Sistem pemantau gerakan tanah yang sederhana namun mempunyai daya guna dan akurasi yang tinggi merupakan salah satu jalan keluar yang terbaik. Masih banyak daerah yang terindikasi rawan longsor tetapi masih belum tersentuh oleh sistem deteksi dini yang paling sederhana sekalipun. Tergugah dari hal ini maka sangat dibutuhkan suatu sistem yang dapat memantau setiap pergerakan tanah yang sederhana sehingga dapat dengan mudah dilakukan produksi massal. Ketika lapisan tanah mengalami pergeseran maka akan terdeteksi oleh variabel resistor yang selanjutnya akan menghasilkan perubahan tegangan keluaran. Perubahan tegangan keluaran inilah yang nantinya dikalibrasi menjadi pergeseran tanah (Sugito dkk, 2015).

Menurut Syamsuddin (2009) tanda-tanda (gejala) umum terjadinya tanah longsor adalah sebagai berikut:

- a. Munculnya retakan-retakan di lereng yang sejajar dengan arah tebing.
- b. Biasanya terjadi setelah hujan.
- c. Munculnya mata air baru secara tiba-tiba.
- d. Tebing rapuh dan kerikil mulai berjatuhan.

## **2.6 Topografi dan Kemiringan Tanah Kabupaten Maros Sulawesi Selatan**

Kemiringan Lereng merupakan bentuk dari variasi perubahan permukaan bumi secara global, regional atau dikhususkan dalam bentuk suatu wilayah tertentu yang digunakan dalam pengidentifikasian kemiringan lereng adalah sudut

kemiringan lereng, titik ketinggian diatas muka laut dan bentang alam berupa bentukan akibat gaya satuan geomorfologi yang bekerja.

Potensi bencana alam tanah longsor (erosi) yang terdapat di wilayah kabupaten Maros umumnya terjadi pada wilayah dengan kemiringan topografi >45% dengan kondisi hutan yang sudah mengalami penggundulan yang disebabkan oleh peladang yang berpindah-pindah dan penebangan liar. Wilayah kabupaten Maros yang diidentifikasi rawan terjadi bencana alam tanah longsor berlokasi di kecamatan Mallawa, Camba, Cenrana, Bantimurung dan Tompobulu.

Pengelompokkan kelas kemiringan pada dan sebarannya di setiap kecamatan disajikan dalam Tabel 2.1 di bawah ini.

Tabel 2.1 Kemiringan Lahan Kecamatan di Kabupaten Maros

No	Sudut Lereng (%)	Ketinggian diatas Muka Laut (m)	Luas (%)	Bentangan dan batuan Penyusun	Sebaran (Kecamatan)	Jenis Peruntukan/ Lahan
1.	<3	0 – 30	33,33	Pedataran; Dominan Aluvium	Lau, Bontoa, Turikale, Maros Baru, Marusu, Mandai, Bantimurung, Camba dan Tanralili	Persawahan Pertambakan Perkebunan Permukiman Pertambangan
2.	3-5	15 – 300	1,87	Perbukitan, Sedimen dan Vulkanik	Mallawa, camba, Bantimurung, Bontoa dan Tanralili	Permukiman Perkebunan
3.	5-10	25 – 750	4,31	Perbukitan Kars dan Intrusi serta Pegunungan Vulkanik	Mallawa, Camba, Tanralili, Tompobulu dan Bantimurung	Perkebunan Peternakan Permukiman Pertambangan

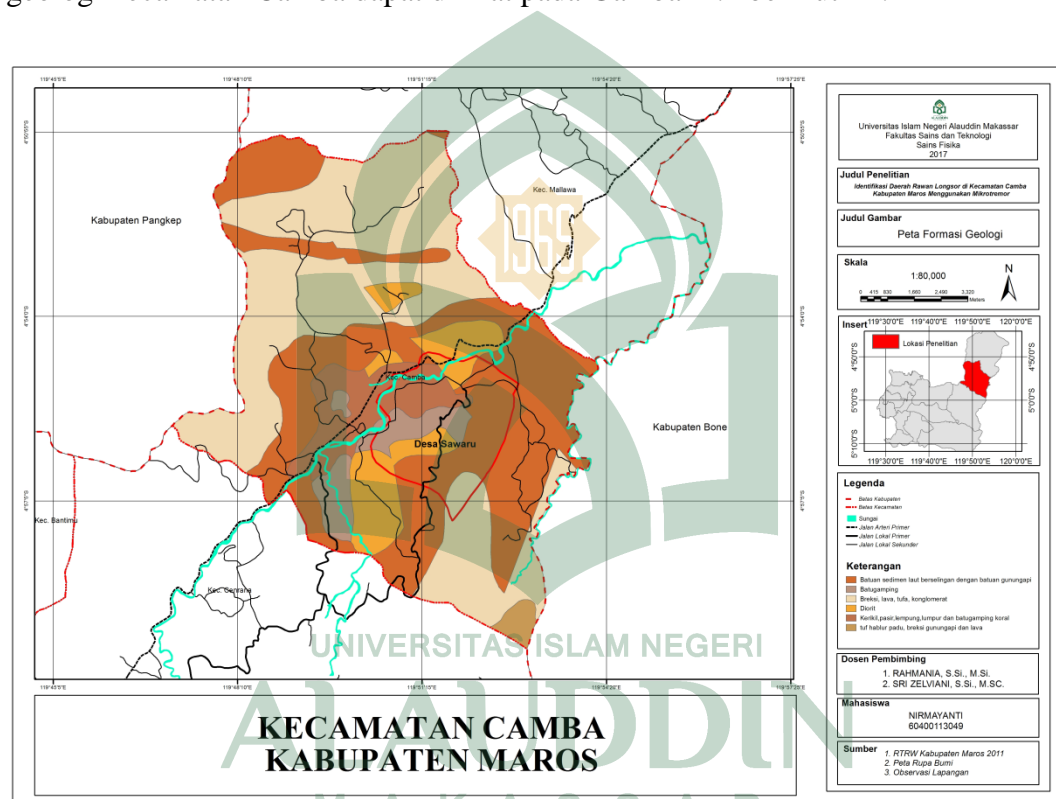
4.	10 – 15	100-1.565	11,48	Perbukitan Intrusi, Vulkanik, Kars dan Sedimen	Mallawa, Camba, Bantimurung, Bontoa, Simbang, Tanralili dan Tompobulu	Perkebunan Peternakan Permukiman Hutan Belukar Alang-Alang
5.	15-30	25 – 1.540	23,30	Pegunungan Vulkanik, Perbukitan Kars, Intrusi dan Sedimen	Mallawa, Camba, Bantimurung, Bontoa, Tompobulu, Tanralili, Moncongloe dan Simbang	Perkebunan Hutan Lindung Semak Belukar Peternakan Permukiman
6.	30 – 70	100– 1.458	20,09	Pegunungan Vulkanik, Perbukitan Intrusi dan kars	Mallawa, Camba, Bantimurung, Simbang dan Bontoa	Hutan Lindung Hutan Produksi Terbatas Perkebunan Rekreasi Pertambangan Permukiman
7.	>70	35 – 1.437	5.61	Perbukitan Kars dan Pegunungan Vulkanik	Mallawa, Camba, Bantimurung, Simbang, Tompobulu dan Tanralili	Hutan Lindung Hutan Produksi Terbatas Perkebunan Semak Belukar Rekreasi

Sumber : Dinas Pertambangan dan Energi Kabupaten Maros, 2010.

## 2.7 Kondisi Geologi dan Litologi Kecamatan Camba Kabupaten Maros

Secara geografis kecamatan Camba merupakan daerah dataran tinggi. Daerah Camba terbagi atas delapan daerah wilayah administratif yang ada semuanya mempunyai topografi lembah dan berbukit dengan ketinggian terendah 310 m sampai 650 m diatas permukaan laut.

Luas kecamatan Camba sekitar 145,36 km<sup>2</sup> sebelah barat berbatasan dengan kabupaten Pangkep, sebelah utara berbatasan dengan kecamatan Mallawa dan sebelah Selatan berbatasan dengan kecamatan Cenrana jarak antara desa dengan pusat pemerintah kabupaten cukup jauh yaitu desa terdekat dapat ditempuh dengan jarak sekitar 44 km dan desa terjauh dengan jarak 64 km. Peta geologi kecamatan Camba dapat dilihat pada Gambar 2.1 berikut ini:



Gambar 2.1 Peta Geologi Kecamatan Camba Kabupaten Maros.  
(Sumber: Dokumen pribadi)

Dari gambar 2.1 peta geologi diatas dapat diketahui bahwa desa Sawaru kecamatan Camba kabupaten Maros memiliki struktur batuan sedimen laut berselingan dengan gunung api, batu gamping, breksi, lava, tufa, konglomerat, diorit, kerikil, pasir, lempung, lumpur dan batu gamping koral.

## 2.8 Mikrotremor

Mikrotremor merupakan getaran tanah dengan amplitudo pergeseran sekitar  $0,1 - 1 \mu\text{m}$  dan amplitudo kecepatan  $0,001 \text{ cm/s}$  sampai  $0,01 \text{ cm/s}$ . Mikrotremor periode panjang dengan periode lebih dari 1 detik terkait dengan tanah yang lebih dalam yang menunjukkan dasar dari batuan keras (Mirzaoglu, 2003).

Mikrotremor diklasifikasikan menjadi dua jenis berdasarkan rentang periodenya. Jenis pertama adalah mikrotremor periode pendek dengan periode kurang dari 1 detik dan keadaan ini terkait dengan struktur bawah permukaan yang dangkal dengan ketebalan beberapa puluh meter. Jenis kedua adalah mikrotremor periode panjang dengan periode lebih dari 1 detik, keadaan ini terkait struktur tanah yang lebih dalam, menunjukkan dasar dari batuan keras (Mirzaoglu & Dykmen, 2003).

Berdasarkan periodenya, mikrotremor diklasifikasikan menjadi dua jenis, yaitu periode rentang pendek dan periode rentang panjang. Untuk mikrotremor dengan periode rentang pendek yaitu 0,1 detik sampai 1,6 detik biasanya disebabkan oleh peristiwa buatan, sedangkan mikrotremor dengan periode rentang panjang yaitu 1,6 detik sampai 2 detik atau lebih terjadi karena peristiwa alam. Gelombang alam dari mikrotremor berbeda – beda, tergantung dari kondisi wilayahnya (Syahrudin, dkk., 2014).

Mikrotremor atau yang biasa disebut dengan *ambient vibration* adalah getaran tanah dengan amplitudo mikrotremor yang dapat ditimbulkan oleh

peristiwa alam ataupun buatan, seperti angin, gelombang laut atau getaran kendaraan menggambarkan kondisi geologi suatu wilayah dekat permukaan (Tokimatsu, 2004). Survei mikrotremor pada umumnya dilakukan untuk berbagai aplikasi, seperti untuk pemantauan aktivitas gunung api, mendukung eksplorasi geotermal, mikroonasi, penelitian geofisika lingkungan, serta aplikasi geoteknik (Wahyudi, 2008). Mikrotremor digunakan dalam teknik kegempaan untuk memperkirakan profil kecepatan gelombang geser ( $V_s$ ). Mikrotremor didominasi oleh gelombang permukaan yang dapat digunakan untuk menentukan kurva dispersi gelombang *rayleigh* tanpa memerlukan sumber tiruan (Abu, 2014).

Mikrotremor yang juga dikenal sebagai getaran alam (*ambient vibration*) berasal dari dua sumber utama yaitu alam dan manusia. Pada frekuensi rendah yaitu dibawah 1 Hz, sumber mikrotremor adalah alam. Gelombang laut menimbulkan *ambient vibration* dengan frekuensi sekitar 0.2 Hz sedangkan frekuensi sekitar 0.5 Hz dihasilkan oleh interaksi antara gelombang laut dan pantai. Untuk frekuensi dibawah 0.1 Hz, mikrotremor diasosiasikan dengan aktifitas di atmosfer. Frekuensi tinggi, lebih dari 1 Hz bisa ditimbulkan oleh angin dan aliran air. Pada frekuensi tinggi yaitu lebih dari 1 Hz, sumber utamanya adalah aktifitas manusia seperti lalu lintas kendaraan, mesin dll. Lokasi sumber biasanya berada di permukaan tanah dan bervariasi dengan adanya siang dan malam (*SESAME European reseach project, 2004*).

Mikrotremor adalah getaran tanah yang pada umumnya mempunyai sifat kontinu, memiliki magnitude yang kecil dan bersifat stasioner. Mikrotremor dapat

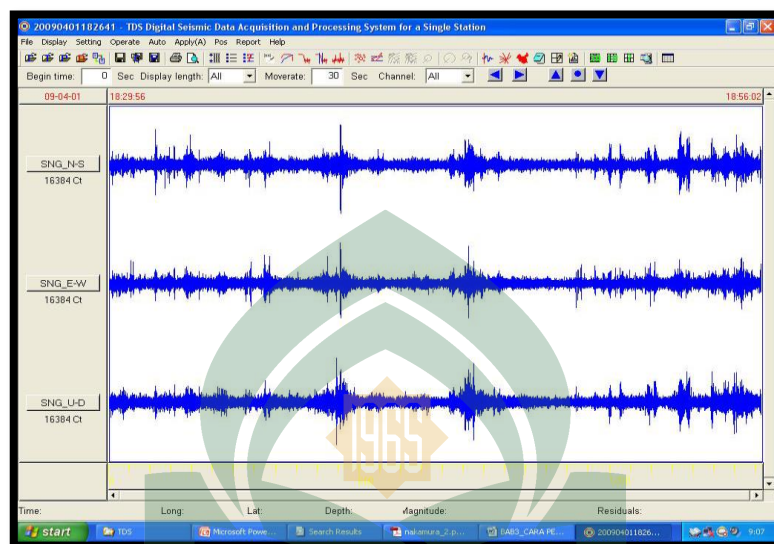
digunakan dalam perancangan bangunan tahan gempa, yakni dengan mengetahui periode natural dari tanah setempat untuk menghindari terjadinya resonansi. Mikrotremor juga dapat digunakan untuk mengetahui jenis tanah berdasarkan tingkat kekerasannya (Subardjo, 2008)

Metode analisis mikrotremor adalah salah satu metode geofisika untuk menghitung efek karakteristik tanah dan karakteristik dinamika tanah ditinjau dari kecepatan gelombang seismik dengan menitik beratkan pada variasi amplitudo dan periode serta frekuensi terhadap waktu yang disebabkan oleh gempabumi maupun sumber getaran yang lain. Metode ini sangat berguna untuk mengklasifikasikan tanah akibat gempa dan perhitungan faktor amplifikasi lapisan sedimen permukaan (Asrori, 2014).

Penelitian mikrotremor awalnya dilakukan oleh Omori 1908, kemudian Kanai dan Tanaka pada tahun 1961 mengusulkan rekayasa aplikasi mikrotremor, pada tahun 1970 teknik menggunakan rasio spektral *Horizontal to Vertical* dari mikrotremor diperkenalkan oleh Nagoshi dan Igarashi, pada tahun 1989 Nakamura mulai mengembangkan dan mempopulerkan teknik *Horizontal to Vertical Spectral Ratio* (HVSr) (Mudamakin dkk, 2015).

Mikrotremor dapat digunakan untuk menentukan dinamika karakteristik permukaan tanah termasuk nilai periode dominan dan nilai faktor amplifikasi tanah pada suatu wilayah penelitian. Pengukuran mikrotremor menghasilkan parameter frekuensi dominan ( $f_0$ ) dan faktor amplifikasi (A), serta turunan kedua parameter tersebut, yaitu indeks kerentanan seismik (Kg). Untuk memperoleh

nilai frekuensi dominan, data mikrotremor akan diolah dengan menggunakan metode mikrotremor HVSR (*horizontal to vertical spectral ratio*) (Nakamura, 2000).



Gambar 2.2 : Hasil tampilan pengukuran di lapangan dengan 3 jenis gelombang (horizontal (utara - selatan), horizontal (barat - timur) dan seismik vertikal).  
(Sumber: Mudamakin dkk, 2015)

Pengukuran mikrotremor memiliki keunggulan untuk penyelidikan bawah permukaan, antara lain adalah:

- a. Dapat dioperasikan di setiap tempat dan setiap waktu
- b. Instrumen dan cara pengukurannya relatif mudah
- c. Tidak menyebabkan gangguan pada lingkungan

Kegunaan metode mikrotremor untuk identifikasi struktur bawah permukaan pertama kali dilakukan oleh Irikura dan Kawanka dari Jepang pada tahun 1980. Mereka menggunakan gelombang mikrotremor dengan periode pendek untuk mengidentifikasi batuan yang lunak. Dalam beberapa kasus,

peningkatan ketebalan dan kekompakan batuan juga berbanding lurus dengan kenaikan amplitudo (Daryono dkk, 2001).

## **2.9 *Horizontal to Vertikal Spektrum Ratio (HVSr) atau Metode Nakamura***

Teknik pengolahan gelombang mikrotremor ini dipopulerkan oleh Nakamura (1989). Teknik HVSr merupakan teknik sederhana yang dapat menggambarkan karakteristik dinamis tanah maupun struktur. Rasio spektral dari H/V merupakan estimasi rasio antara spektrum amplitudo komponen horizontal dan vertikal dari suatu getaran. Spektrum H/V akan menunjukkan frekuensi dominan ( $f_0$ ) dan nilai puncak HVSr (A) (Mudamakin dkk, 2015).

HVSr merupakan satu metode analisis yang diperkenalkan oleh Nakamura berdasarkan pengalaman beliau melakukan pengamatan perambatan gelombang geser akibat peristiwa gempa. Nakamura dan Saito (1983) melakukan pengamatan perambatan gelombang gempa untuk berbagai kondisi geologi. Pada saat yang bersamaan Nakamura dan Saito (1983) juga melakukan pengamatan terhadap *ambient vibration* atau *ambient noise* di permukaan. Hasil pengamatan Nakamura dan Saito (1983) menunjukkan bahwa gerakan tanah di permukaan akibat peristiwa gempa dan akibat *ambient vibration* disebabkan oleh gelombang *rayleigh*. Hasil penelitian yang telah dilakukan oleh Nakamura dan Saito (1983) menunjukkan adanya kesesuaian antara nilai faktor amplifikasi tanah yang dihasilkan dengan menggunakan data pengamatan gelombang *ambient* dan gelombang gempa.

Metode HVSR pada analisis data mikroteremor telah digunakan secara luas untuk studi efek lokal dan mikrozonasi. Metode HVSR pertama kali diperkenalkan oleh Nagoshi dan Iragashi yang menyatakan adanya hubungan antara perbandingan komponen horizontal dan vertikal terhadap kurva eliptisitas pada gelombang *reyleigh* (Sutrisna dkk, 2015).

Energi mikrotremor sebagian besar bersumber dari gelombang *rayleigh* dan *site effect amplification* terjadi akibat keberadaan lapisan tanah lunak yang menempati setengah cekungan dari batuan dasar. Dalam kondisi ini ada empat komponen gerakan tanah yang terlibat, yaitu komponen gerakan horizontal dan vertikal di batuan dasar dan komponen gerak horizontal dan vertikal di permukaan (Lermo, et al., 1993).

Metode HVSR digunakan untuk mendapatkan nilai frekuensi dominan tanah dan faktor amplifikasi dengan melakukan pengukuran mikroseismik. Karakteristik mikroseismik mencerminkan karakteristik batuan di suatu wilayah. Nilai frekuensi dominan tanah dan faktor amplifikasi hasil pengukuran digunakan untuk membuat peta kerawanan lokasi dari aspek bahaya seismik.

HVSR adalah metode yang didasarkan pada asumsi bahwa rasio spektrum horizontal dan vertikal dari getaran permukaan sebagai perkiraan fungsi perpindahan. Kebenaran dari metode ini telah dibuktikan dengan menggunakan hasil pengamatan mikroseismik di beberapa penelitian.

Nakamura (1989) mengatakan bahwa jika diasumsikan gelombang geser dominan pada mikrotremor, maka rasio spektrum horizontal terhadap vertikal

(HVSR) pada data mikrotremor suatu tempat sama dengan frekuensi gelombang geser yang bergetar antara permukaan dan batuan dasar di suatu tempat. Berdasarkan analisis data gempa, nilai maksimum rasio getaran horizontal terhadap vertikal dalam setiap pengamatan H/V berkaitan dengan kondisi tanah dan hampir setara dengan suatu kekuatan tanah dengan beberapa getaran ke semua arah.

Pada tahun 1989, Nakamura mencoba memisahkan efek sumber gelombang dengan efek geologi dengan cara menormalisir spektrum komponen horizontal dengan komponen vertikal pada titik ukur yang sama. Hasil pengamatan menunjukkan bahwa rekaman pada stasiun yang berada pada batuan keras, nilai maksimum rasio spektrum komponen horizontal terhadap vertikal mendekati nilai 1. Sedangkan pada stasiun yang berada pada batuan lunak, rasio nilai maksimumnya mengalami perbesaran (faktor amplifikasi), yaitu lebih besar dari 1. Berdasarkan kondisi tersebut maka, Nakamura merumuskan sebuah fungsi transfer HVSR (Nakamura, 2000).

Metode analisis HVSR yang dikembangkan oleh Nakamura (1989) menghitung rasio spektrum Fourier dari sinyal mikrotremor komponen horizontal terhadap komponen vertikalnya. Hasil analisis HVSR menunjukkan satu puncak spektrum pada frekuensi dominan. Frekuensi dominan ( $f_0$ ) dan faktor amplifikasi ( $A$ ) yang menggambarkan karakteristik dinamis tanah dapat dihasilkan dari analisis HVSR (Nakamura, 2000).

Penentuan nilai predomnan berdasarkan metode HVSR. Ditinjau dari teorinya , persamaan HVSR untuk getaran terukur di permukaan dinyatakan:

$$HVSR = \frac{\sqrt{(A_{(U-S)}(f))^2 + (A_{(B-T)}(f))^2}}{(A_{(V)}(f))} \quad (2.1)$$

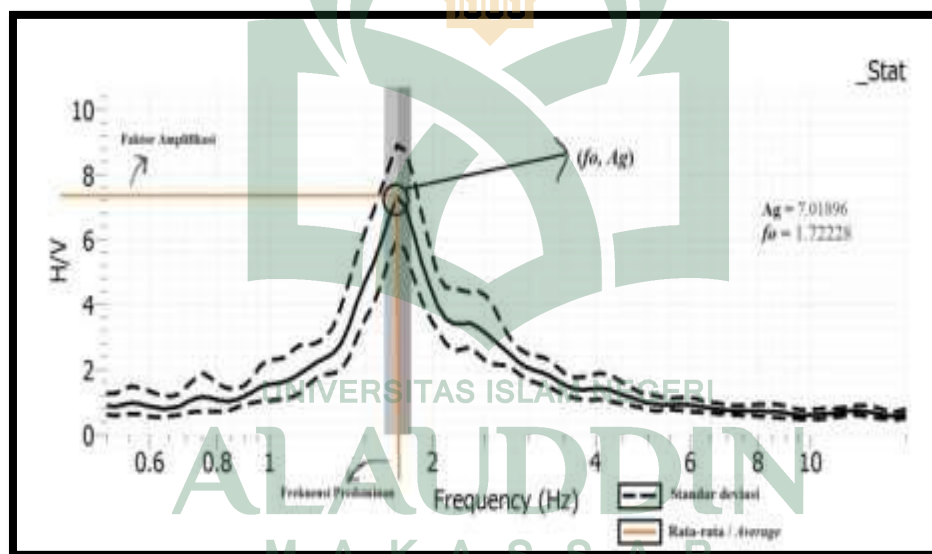
HVSR = *Horizontal to Vertical Ratio*

$A_{(U-S)}(f)$  = Nilai Amplitudo spektrum frekuensi komponen Utara-Selatan

$A_{(B-T)}(f)$  = Nilai Amplitudo spektrum frekuensi komponen Barat-Timur

$A_{(V)}(f)$  = Nilai Amplitudo spektrum frekuensi komponen Vertikal

Hasil pengolahan HVSR berupa kurva HVSR seperti pada gambar berikut :



Grafik 2.1 Hasil pengolahan HVSR pada kurva HVSR  
(Sumber: Wibowo, 2015)

### 2.9.1 Frekuensi Dominan Tanah ( $f_0$ )

Frekuensi dominan tanah adalah nilai frekuensi yang kerap muncul sehingga diakui sebagai nilai frekuensi dominan dari lapisan batuan wilayah tersebut, sehingga nilai frekuensi dominan dapat menunjukkan jenis dan

karakteristik batuan tersebut. Lachet dan Brad (1949) melakukan uji simulasi dengan menggunakan enam model struktur geologi sederhana dengan kombinasi variasi kontras kecepatan gelombang geser dan ketebalan lapisan tanah. Hasil simulasi menunjukkan puncak nilai frekuensi dominan berubah terhadap variasi kondisi geologi (Tabel 2.2)

Tabel 2.2 Klasifikasi Tanah berdasarkan frekuensi dominan tanah mikroseismik oleh Kanai (Dikutip dari bulletin Meteorologi dan Geofisika No.4 tahun 1998)

Klasifikasi Tanah	Frekuensi Dominan (Hz)	Klasifikasi Kanai	Deskripsi
Jenis I	6,667 - 20	Batuan tersier atau lebih tua. Terdiri dari batuan pasir berkerikil keras ( <i>hard sandy graver</i> ) Batuan alluvial dengan ketebalan 5 m.	Ketebalan sedimen permukaannya sangat tipis, didominasi oleh batuan keras.
Jenis II	4 - 10	Terdiri dari pasir berkerikil ( <i>sandy hard clay</i> ), tanah liat, lempung (loam) dan sebagainya.	Ketebalan sedimen permukaannya masuk dalam kategori menengah yaitu

			5 – 10 meter
Jenis III	2,5 - 4	Batuan alluvial yang hampir sama dengan jenis II, hanya dibedakan oleh adanya formasi yang belum diketahui ( <i>buff formation</i> ).	Ketebalan sedimen permukaannya masuk dalam kategori tebal, yaitu sekitar 10 – 30 meter.
Jenis IV	< 2,5	Batuan alluvial yang terbentuk dari sedimentasi delta, top, soil, lumpur, tanah lunak, humus, endapan lumpur dll, yang tergolong dalam tanah lembek, dengan kedalaman 30 m.	Ketebalan sedimen permukaannya sangatlah tebal.

Sumber: BMKG, 1998.

Setiap benda memiliki frekuensi dominan yang ukurannya tergantung dari komposisi, ukuran dan bentuknya. Jika frekuensi dominan suatu benda sama dengan frekuensi dominan sumber bunyi lain maka akan terjadi resonansi atau penguatan amplitudo gelombang dan benda dikatakan resonan terhadap frekuensi dominan sumber bunyi (Sears dan Zemansky, 1994).

Hubungan antara nilai frekuensi dominan dengan ketebalan sedimen dinyatakan oleh Bard (2000) dalam persamaan:

$$f_0 = \frac{V_s^{30}}{4H} \quad (2.2)$$

Keterangan:

$V_s^{30}$  = kecepatan gelombang geser pada kedalaman 30 meter (m/s)

$f_0$  = frekuensi pendominan (Hz)

H = ketebalan sedimen (m)

Nilai  $V_s^{30}$  dipergunakan dalam penentuan standar bangunan tahan gempa. Nilai  $V_s^{30}$  digunakan untuk menentukan klasifikasi batuan berdasarkan kekuatan getaran gempabumi akibat efek lokal serta digunakan untuk keperluan dalam perancangan bangunan tahan gempa.  $V_s^{30}$  merupakan data data yang penting dan paling banyak digunakan dalam teknik geofisika untuk menentukan karakteristik struktur bawah permukaan hingga kedalama 30 meter (Roser dan Gosar, 2010). Hanya lapisan batuan sampai kedalam 30 meter saja yang menentukan pembesaran gelombang gempa (Wangsadinata, 2006).

### 2.9.2 Faktor Amplifikasi ( $A_0$ )

Faktor amplifikasi gempabumi adalah perbandingan percepatan maksimum gempabumi di permukaan tanah dengan batuan dasar. Kandungan frekuensi dan amlitudo gelombang gempabumi yang menjalar dari batuan dasar ke permukaan bumi akan berubah saat melewati endapan tanah. Proses ini dapat menghasilkan percepatan yang besar terhadap struktur dan menimbulkan

kerusakan yang parah, terutama saat frekuensi gelombang seismik sama dengan resonansi frekuensi struktur bangunan buatan manusia (Bard, 1999)

Nilai faktor amplifikasi suatu tempat dapat diketahui dari tinggi puncak spektrum amplitudo HVSR hasil pengukuran mikrotremor di tempat tersebut. Beberapa peneliti telah menemukan adanya korelasi antara puncak spektrum H/V dengan distribusi kerusakan struktur bangunan akibat gempa dan intensitas guncangan tanah selama gempa yang secara signifikan dipengaruhi oleh kondisi geologi dan kondisi tanah setempat. Batuan sedimen yang lunak diketahui memperkuat gerakan tanah selama gempa dan karena itu rata-rata kerusakan yang diakibatkan lebih parah dari pada lapisan keras (Nakamura, 2000).

Daya penguatan guncangan tanah (faktor amplifikasi) adalah respon lapisan batuan, dalam hal ini adalah lapisan permukaan, terhadap gelombang (gempabumi), faktor amplifikasi menggambarkan besarnya penguatan gelombang pada saat melalui medium tertentu. Penguatan gelombang pada saat melalui suatu medium berbanding lurus dengan perbandingan antara *spectral* horizontal terhadap *spectral* vertikal.

Seed struktur dan Schanabel (1972) menunjukkan bahwa kerusakan struktur bangunan akibat gempa dan intensitas guncangan tanah selama gempa secara signifikan dipengaruhi oleh kondisi geologi dan kondisi tanah setempat. Batuan sedimen yang lunak diketahui memperkuat gerakan tanah selama gempa dan rata-rata kerusakan pada arena itu lebih parah dari pada lapisan keras (Tuladhar, 2002). Artinya batuan sedimen merupakan faktor amplifikasi amplitudo gelombang

gempa. Kota modern yang dibangun di atas sedimen lunak akan mudah mengalami kerusakan akibat faktor amplifikasi gelombang gempa. Parameter amplifikasi yang dapat merusak bangunan apabila nilainya lebih besar dari 3 dan beresonansi dengan frekuensi rendah (Nakamura, dkk., 2000).

Terdapat dua sebab terjadinya faktor amplifikasi gelombang gempa yang terjebak di lapisan lunak, sehingga gelombang tersebut terjadi superposisi antar gelombang, jika gelombang tersebut mempunyai frekuensi dominan yang relatif sama, maka terjadi proses resonansi gelombang gempa. Akibat proses resonansi ini, gelombang tersebut saling menguatkan. Kedua, adanya kesamaan frekuensi natural antara geologi setempat dengan bangunan dan tanah setempat. Akibatnya, getaran tanah pada bangunan lebih kuat. Berdasarkan pengertian tersebut, maka amplifikasi dapat dituliskan sebagai suatu fungsi perbandingan nilai kontras impedansi, yaitu

$$A_0 = \frac{\rho_b \times v_b}{\rho_s \times v_s} \quad (2.3)$$

dengan:

$\rho_b$  = densitas batuan dasar (gr/ml)

$v_b$  = kecepatan rambat gelombang di batuan dasar (m/s)

$v_s$  = kecepatan rambat gelombang batuan lunak (m/s)

$\rho_s$  = rapat massa dari batuan lunak (gr/ml)

(Nakamura, 2000).

Nilai amplifikasi tinggi menunjukkan kontras impedansi yang tinggi, yang artinya densitas ( $\rho$ ) antar lapisan sangat berbeda. Dalam analisa resiko gempa

bumi, kontras impedansi tinggi mengakibatkan risiko yang tinggi apabila terjadi gempa bumi. Nilai amplifikasi dipengaruhi oleh kecepatan gelombang. Apabila kecepatan gelombang semakin kecil maka amplifikasi semakin besar, dimana menunjukkan bahwa amplifikasi berhubungan dengan tingkat kepadatan batuan. Berkurangnya kepadatan batuan dapat meningkatkan nilai amplifikasi karena pada batuan yang kurang padat (sedimen lunak) akan memperlama durasi gelombang menjalar di lokasi tersebut dan memperbesar amplitudo gelombangnya, sehingga terjadi guncangan terhadap bangunan di atas permukaan. Hal ini yang dapat menyebabkan tingkat potensi resiko bencana gempa bumi semakin besar. Nilai amplifikasi menurun pada batuan yang kurang padat karena amplitudo gelombang yang menjalar di batuan padat relatif kecil (Nakamura, 2000).

Amplifikasi gelombang seismik dapat disebabkan oleh empat hal, yaitu adanya lapisan lapuk yang terlalu tebal di atas lapisan keras, adanya frekuensi natural yang rendah, frekuensi dominan gempa bumi dan geologi setempat yang memiliki energi gempa bumi yang terjebak di lapisan lapuk dalam waktu yang lama (Wahyu, dkk., 2013).

### **2.9.3 Periode Dominan**

Periode dominan memiliki keterkaitan yang sangat dekat dengan kedalaman lapisan sedimen lunak (Nakamura, 1989). Periode yang tinggi menunjukkan sedimen lunak yang tebal dan sebaliknya periode dominan yang rendah menunjukkan sedimen lunak yang tipis. Daerah yang memiliki periode dominan tinggi umumnya memiliki kerentanan untuk mengalami kerusakan wilayah yang

cukup tinggi jika terlanda gempa bumi. Hal ini dikarenakan periode dominan berbanding lurus dengan nilai penguatan guncangan/amplifikasi. Nilai periode dominan didapatkan berdasarkan perhitungan berikut:

$$T_0 = \frac{1}{f_0} \quad (2.4)$$

dengan:

$T_0$  = periode dominan (s)

$f_0$  = frekuensi dominan (Hz)

Tabel 2.3 Klasifikasi Tanah Kanai - Omote – Nakajima (Dikutip dari buletin Metereologi dan Geofisika No.4 1998).

Klasifikasi Tanah		Periode (T) sekon	Keterangan	Karakter
Kanai	Omote - Nakajima			
Jenis I	Jenis A	0,05 – 0,10	Batuan tersier atau lebih tua terdiri dari batuan <i>Hard sandy, gravel, dll</i>	Keras
Jenis II		0,10 – 0,25	Batuan alluvial, dengan ketebalan 5m. Terdiri dari dari <i>sandy gravel, sandy hard clay, loam, dll.</i>	Sedang
Jeni III	Jenis B	0,25 – 0,40	Batuan alluvial, hampir sama dengan jenis II, hanya dibedakan oleh adanya formasi <i>bluff</i> .	Lunak
Jenis IV	Jenis C	>0,40	Batuan alluvial, yang terbentuk dari sedimentasi delta, top soil, lumpur, dll. Dengan kedalaman 30 m atau lebih.	Sangat lunak

Sumber: BMKG, 1998

Periode dominan memiliki nilai semakin tinggi di daerah lembah dan di sepanjang sesar. Hal ini menunjukkan bahwa di lembah dan daerah sepanjang sesar disusun oleh sedimen lunak juga tebal. Lembah adalah cekungan pengendapan sehingga dapat dipahami bahwa endapan sedimen lunak di lembah lebih tebal dari pada di puncak. Sebaliknya di puncak bukit, proses erosi mencapai tingkat maksimum sehingga tidak ditemukan endapan sedimen lunak yang tebal (Nakamura, 2000).

Nilai periode dominan di suatu wilayah juga berkontribusi pada nilai amplifikasi di wilayah tersebut. Periode dominan tinggi pada suatu wilayah menunjukkan kecenderungan suatu wilayah untuk mengalami penguatan guncangan/amplifikasi yang tinggi sehingga rentan mengalami kerusakan. Wilayah yang memiliki nilai periode dominan tinggi umumnya adalah wilayah daratan yang disusun oleh endapan permukaan. Namun demikian, besarnya nilai periode dominan di wilayah endapan permukaan (*alluvium*) tidak mutlak sama. Hal ini menunjukkan ketebalan *alluvium* di wilayah ini tidak sama (Gosar, 2007).

#### **2.9.4 Indeks Kerentanan Seismik**

Menurut Nakamura (2008), indeks kerentanan seismik merupakan indeks yang menggambarkan tingkat kerentanan lapisan tanah permukaan terhadap deformasi saat terjadi gempa bumi. Indeks kerentanan seismik bermanfaat untuk memprediksi zona lemah saat terjadi gempa bumi (Saita dkk., 2004).

Indeks kerentanan seismik berdasarkan mikrotremor juga bermanfaat untuk memprediksi zona rawan likuifaksi (Hang dan Tseng, 2002) dan rekahan

tanah akibat gempa bumi (Daryono, 2011). Indeks kerentanan seismik bersama-sama dengan percepatan batuan dasar berguna untuk menghitung nilai regang-geser lapisan tanah permukaan (Nakamura, 2000). Gempabumi merusak terjadi bilamana batas regang-geser terlampaui sehingga terjadi deformasi lapisan tanah permukaan (Nakamura, 2008).

Indeks kerentanan seismik merupakan indeks yang menggambarkan tingkat kerentanan permukaan tanah saat terjadi gempa bumi. Wilayah yang memiliki indeks kerentanan seismik tinggi berarti wilayah tersebut rentan terhadap gempa bumi rendah. Indeks kerentanan seismik dapat ditentukan dengan menggunakan *Horizontal to Vertical Spectral Ratio* (HVSr) dari data mikrotremor (Putra, 2014).

Persamaan untuk menentukan indeks kerentanan seismik menurut Nakamura (2000) adalah

$$K_g = \frac{A^2}{f_0} \quad (2.5)$$

Keterangan:

$K_g$  = Indeks kerentanan Seismik

$A$  = Amplifikasi

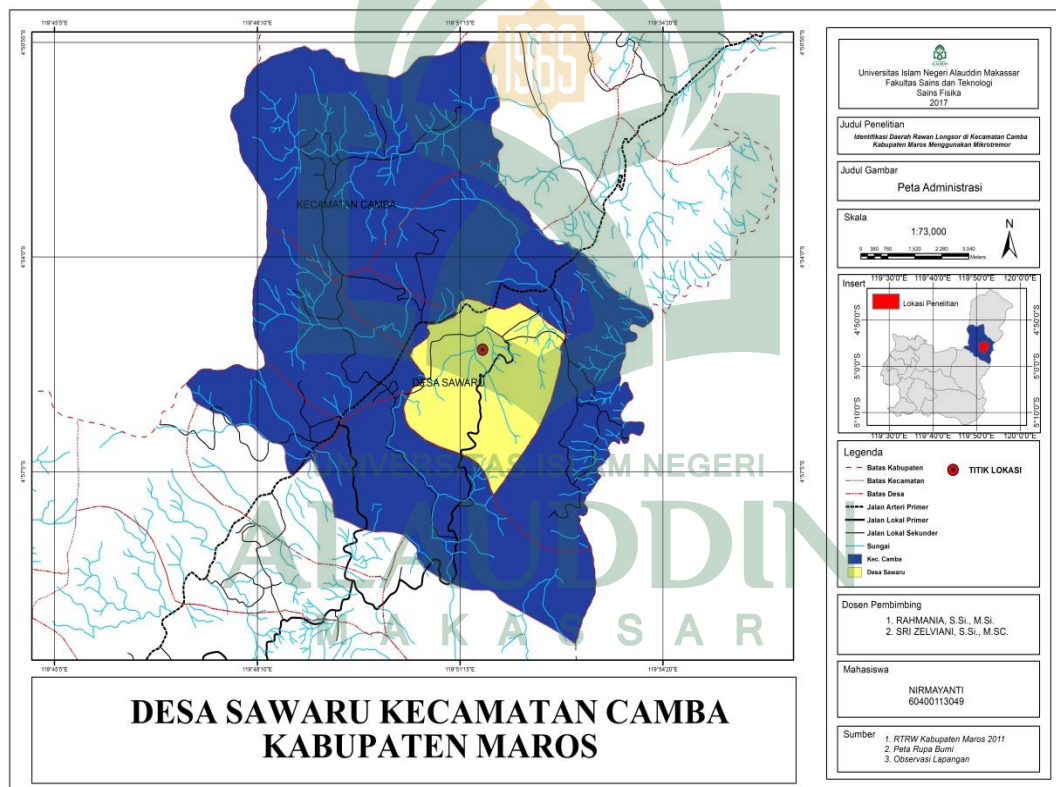
$f_0$  = frekuensi dominan (Hz)

## BAB III

### METODE PENELITIAN

#### 3.1 Waktu dan Tempat Penelitian

Penelitian ini dilaksanakan pada bulan Desember 2016 – Agustus 2017 bertempat di desa Sawaru kecamatan Camba kabupaten Maros dengan titik koordinat  $04^{\circ}54'37,7''$  LS -  $04^{\circ}54'41,9''$  LS dan  $119^{\circ}51'16,7''$  BT -  $119^{\circ}51'22,8''$  BT, yang merupakan ruas jalan raya yang menghubungkan antara kabupaten Maros dan kabupaten Bone.



Gambar: 3.1 Lokasi Daerah Penelitian  
(Sumber : Dokumen pribadi)

### 3.2 Alat dan Bahan

Alat yang digunakan pada penelitian ini adalah sebagai berikut:

- a. Digitaizer
- b. GPS antena
- c. Seismogram TDL 303S
- d. GPS (*Global Positioning System*)
- e. Solar cell
- f. Laptop
- g. Kabel
- h. *Software Geopsy* metode HVSR (*Horizontal Vertical Spectrum Ratio*)
- i. *Software ArcGis*
- j. *Software Microsoft Excel*
- k. *Software Google earth*

Bahan yang digunakan pada penelitian ini adalah sebagai berikut:

- a. Peta Lokasi
- b. Peta Geologi



### 2.3. Prosedur Penelitian

#### 2.3.1. Tahap Persiapan

Tahap persiapan ini meliputi studi literatur, kegiatan observasi pada awal penelitian, pengurusan surat perijinan penelitian, pembuatan proposal penelitian. Observasi adalah cara dan teknik pengumpulan data dengan melakukan

pengamatan dan pencatatan secara sistematis terhadap gejala atau fenomena yang ada pada obyek penelitian.

Metode ini digunakan dalam rangka mencari data awal tentang daerah penelitian, untuk mendapatkan gambaran umum daerah penelitian dengan memperhatikan keadaan riil atau fenomena yang ada di lapangan yang meliputi kondisi daerah penelitian setelah terkena bencana tanah longsor yaitu terjadi perubahan lahan. Data mengenai bencana tanah longsor di daerah penelitian diperoleh dari BPBD (Badan Penanggulangan Bencana Daerah) kabupaten Maros provinsi Sulawesi Selatan dan wawancara warga secara langsung disekitar daerah penelitian.

### 3.2.1 Pengukuran Mikrotremor

Prosedur pengukuran mikrotremor adalah sebagai berikut:

- a. Membuat peta serta titik lokasi pengukuran yang telah direncanakan pada *google earth*.
- b. Meletakkan seismometer di atas tanah yang mengandung tanah yang keras dan datar, jika keadaan tanah kurang datar atau gembur maka diberikan landasan.
- c. Mengatur posisi seismometer supaya menghadap ke barat geografis, dengan melihat seismometer yang telah dipasangkan besi, dengan memakai kompas sebagai acuannya.
- d. Ketiga kaki seismometer bisa diberi landasan yang telah tersedia jika perlu, kemudian mengatur kaki-kaki tersebut dengan memutar kekiri ataupun

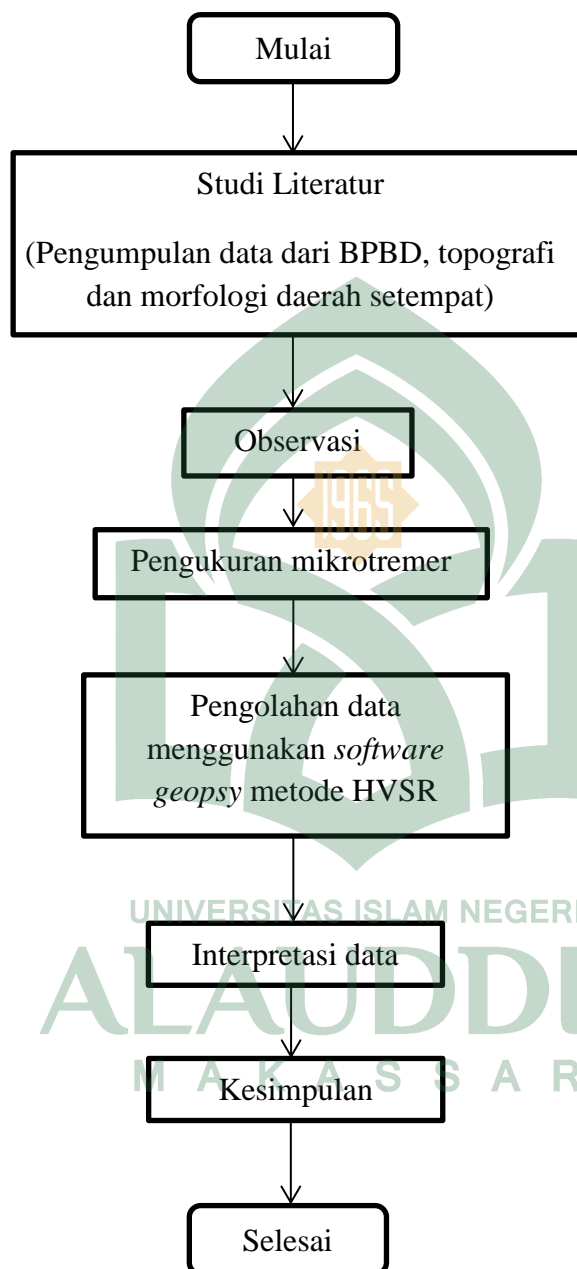
kekanaan menyesuaikan dengan posisi gelembung air supaya tepat ditengah-tengah (*leveling*) jika sudah, berarti posisi alat sudah rata dengan tanah.

- e. Menghubungkan masing-masing kabel konektor dengan dengan instrumen seismograf (seismometer, GPS, digitalizer, laptop) sesuai dengan fungsinya masing-masing.
- f. Meletakkan GPS antena di tempat yang terbuka tidak terhalang dengan sesuatu supaya langsung terhubung dengan satelit.
- g. Menghidupkan digitalizer dengan menekan tombol on.
- h. Menuunggu beberapa menit perhatikan lampu indikator GPS ketika berwarna hijau di laptop maka pertanda GPS sudah berfungsi dengan baik, namun apabila masih biru maka periksa kabel konektor dan keadaan lingkungan barangkali ada yang menghalangi dari jangkauan satelit.
- i. Hasil data yang diperoleh dari pengolahan data dengan menggunakan metode HVSR *software geopsy* sehingga diketahui nilai frekuensi dominan ( $f_0$ ) dan faktor Amplifikasi ( $A$ ), maka indeks kerentanan seismik dapat ditentukan dengan persamaan (2.5) dan ketebalan sedimen dapat diperoleh dengan menggunakan persamaan (2.2).



### 3.4 Diagram Alir Penelitian

Diagram alir penelitian dapat dilihat pada gambar berikut:

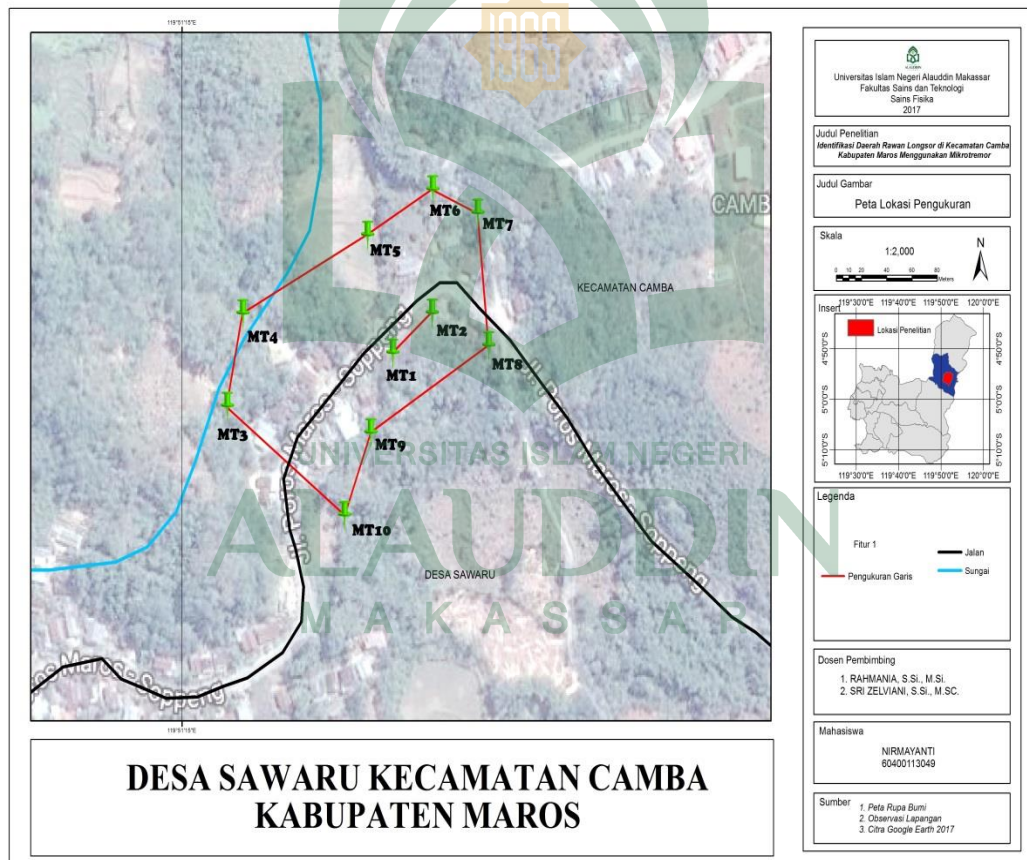


## BAB IV

### HASIL DAN PEMBAHASAN

#### 4.1 Lokasi Titik Penelitian

Penelitian mengenai identifikasi daerah rawan longsor dilakukan di daerah yang telah terjadi longsor yang berlokasi di desa Sawaru kecamatan Camba kabupaten Maros yang merupakan jalan poros Maros – Bone dan jalan poros Maros – Soppeng. Pada pengukuran tersebut ditentukan data sebanyak 10 titik. Letak pengambilan data dapat dilihat pada gambar 4.1 di bawah ini:



Gambar 4.1 Lokasi titik pengukuran mikrotremor  
(Sumber: dokumen pribadi)

Lokasi pengambilan data lapangan terletak pada pinggir jalan, berada sekitar area pemukiman, persawahan dan perkebunan masyarakat sekitar. Kondisi tanah pada titik penelitian hampir sama yang terlihat dipermukaan merupakan tanah lunak. Dengan rancangan jarak yang dibuat sekitar 70 m pertitik, namun setelah dilapangan disesuaikan dengan kondisi lapangan memungkinkan pengambilan titik atau tidak. Sehingga pada saat pengukuran mikrotremor jarak pada masing-masing titik berbeda-beda jarak antara MT1 – MT2 45,40 m, jarak MT3 – MT4 46,51 m, jarak MT4 – MT5 89,61 m, jarak MT6 – MT7 34,93 m, jarak MT7 – MT 8 92,61 m dan jarak MT3 – MT 10 111,43 m.

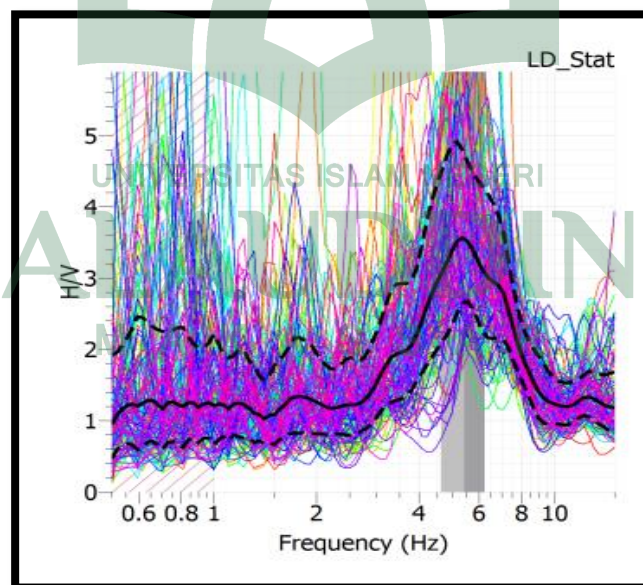
Tabel 4.1 Informasi detail mengenai titik koordinat (Latitude dan Longitude) akuisisi data mikrotremor

	LATITUDE (LS)	LONGITUDE (BT)
<b>MT1</b>	4°54'41,9"	119°51'20,5"
<b>MT2</b>	4°54'40,4"	119°51'21,4"
<b>MT3</b>	4°54'41,7"	119°51'16,7"
<b>MT4</b>	4°54'40,2"	119°51'17,0"
<b>MT5</b>	4°54'38,8"	119°51'19,6"
<b>MT6</b>	4°54'37,7"	119°51'21,2"
<b>MT7</b>	4°54'38,1"	119°51'22,3"
<b>MT8</b>	4°54'41,0"	119°51'22,8"
<b>MT9</b>	4°54'43,1"	119°51'19,9"
<b>MT10</b>	4°54'41,7"	119°51'16,7"

## 4.2 Hasil Pengolahan Data

Pengambilan data untuk setiap titik pengukuran rata-rata dilakukan selama 30 menit setiap titiknya dengan frekuensi sampling 100 Hz sesuai dengan aturan SESAME. Dari hasil pengolahan data pada *software geopsy* diperoleh frekuensi dominan ( $f_0$ ) dan faktor Amplifikasi (A) dengan memilih kurva H/V. Frekuensi pada puncak amplitudo kurva H/V merupakan frekuensi dominan atau frekuensi resonansi di suatu titik ukur. Peristiwa resonansi melibatkan amplitudo *spectrum horizontal* pada suatu frekuensi tertentu (frekuensi resonansi) menjadi lebih besar sedangkan komponen vertikal tetap. Sehingga terbentuk puncaknya pada kurva H/V.

Hasil Kurva H/V yang diperoleh pada proses pengolahan data *software geopshy* adalah sebagai berikut:



Grafik 4.1 Salah satu contoh grafik hubungan antara frekuensi natural dengan nilai H/V (amplifikasi) pada setiap titik pengukuran

Dari hasil pengolahan data tersebut maka diperoleh nilai data sebagai berikut:

Tabel 4.2 Hasil data pengolahan amplifikasi, periode dominan, kerentanan seismik, kecepatan gelombang geser pada kedalaman 30 m dan ketebalan sedimen pada pengukuran analisis mikrotremor

	Amplifikasi	Frekuensi dominan (Hz)	Periode dominan (s)	Kerentanan Seismik	Kecepatan gelombang geser pada kedalaman 30 m (m/s)	Ketebalan sedimen (m)
MT1	3,91	5,79	0,17	2,64	659	28,45
MT2	3,67	4,69	0,21	2,87	659	35,12
MT3	2,11	0,81	1,23	5,49	760	234,56
MT4	2,92	8,27	0,12	1,03	760	22,97
MT5	4,42	0,73	1,36	26,76	760	260,27
MT6	2,11	5,61	0,17	0,79	760	33,86
MT7	1,79	6,6	0,15	0,48	659	24,96
MT8	3,05	4,72	0,21	1,97	659	34,90
MT9	3,94	5,87	0,17	2,64	760	32,36
MT10	1,85	5,58	0,17	0,61	760	34,05

Berdasarkan data yang diperoleh pada tabel 4.1 diatas nilai frekuensi dominan yang diperoleh cukup beragam dan bervariasi. Rentang frekuensi dominan yang terukur pada saat penelitian adalah 0,73 Hz – 8,27 Hz. Nilai frekuensi dominan yang paling banyak muncul adalah sekitar 5 Hz. Nilai frekuensi terkecil terletak pada titik pengukuran MT5. Sedangkan nilai frekuensi terbesar terletak pada titik MT4. Berdasarkan nilai dari frekuensi dominan yang diperoleh titik pengukuran yang berpotensi longsor terletak pada titik MT3 dan MT5. Namun daerah disekitar penelitian merupakan daerah yang memiliki batuan yang hampir sama itu dapat dilihat dari nilai frekuensi natural yang dimiliki pada

daerah penelitian, kecuali pada titik MT4 yang memiliki nilai frekuensi yang tinggi sehingga batuan pada titik MT4 merupakan batuan keras.

Berdasarkan tabel 2.2 tentang klasifikasi tanah berdasarkan frekuensi dominan tanah mikroseismik oleh Kanai (Dikutip dari bulletin Meteorologi dan Geofisika No.4 tahun 1998) tanah yang tersebar pada daerah penelitian rata-rata merupakan jenis tanah II dengan frekuensi dominan 10 – 4 Hz yaitu pada MT1, MT2, MT4, MT6, MT7, MT8, MT9 dan MT10 yang terdiri atas pasir berkerikil (*sandy hard clay*), tanah liat, lempung (loam) dan sebagainya, dengan ketebalan sedimen permukaannya masuk dalam kategori menengah yaitu 5 – 10 meter. Kecuali pada titik pengukuran MT3 dan MT5 masuk pada kategori jenis tanah IV dengan frekuensi dominan  $<2,5$  yang terdiri dari batuan alluvial yang terbentuk dari sedimentasi delta, top soil, lumpur, tanah lunak, humus, endapan lumpur dll, yang tergolong dalam tanah lembek dengan kedalaman 30 m, dimana deskripsi ketebalan sedimennya merupakan ketebalan sedimen permukaan yang sangat tebal sehingga rawan terjadinya longsor. Secara menyeluruh jika ditinjau dari frekuensi dominan yang dimiliki oleh daerah penelitian, daerah penelitian merupakan daerah yang rawan longsor dimana pada MT3 dan MT5 memiliki ketebalan sedimen yang sangat tebal sehingga sangat berpotensi untuk mengalami longsor. Selanjutnya pada titik pengukuran MT1, MT2, MT4, MT6, MT7, MT8, MT9 dan MT10 yang merupakan jenis tanah II, jika ditinjau dari jenis tanah pada daerah penelitian terdapat jenis tanah lempung pada daerah tersebut sehingga termasuk dalam kategori rawan longsor, dimana tanah lempung merupakan tanah yang kurang padat, sebagaimana diketahui bahwa tanah jenis ini memiliki potensi

terjadinya tanah longsor terutama bila terjadi hujan. Selain itu tanah ini sangat rentan terhadap pergerakan tanah karena menjadi lembek terkena air dan pecah ketika hawa terlalu panas.

Setelah diperoleh nilai frekuensi dominan suatu daerah maka nilai periode dominannya juga dapat diketahui dengan menggunakan persamaan 2.4. Berdasarkan tabel 2.3 Klasifikasi Kanai – Omote – Nakajima yang dikutip dari buletin Metereologi dan Geofisika No.4, 1998 data yang diperoleh pada pengukuran mikrotremor pada tabel 4.1 untuk pengukuran MT1, MT2, MT4, MT6, MT7, MT8, MT9 dan MT10 berada dalam klasifikasi tanah jenis II menurut Kanai dan klasifikasi tanah jenis A menurut Omote – Nakajima yang memiliki rentang periode dominan 0,10 – 0,25. Dimana pada daerah pengukuran terdiri atas batuan alluvial dengan ketebalan 5 m, terdiri dari *sandy-gravel*, *sandy hard clay*, *loam* dll, dengan karakter tanah yang sedang. Sedangkan data yang diperoleh pada pengukuran MT3 dan MT5 berada dalam klasifikasi tanah jenis IV menurut Kanai dan klasifikasi tanah jenis C menurut Omote – Nakajima yang terdiri dari batuan alluvial, yang terbentuk dari sedimentasi delta, top soil, lumpur dll, dengan kedalaman 30 meter atau lebih sehingga karakter tanah titik pengukuran tersebut sangat lunak. Hal tersebut juga sesuai dengan peta geologi pada gambar 2.1 dimana desa Sawaru kecamatan Camba kabupaten memiliki struktur batuan sedimen laut berselingan dengan gunung api, batu gamping, breksi, lava, tufa, konglomerat, diorit, kerikil, pasir, lempung, lumpur dan batugamping koral. Umumnya batua-batuan tersebut termasuk dalam kategori batuan yang kurang kuat, sehingga batuan tersebut akan mudah menjadi tanah bila mengalami proses

pelapukan dan umumnya rentang terhadap tanah longsor bila terdapat pada lereng yang terjal.

Dari pengolahan data HVSR nilai  $A_0$  diperoleh bersamaan dengan nilai  $f_0$ . Kedua parameter tersebut diambil pada puncak yang sama dari kurva H/V. Rentang nilai amplifikasi berkisar antara 1,79 – 4,42. Sebaran nilai amplifikasi bervariasi dari beberapa titik pengukuran. Nilai amplifikasi yang paling banyak muncul adalah 3 Hz. Dimana berdasarkan nilai amplifikasinya, sebaran ketebalan sedimen disekitar penelitian merupakan daerah yang memiliki ketebalan sedimen sedang. Berdasarkan nilai amplifikasi daerah penelitian yang memiliki ketebalan sedimen terbesar ialah pada titik mikrotremor 5 sedangkan daerah penelitian yang memiliki ketebalan sedimen tipis terletak pada titik MT7.

Dari tabel 4.1 pada nilai amplifikasi yang diperoleh terdapat beberapa titik yang memiliki nilai amplifikasi yang lebih dari 3, yaitu pada MT1, MT2, MT5, MT8 dan MT9. Menurut Nakamura, dkk (2000) apabila pada ke lima titik tersebut dibangun bangunan maka bangunan yang dibangun tersebut memiliki resiko paling besar terjadinya kerusakan. Setelah diperoleh nilai frekuensi dominan dan nilai amplifikasi maka nilai indeks kerentanan seismik pada daerah penelitian dapat ditentukan dengan menggunakan persamaan 2.5. Dimana nilai kerentanan seismik pada daerah penelitian berkisar antara 0,48 – 26,76. Nilai kerentanan seismik tertinggi diperoleh pada titik MT5 dan nilai kerentanan seismik terendah adalah MT7. Berdasarkan penelitian Refrizon, dkk., (2013) nilai indeks kerentanan seismik yang tinggi terdapat pada MT5 dan nilai indeks kerentanan seismik sedang terdapat pada MT3. Rata-rata nilai indeks kerentanan seismik

yang diperoleh pada penelitian ini  $<3$  yaitu pada MT1, MT2, MT4, MT6, MT7, MT8, MT9 dan MT10 yang merupakan indeks kerentanan seismik yang kecil. Rendahnya nilai indeks kerentanan seismik ( $K_g$ ) di area ini jika dihubungkan, maka jika terjadi guncangan gempa bumi lokasi daerah penelitian relatif aman dari guncangan gempa bumi.

Berdasarkan dari nilai frekuensi dominan juga dapat diperoleh nilai dari ketebalan sedimen daerah penelitian dengan menggunakan persamaan (2.2) Dimana pada penelitian tersebut nilai ketebalan sedimen yang diperoleh berkisar antara 22,97 – 260,27. Dimana nilai ketebalan sedimen terbesar juga terdapat pada MT5 dan MT3. Ketebalan sedimen tipis terletak pada MT4 dan MT7. Berdasarkan penelitian yang dilakukan Arifti (2014) data hasil pengukuran mikrotremor pada tabel 4.1 ketebalan sedimen pada pengukuran MT1, MT2, MT4, MT6, MT7, MT8, MT9 dan MT10 tergolong dalam batuan aluvial yang terdiri dari pasir berkerikil, pasir berlempung keras, tanah liat dan lempung, sedangkan ketebalan sedimen pada pengukuran MT3 dan MT5 tergolong dalam aluvial hasil dari sedimen delta top soil dan lumpur. Dimana jenis tanah yang diperoleh pada pengukuran ini merupakan jenis tanah yang kurang padat dan tebal dimana menurut Nandi (2007) jenis tanah yang kurang padat dan tebal adalah tanah lempung atau tanah liat dengan ketebalan lebih dari 2,5 m dari sudut lereng lebih dari 220 m. Tanah jenis ini memiliki potensi untuk terjadinya tanah longsor terutama bila terjadi hujan.

## **BAB V**

### **PENUTUP**

#### **5.1 Kesimpulan**

Berdasarkan penelitian yang telah dilaksanakan maka dapat disimpulkan bahwa titik pengukuran yang memiliki potensi longsor terbesar ialah pada titik pengukuran yang memiliki nilai frekuensi dominan terkecil dengan besar frekuensi dominan sebesar 0,73 Hz dan titik pengukuran yang memiliki potensi longsor terkecil ialah pada titik pengukuran yang memiliki nilai frekuensi dominan terbesar dengan besar frekuensi dominan sebesar 8,27 Hz . Nilai frekuensi dominan yang paling banyak muncul adalah 5 Hz.

#### **5.2 Saran**

Saran yang diberikan penelitian selanjutnya disarankan menambahkan titik pengukuran diseluruh wilayah kecamatan Camba sehingga dapat dipetakan daerah yang rawan longsor dan daerah yang tidak rawan longsor.

## DAFTAR PUSTAKA

- Abu, Bakri. *Analisis Ground Shear Strain dengan Metode HVSR Di Kabupaten Kulonprogo Daerah Istimewa Yogyakarta*. Yogyakarta: Universitas Negeri Yogyakarta, 2014.
- Al-Mahali, Imam Jalaluddin dan As-Suyuti, Imam Jalaluddin. *Tafsir Jalalain*. Bandung: Sinar Baru Algensindo, 2009
- Arif, Firman Nur. *Analisis Kerawanan Tanah Longsor Untuk Menentukan Upaya Mitigasi Bencana Di Kecamatan Kemiri Kabupaten Purworejo*. Semarang: Universitas Negeri Semarang, 2015.
- Arifti, Frisca Wahyu. *Identifikasi Potensi Bahaya Seismik Berdasarkan Faktor Amplifikasi Tanah Dan Ketebalan Sedimen Menggunakan Mikrotremordi Kecamatan Pacitan, Kabupaten Pacitan, Jawa Timur*. Yogyakarta : UIN Sunan Kalijaga, 2014.
- Asrori, Ahmad Dafid Hasim. *Mikrotremor Solusi Mitigasi Daerah Rawan Gempa Bumi Dan Longsor Di Indonesia*. Surabaya: Institut Teknologi Sepuluh Nopember, 2014.
- Badan Penanggulangan Bencana Daerah (BPBD) Maros . *Peta Rawan Longsor Kota Maros*, 2015.
- Bard, P.Y., *Lecture Notes On Seismology, Seismic Hazard Assessment and Risk Mitigation*, International Training Course, Postdam, h.160. 2000.
- Bard, P.Y., *Mikrotremor measurement: a tool for site estimates. States of the art paper, second Internasional Symposium on the Effect Surface Geology on seismic Motion*, Yokohama, Desember 1-3, 1998, pp. 1252-1279, 1999.
- BMKG. *Sumberdaya Geologi*. Buletin Meteorologi dan Geofisika No. 4. BMKG. Jakarta, 1998.
- Daryono. *Data Mikrotremor Dan Pemanfaatannya Untuk Pengkajian Bahaya Gempabumi*. Badan Metereologi dan Geofisika, 2001.
- Daryono. *Indeks Kerentanan Seismik Berdasarkan Mikrotremor pada setiap satuan bentuklahan di Zona Graben Bantul, Daerah Istimewa Yogyakarta, Disertasi, Program Pascasarjana Fakultas Geografi, Universitas Gadjah Mada*. Yogyakarta, 2011.
- Diandong, R, R. Fu, L.M. Leslie, and R.E. Dickinson. *Predicting Storm-triggered Landslides*. Bull. Amer.Meteor.Soc.,92, 129-139, 2011.
- Dinas Pertambangan dan Energi Kabupaten Maros, 2010.

- Gosar, A. *Microtremor HVSR Study for Assessing Side effect in the Bovec Basin (NW Slovenia) Related to 1998 MW, 5.6 and 2004 MW 5, 2 Earthquake*. Elsevier Engineering Geology 91 (2007) 178-193, 2007
- Hardiyatmo. *Penanganan Tanah Longsor dan Erosi*. Yogyakarta: Gadjah Mada University Press, 2006.
- Hudzaifi. *Al-Qur'an dan Terjemahannya*. Bandung: Medika Departemen Agama RI, 2016.
- Hung, H dan Tseng, Y. *Characteristics of soil liquefaction using H/V of microtremor in Yuan-Lin area, Taiwan*. TAO, Vol.13, No. 3,325-338, 2002.
- Husain, Ratna. *Geokimia Mineral Lempung dan Implikasinya terhadap Gerakan Tanah*. Makassar: Universitas Hasanuddin, 2015.
- Iman Jalaluddin Al-Mahalli dan Iman Jalaluddin As-Suyuthi. *Tafsir Jalalain*. Bandung: Sinar Baru.
- Lachet, C., dan Brad, P. Y. *Numerical and Theoretical Investigation on The Possibilities and Limitations of Nakamura's Technique*. J. Phys. Earth, 42, 377-397, 1994.
- Lermo, Javier & Chavez-Garcia, Francisco J. *Site Effect Evaluation Using Spectral Ratios with Only One Station*. America: Bulletin of Seismological Society of America, Vol. 83, no. 5, 1993.
- Mirzaoglu, Mete. & Dykmen, Unal. *Application of microtremors to seismic microzoning procedure*. Balkan Journal of the Balkan Geophysical. Vol. 6, No. 3. Hlm. 143 – 156, 2003
- Mudamakin, Philips Bramantia, dkk. *Studi Awal Respon Dinamis Berdasarkan Pengukuran Mikrotremor di Bendungan Karangates Malang*. Malang: Badan Meteorologi Klimatologi dan Geofisika, 2015.
- Nandi. *Longsor*. Jurusan Pendidikan Geografi. Bandung. FPIPS-UPI, 2007.
- Nakamura, Y. *A Method for Dynamic Characteristics Estimation of Subsurface using Microtremor on the Ground Surface*. Japan: Quarterly Report of Railway Technical Research Institute (RTRI), Vol. 30, No.1, 1989
- Nakamura, Y. *Clear Identification of Fundamental Idea of Nakamura's Technique and Its Application*. World Conference of Earthquake Engineering, 2000.
- Nakamura Y. dan Saito A., *Estimation of Amplification Characteristics of Surface Ground and PGA Using Strong Motion Records in Japan*, Proc. 17th JSCE Earthquake Engineering Symposium, 25-28, 1983.

- Nakamura, Y. *On The H/V Spectrum. The 14<sup>th</sup> World Conference On Earthquake Enginering. Oktober 12-17, 2008, Beijing, China, 2008.*
- Priyanto, Joko, dkk. *Rancang Bangun Peringatan Bahaya Longsor dan Monitoring Pergeseran Tanah menggunakan komunikasi berbasis GSM Vol.1 No.2.* Riau: Politeknik Caltex Riau, 2005.
- Putra, Desta Mayor Andika. *Indeks Kerentanan Seismik Kabupaten Kulon Progo berdasarkan data mikrotremor.* Yogyakarta: Pusat Pengembangan Instruktusional, 2014.
- Refrizon, dkk. *Analisis Percepatan Getaran Tanah Maksimum dan Tingkat Kerentanan Seismik Daerah Ratu Agung Kota Bengkulu.* Lampung: Universitas Lampung, 2013.
- Roser, J. dan Gosar, A. *Determination of Vs30 for seismic ground classifications in the Ljubljana area.* Slovenia: Acta Geotechnica Slovenia, 2010.
- Saita, dkk. *On Relationship Between The Estimated Strong Motion Characteristic of Surface Layer and The Earthquake Damage- Case Study at Intramuros, Metro Manila, Paper No. 905, 13th World Conference on Earthquake Engineering, Vancouver, B.C., Canada, 2004.*
- Sears WF dan Zemansky WM. *Fisika Untuk Universitas.* Jakarta: Binacipta, 1994
- SESAME European reseach project. *Guidelines for the Implementation of the H/V Spectral Ratio Technique On Ambient Vibrations Measurements, Processing And Interpretation.* WP12 – Deliverable D23.12, 2004.
- Shihab, M Quraish. *Tafsir Al-Misbah.* Jakarta: Lentera hati, 2002.
- Soenarmo, S.H, I. A. Sadisun dan E. Satohartono. *Kajian Awal Pengaruh Curah Hujan Terhadap Pendugaan Potensi Tanah Longsor berbasis Spasial di Kabupaten Bandung Jawa Barat Volume 3 Nomor 3.* Bandung: Jurnal Geoaplika, 2008.
- Subardjo. *Parameter Gempabumi.* Jakarta: Materi Diklat Teknis, BMG, 2008
- Sugito, dkk. *Rancang Bangun Sistem Pengukuran Pergeseran Tanah Menggunakan Sensor Variabel Resistor Vol. 18, No.1.* Karangwangkal Purwokerto: Universitas Jenderal Soedirman dan Unseod, 2015.
- Sugiharyanto, dkk. *Diktat Mata Kuliah Geografi Tanah.* Yogyakarta: Universitas Negeri Yogyakarta, 2009.
- Suhendra. *Penyelidikan daerah rawan gerakan tanah dengan metode geolistrik tahanan jenis (studi kasus: longsor di desa Cikukun).* Bengkulu: Universitas Bengkulu, 2015.

- Suraya dan Novianta, M Andang. *Sistem Informasi Data Base Multi – Node Pemantauan pergeseran Tanah Berbasis SMS Gateway dan Berorientasi Visual pada Komputer Vol. 10, No. 1*. Yogyakarta: Institut Sains dan Teknologi AKPRIND Yogyakarta, 2016.
- Suripin. *Pelestarian Sumberdaya Tanah dan Air*. Yogyakarta : Andi, 2002.
- Surono. *Potensi Bencana Geologi di Kabupaten Garut*. Prosiding Semiloka Mitigasi Bencana Longsor di Kabupaten Garut. Pemerintah Kabupaten Garut, 2003.
- Sutikno. *Penanggulangan Tanah Longsor*. Jakarta: Bahan Penyuluhan Bencana Alam Gerakan Tanah, 1997.
- Sutrisna, Ma' Sum, dkk. *Metode Mikrotremor untuk Mikroonasi Gempa Bumi di Kota Cilacap*. Bandung: Universitas Pendidikan Indonesia, 2015.
- Syahrudin, dkk. *Penentuan Profil Ketebalan Sedimen Litasan Kota Makassar dengan Mikrotremor*. Jurnal Fisika Vol. 4 No. 1. Makassar: Universitas Hasanuddin, 2014
- Syamsuddin. *Pengantar Geologi Dasar*. Makassar: Universitas Hasanuddin, 2009.
- Tokimatsu, K. *S-wave velocity profiling by joint inversion of microtremor H/V spectrum*. Bulletin of the Seismological Society of America No.94(1), 2004.
- Wahyudi. *Aplikasi Mikroseismik untuk memindai dan mengidentifikasi keberadaan Hidrokarbon*. Yogyakarta: Berkala Ilmiah MIPA Volume 18 (2), 2008.
- Wahyu, dkk. *Profiling Kecepatan Gelombang Geser (Vs) menggunakan Inversi Spektrum Horizontal-to-Spectral Ratio (HVSR)*, Jurnal Teknik Pomits Vol.1, No.1,(2013) 1-6, 2013.
- Wangsadinata, W. *Perencanaan Bangunan Tahan Gempa Berdasarkan SNI 1726-2002*. Jakarta: Shortcourse HAKI 2006, 2006.
- Wibowo, Nugroho Budi. *Spatial Analysis of Surface Aquifer Thickness Based Frequency Predominant in Bantul District*. Yogyakarta: Indonesia Journal of Applied Physics, 2015.
- Yusuf, Nanang Firman Safari. *Kajian Pemanfaatan Ruang dalam kaitannya dalam bencana Tanah Longsor di Kabupaten Sinjai Provinsi Sulawesi Selatan*. Bogor: Institut Pertanian Bogor, 2008.

## RIWAYAT HIDUP



Nirmayanti, yang akrab disapa Nirma dilahirkan di desa Maggenrang Kec. Kahu Kab. Bone Sulawesi Selatan pada tanggal 28 Agustus 1995. Merupakan anak pertama dari tiga bersaudara, buah hati dari pasangan Madewing dan Rohani. Gadis Yang menyukai warna biru ini, mulai mengenakan pakaian putih-merah di SD Inpres 10/73 palattae, pada tahun 2001. Tamat pada tahun 2007, dan melanjutkan ke Sekolah Menengah Pertama (SMP Negeri 1 Kahu) dan lulus pada tahun 2010, dan pada tahun yang sama penulis melanjutkan lagi pendidikannya di Sekolah Menengah Atas (SMA Negeri 1 Kahu) dan lulus pada tahun 2013. Kini penulis melanjutkan pendidikan keperguruan tinggi di Universitas Islam Negeri (UIN) Alauddin Makassar, Jurusan Fisika Fakultas Sains dan Teknologi.

Pada jenjang tersebut disamping aktifitas kuliah juga aktif diberbagai organisasi ekstra dan intra yakni pada tahun 2015 sebagai Pengurus HMJ Fisika dan Kordinator Kesekretariatan di Lembaga Dakwah Fakultas. Pada tahun 2016 menjabat sebagai bendahara Umum Senat Mahasiswa Fakultas Sains dan Teknologi. Selain itu juga aktif di organisasi lainnya seperti HMI dan aktif di Organisasi sesial Komunitas Pengajar Anak Panti. Disamping itu, selain kuliah dan organisasi sejak semester III penulis aktif di Laboratorium Fisika sebagai asisten laboratorium. Dan sempat memegang beberapa Laboratorium Fisika seperti Laboratorium Fisika Dasar, Laboratorim Elektronika dan Laboratorium Instrumentasi. Semoga jurusan Fisika ini nantinya dapat membawa penulis menuju tangga kesuksesan. Aamiin...



**LAMPIRAN – LAMPIRAN**

UNIVERSITAS ISLAM NEGERI  
**ALAUDDIN**  
M A K A S S A R

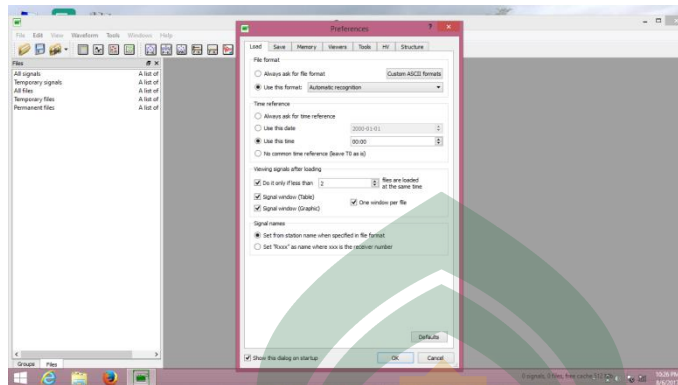


**LAMPIRAN**  
**HASIL PENGOLAHAN DATA**

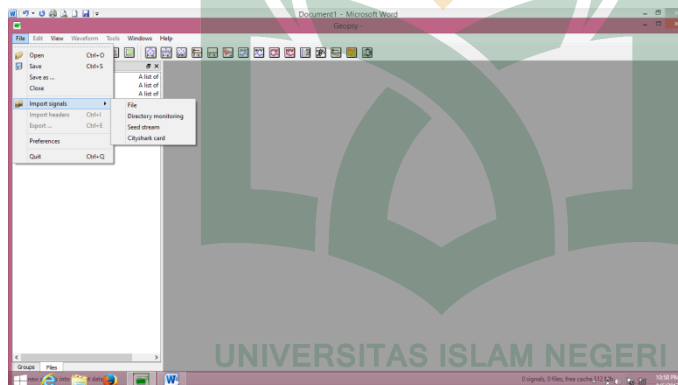
UNIVERSITAS ISLAM NEGERI  
**ALAUDDIN**  
M A K A S S A R

Prosedur Analisis data mikrotremor pada *software geopsy*:

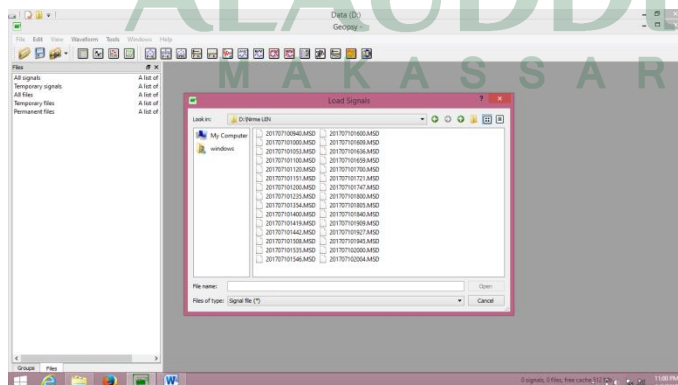
1. Membuka aplikasi software geopsy, maka akan muncul tampilan sebagai berikut:



2. Mengklik Ok, kemudian klik *file open* → *import signals* → file dan cari penyimpanan data titik lokasi pengukuran.

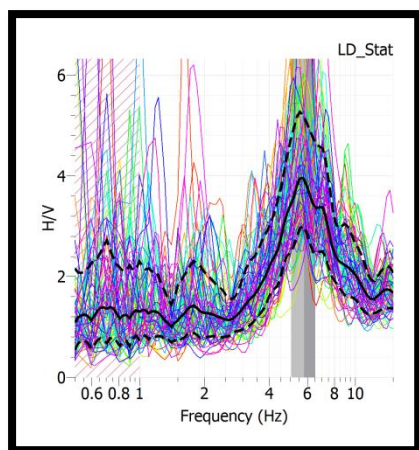
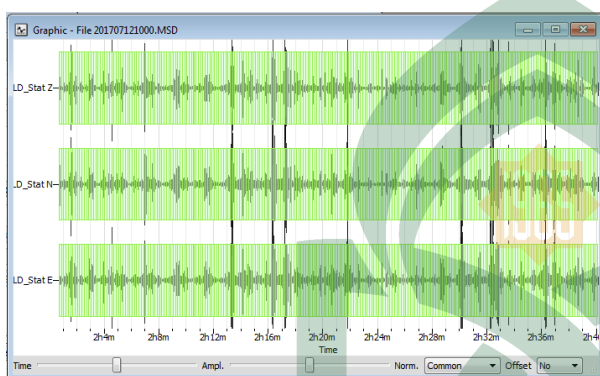
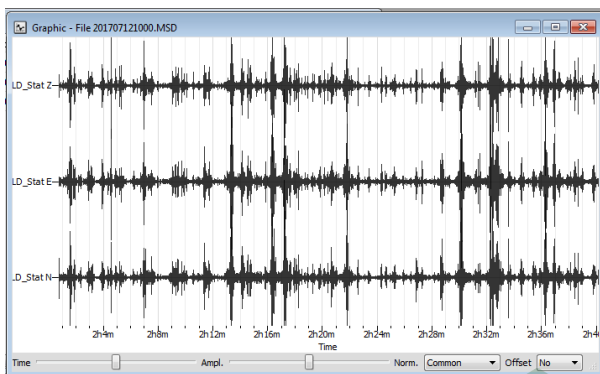


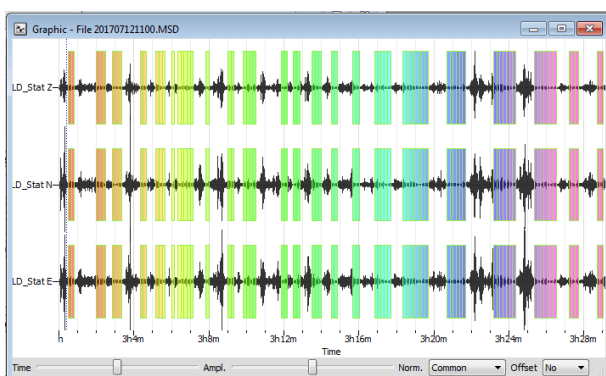
3. Mencari dalam bentuk dat kemudian diblok dan mengklik *open*



4. Kemudian akan muncul data-data seperti berikut, begitu pun untuk tiap titik-titik selanjutnya

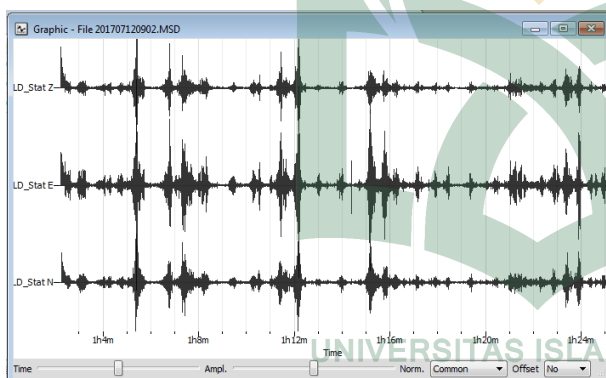
### MIKROTREMOR I

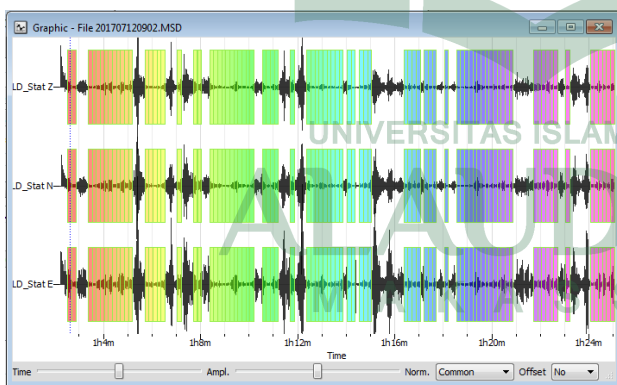
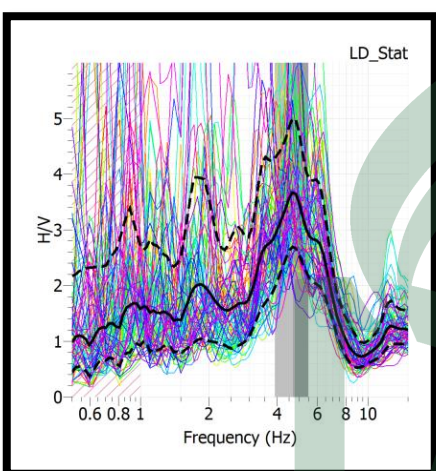
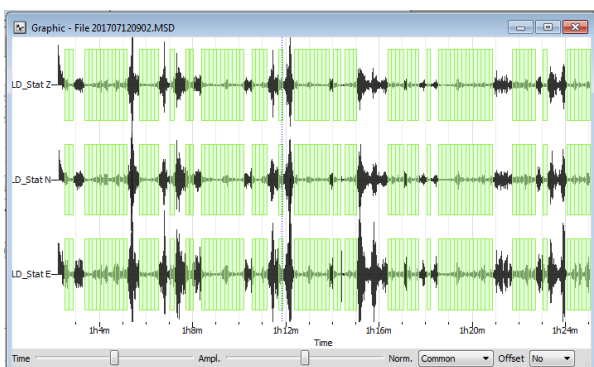




ID	Name	Component	Time reference	Start time	End time	Sampling frequency	dt	N samples	Duration	Rec x	Rec y	Rec z	Type	
1	10	LD_Stat	Vertical	12/07/2017 00:00:00	3h	3h29m7.000000s	100	0,01	174700	29m7.000000s	0	0	0	Waveform
2	11	LD_Stat	East	12/07/2017 00:00:00	3h	3h29m7.000000s	100	0,01	174700	29m7.000000s	0	0	0	Waveform
3	12	LD_Stat	North	12/07/2017 00:00:00	3h	3h29m7.000000s	100	0,01	174700	29m7.000000s	0	0	0	Waveform

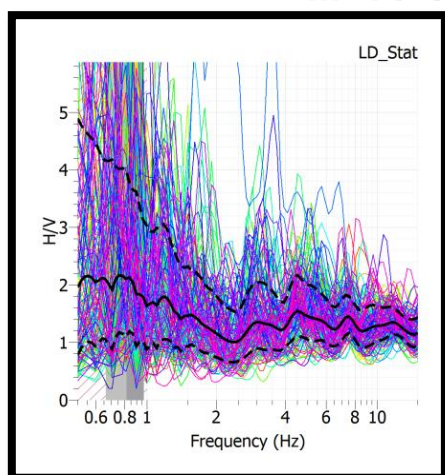
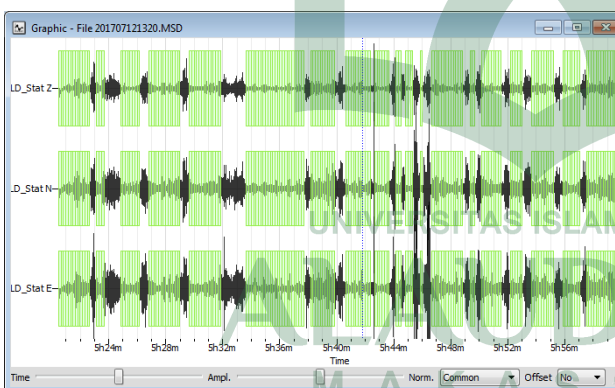
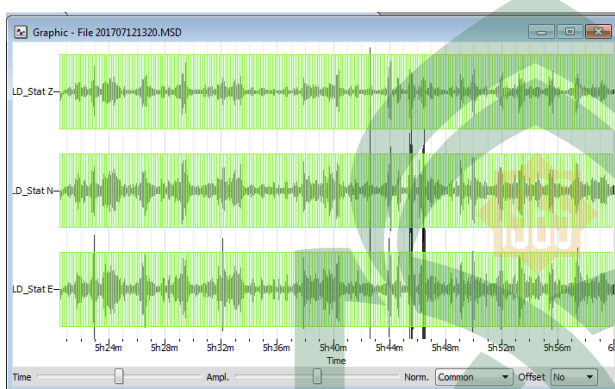
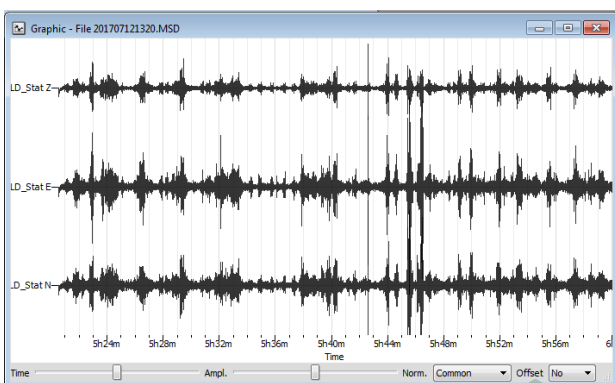
## MIKROTREMOR 2

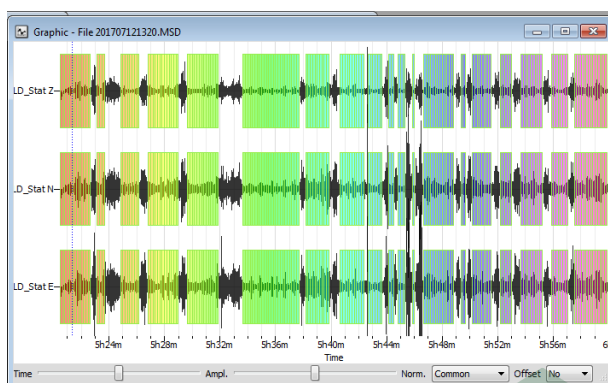




ID	Name	Component	Time reference	Start time	End time	Sampling frequency	dt	N samples	Duration	Rec x	Rec y	Rec z	Type	
1	16	LD_Stat	Vertical	12/07/2017 00:00:00	1h2m12.000000s	1h25m4.000000s	100	0,01	137200	22m52.000000s	0	0	0	Waveform
2	17	LD_Stat	East	12/07/2017 00:00:00	1h2m12.000000s	1h25m4.000000s	100	0,01	137200	22m52.000000s	0	0	0	Waveform
3	18	LD_Stat	North	12/07/2017 00:00:00	1h2m12.000000s	1h25m4.000000s	100	0,01	137200	22m52.000000s	0	0	0	Waveform

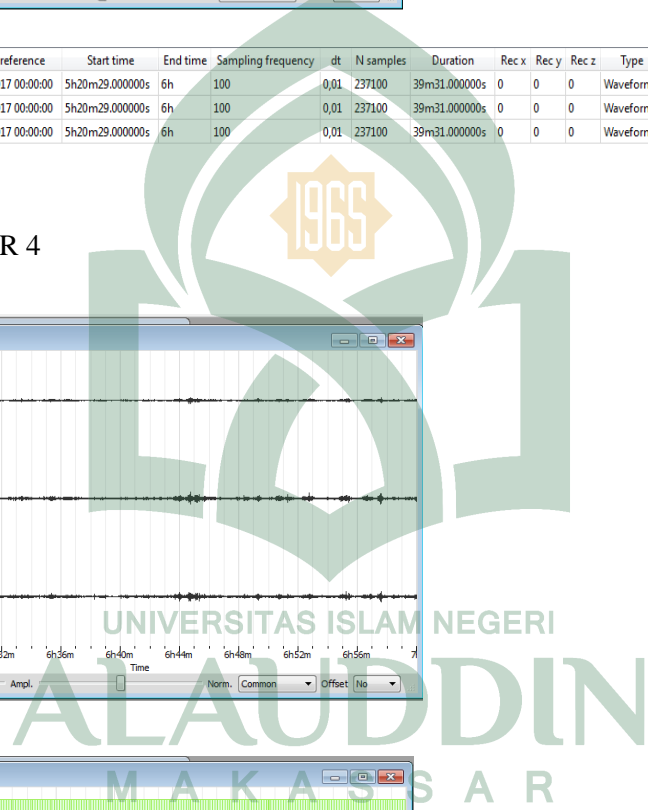
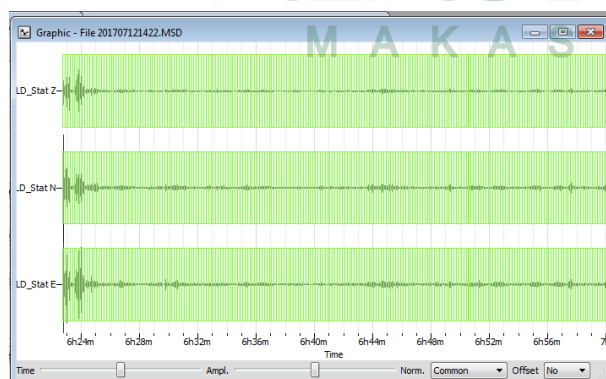
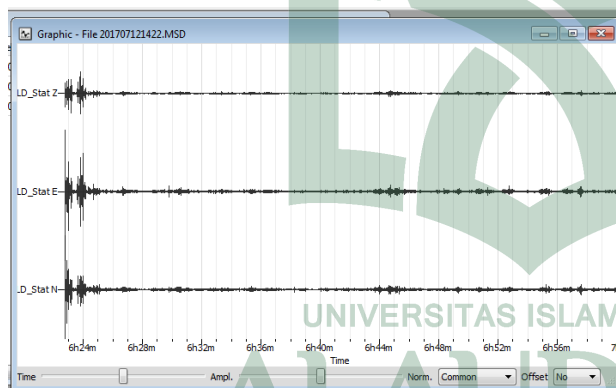
### MIKROTREMOR 3

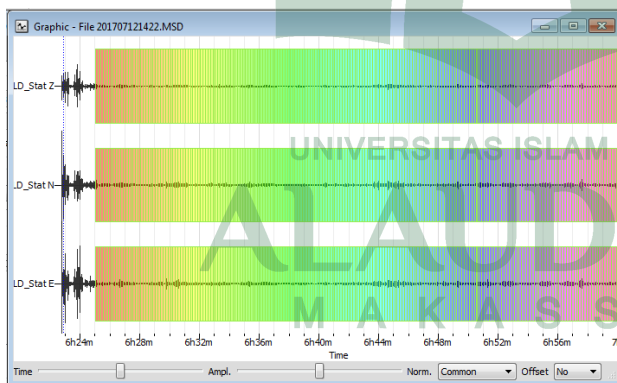
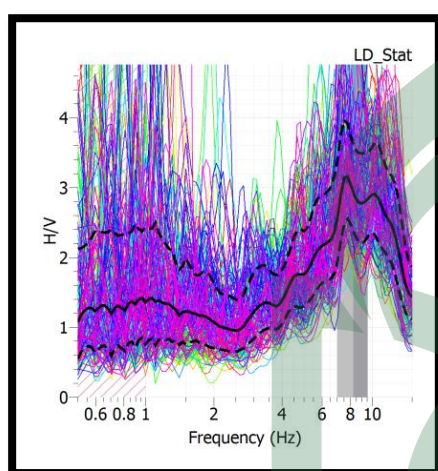
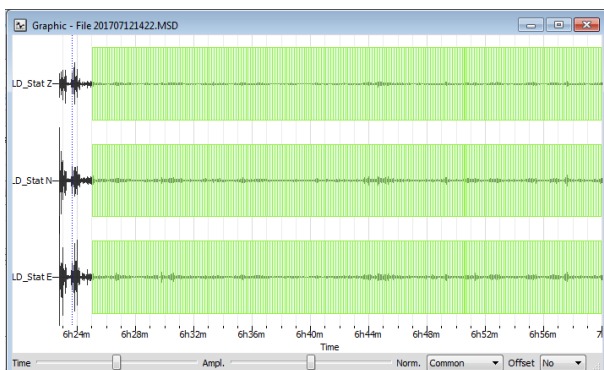




ID	Name	Component	Time reference	Start time	End time	Sampling frequency	dt	N samples	Duration	Rec x	Rec y	Rec z	Type	
1	31	LD_Stat	Vertical	12/07/2017 00:00:00	5h20m29.000000s	6h	100	0,01	237100	39m31.000000s	0	0	0	Waveform
2	32	LD_Stat	East	12/07/2017 00:00:00	5h20m29.000000s	6h	100	0,01	237100	39m31.000000s	0	0	0	Waveform
3	33	LD_Stat	North	12/07/2017 00:00:00	5h20m29.000000s	6h	100	0,01	237100	39m31.000000s	0	0	0	Waveform

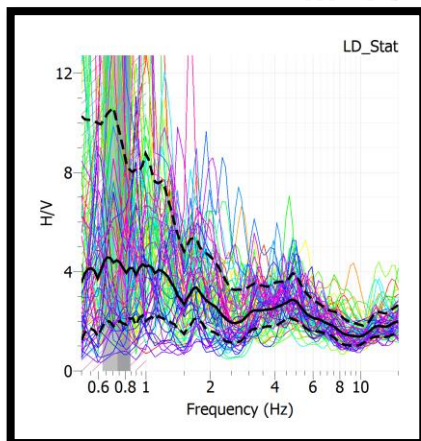
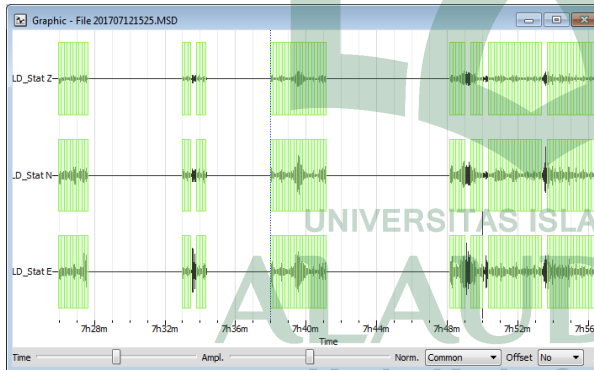
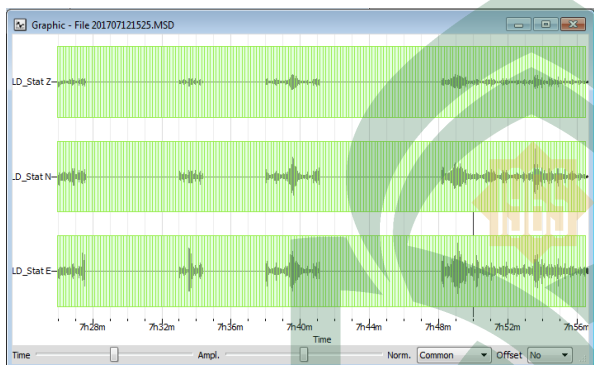
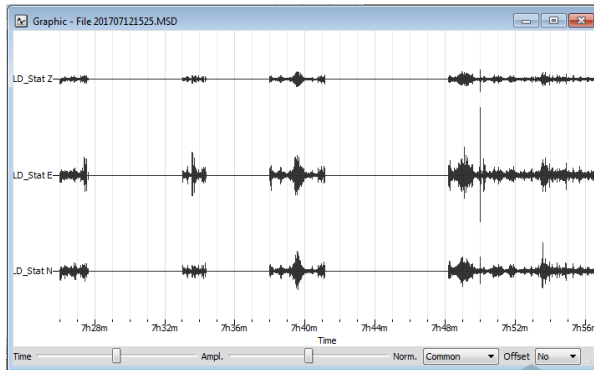
#### MIKROTREMOR 4

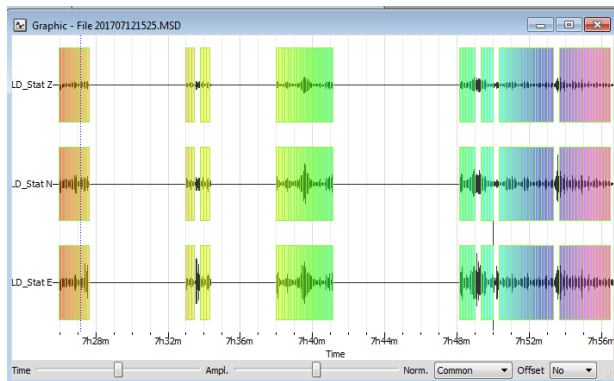




ID	Name	Component	Time reference	Start time	End time	Sampling frequency	dt	N samples	Duration	Rec x	Rec y	Rec z	Type	
1	22	LD_Stat	Vertical	12/07/2017 00:00:00	6h22m43.000000s	7h	100	0,01	223700	37m17.000000s	0	0	0	Waveform
2	23	LD_Stat	East	12/07/2017 00:00:00	6h22m43.000000s	7h	100	0,01	223700	37m17.000000s	0	0	0	Waveform
3	24	LD_Stat	North	12/07/2017 00:00:00	6h22m43.000000s	7h	100	0,01	223700	37m17.000000s	0	0	0	Waveform

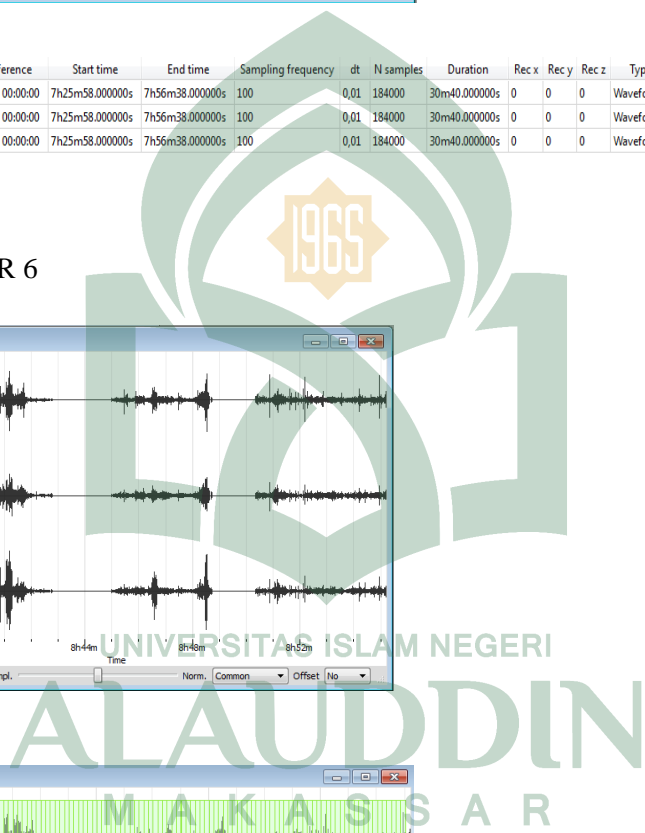
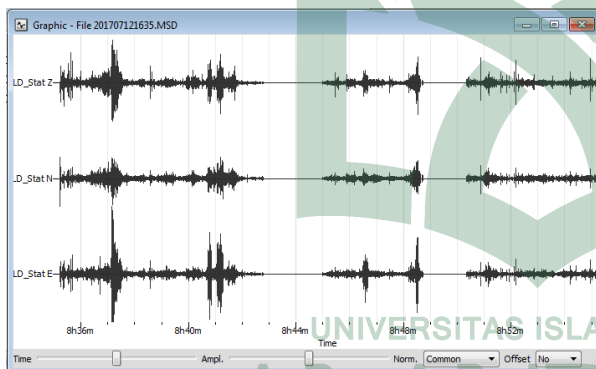
### MIKROTREMOR 5

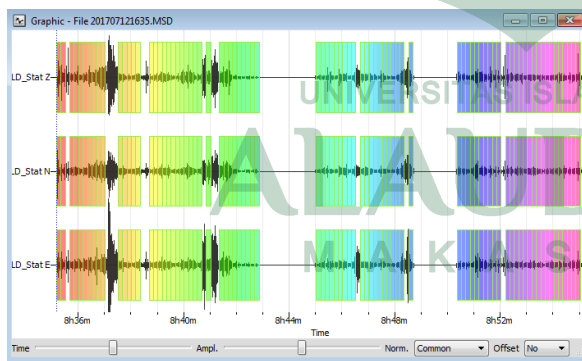
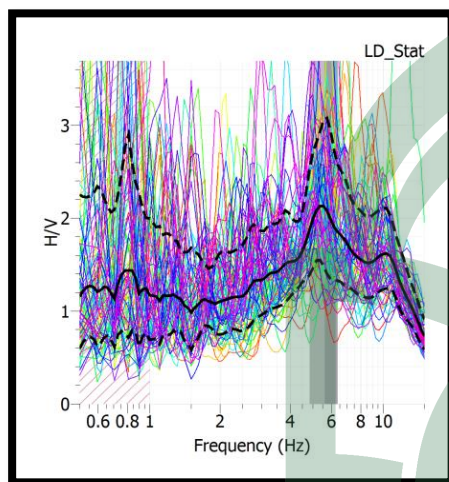




ID	Name	Component	Time reference	Start time	End time	Sampling frequency	dt	N samples	Duration	Rec x	Rec y	Rec z	Type
1 28	LD_Stat	Vertical	12/07/2017 00:00:00	7h25m58.000000s	7h56m38.000000s	100	0,01	184000	30m40.000000s	0	0	0	Waveform
2 29	LD_Stat	East	12/07/2017 00:00:00	7h25m58.000000s	7h56m38.000000s	100	0,01	184000	30m40.000000s	0	0	0	Waveform
3 30	LD_Stat	North	12/07/2017 00:00:00	7h25m58.000000s	7h56m38.000000s	100	0,01	184000	30m40.000000s	0	0	0	Waveform

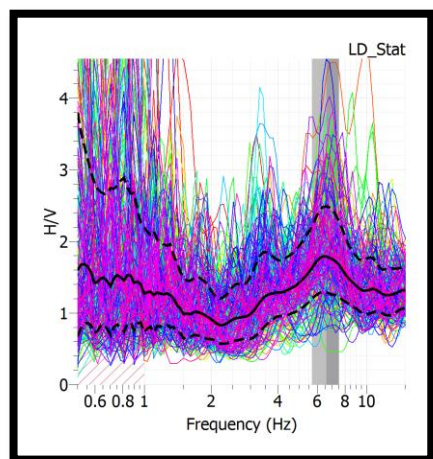
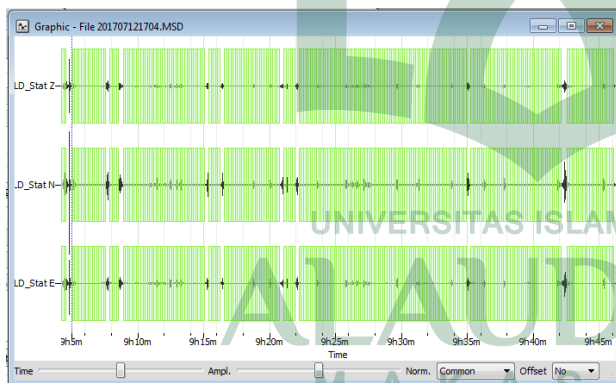
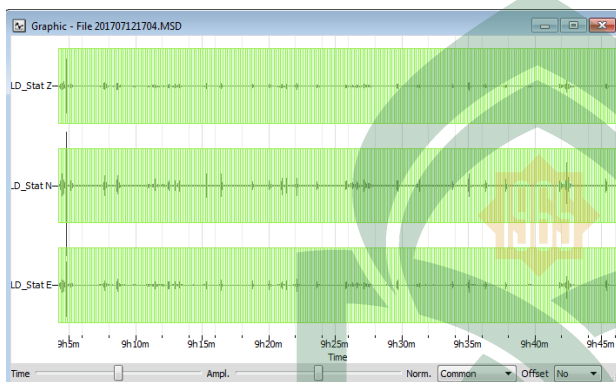
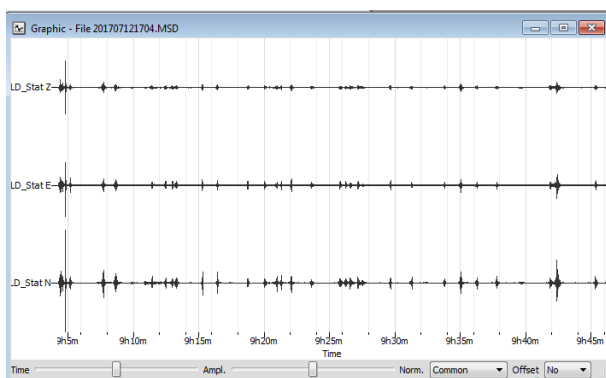
### MIKROTREMOR 6

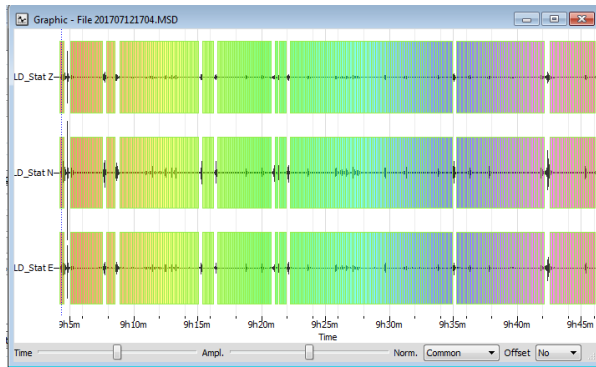




ID	Name	Component	Time reference	Start time	End time	Sampling frequency	dt	N samples	Duration	Rec x	Rec y	Rec z	Type	
1	34	LD_Stat	Vertical	12/07/2017 00:00:00	8h35m11.000000s	8h55m12.000000s	100	0,01	120100	20m1.000000s	0	0	0	Waveform
2	35	LD_Stat	East	12/07/2017 00:00:00	8h35m11.000000s	8h55m12.000000s	100	0,01	120100	20m1.000000s	0	0	0	Waveform
3	36	LD_Stat	North	12/07/2017 00:00:00	8h35m11.000000s	8h55m12.000000s	100	0,01	120100	20m1.000000s	0	0	0	Waveform

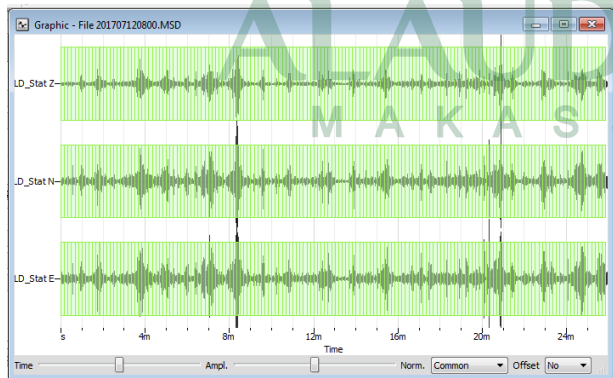
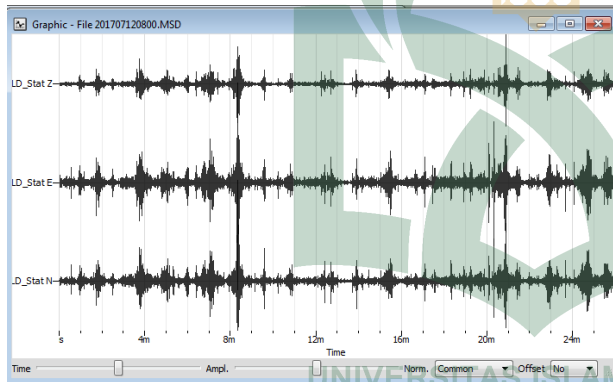
### MIKROTREMOR 7

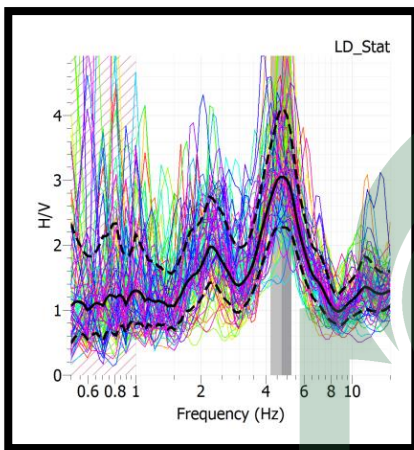




ID	Name	Component	Time reference	Start time	End time	Sampling frequency	dt	N samples	Duration	Rec x	Rec y	Rec z	Type	
1	37	LD_Stat	Vertical	12/07/2017 00:00:00	9h4m13.000000s	9h46m13.000000s	100	0,01	252000	42m	0	0	0	Waveform
2	38	LD_Stat	East	12/07/2017 00:00:00	9h4m13.000000s	9h46m13.000000s	100	0,01	252000	42m	0	0	0	Waveform
3	39	LD_Stat	North	12/07/2017 00:00:00	9h4m13.000000s	9h46m13.000000s	100	0,01	252000	42m	0	0	0	Waveform

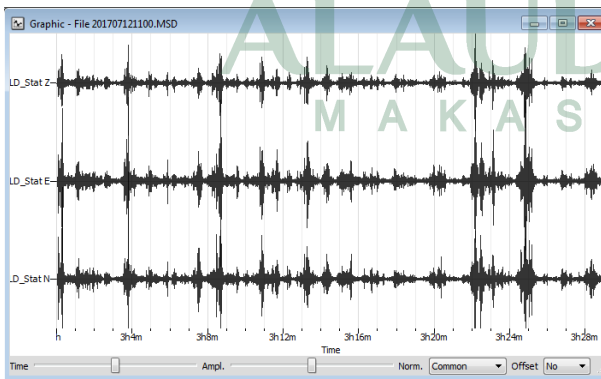
### MIKROTREMOR 8



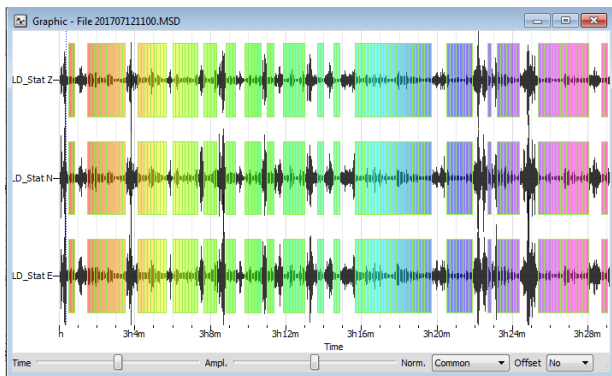
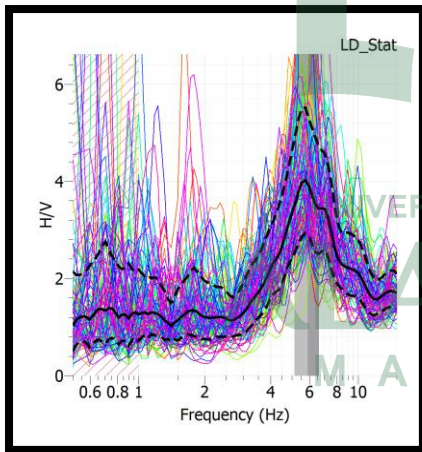
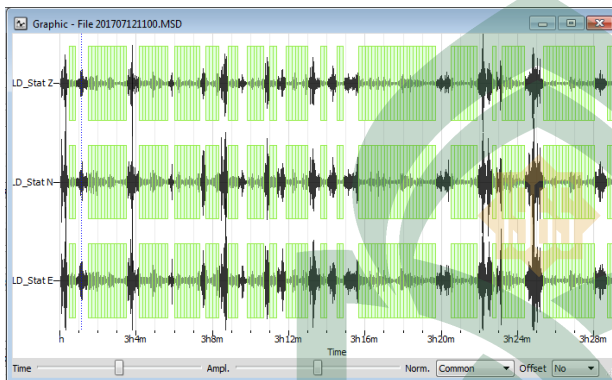
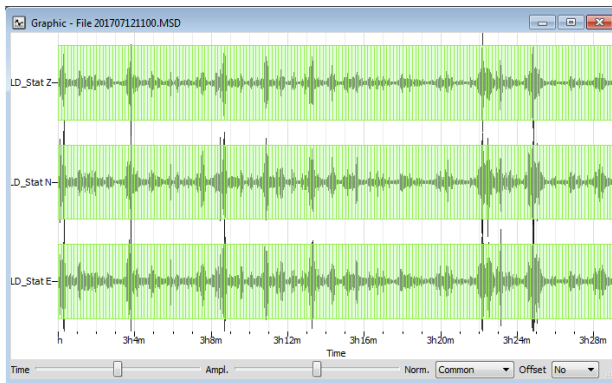


ID	Name	Component	Time reference	Start time	End time	Sampling frequency	dt	N samples	Duration	Rec x	Rec y	Rec z	Type
1 4	LD_Stat	Vertical	12/07/2017 00:00:00	0s	25m56.000000s	100	0,01	155600	25m56.000000s	0	0	0	Waveform
2 5	LD_Stat	East	12/07/2017 00:00:00	0s	25m56.000000s	100	0,01	155600	25m56.000000s	0	0	0	Waveform
3 6	LD_Stat	North	12/07/2017 00:00:00	0s	25m56.000000s	100	0,01	155600	25m56.000000s	0	0	0	Waveform

MIKROTREMOR 9

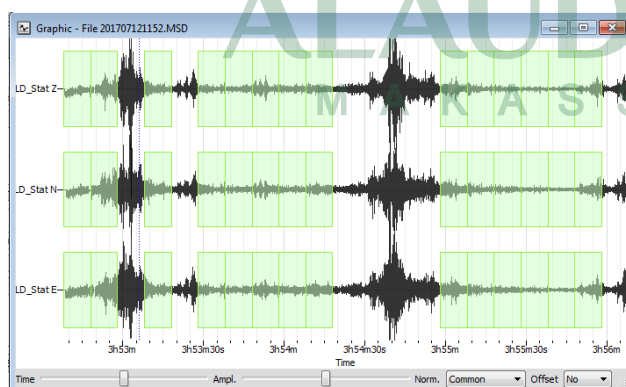
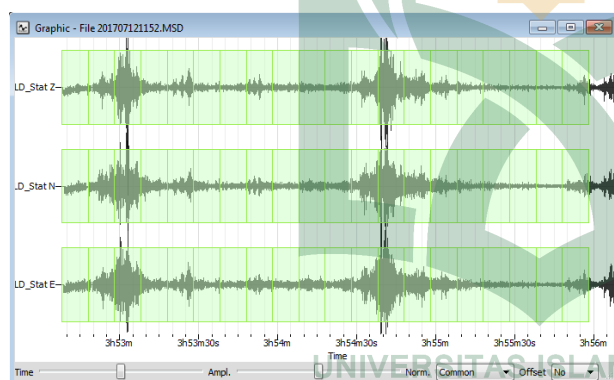
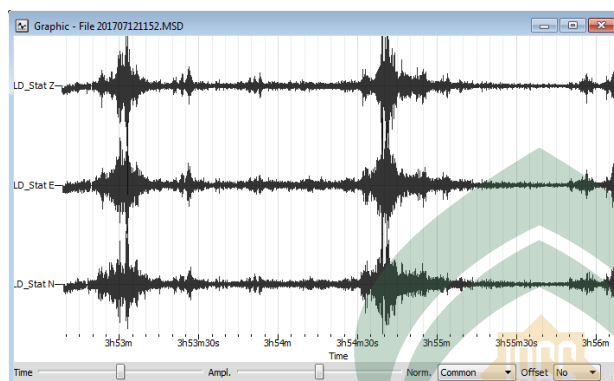


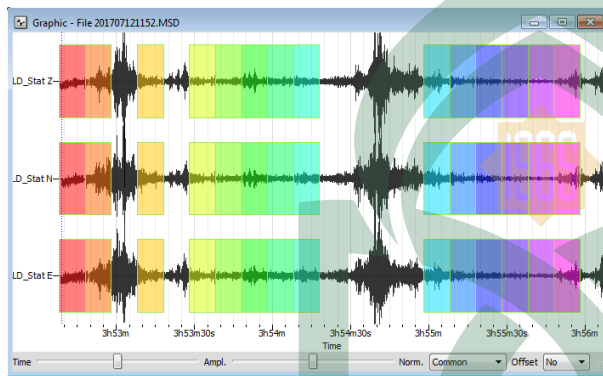
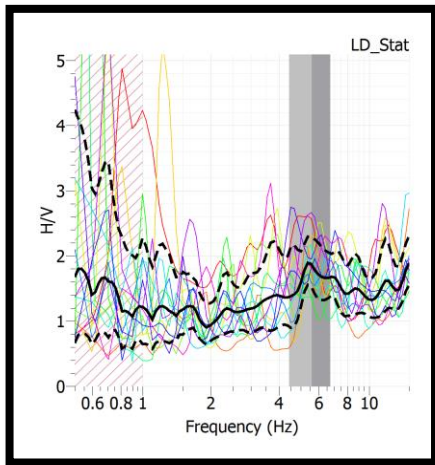
UNIVERSITAS ISLAM NEGERI  
**ALAUDDIN**  
 MAKASSAR



ID	Name	Component	Time reference	Start time	End time	Sampling frequency	dt	N samples	Duration	Rec x	Rec y	Rec z	Type	
1	16	LD_Stat	Vertical	12/07/2017 00:00:00	3h	3h29m7.000000s	100	0,01	174700	29m7.000000s	0	0	0	Waveform
2	17	LD_Stat	East	12/07/2017 00:00:00	3h	3h29m7.000000s	100	0,01	174700	29m7.000000s	0	0	0	Waveform
3	18	LD_Stat	North	12/07/2017 00:00:00	3h	3h29m7.000000s	100	0,01	174700	29m7.000000s	0	0	0	Waveform

## MIKROTREMOR 10





ID	Name	Component	Time reference	Start time	End time	Sampling frequency	dt	N samples	Duration	Rec x	Rec y	Rec z	Type	
1	22	LD_Stat	Vertical	12/07/2017 00:00:00	3h52m38.000000s	3h56m8.000000s	100	0,01	21000	3m30.000000s	0	0	0	Waveform
2	23	LD_Stat	East	12/07/2017 00:00:00	3h52m38.000000s	3h56m8.000000s	100	0,01	21000	3m30.000000s	0	0	0	Waveform
3	24	LD_Stat	North	12/07/2017 00:00:00	3h52m38.000000s	3h56m8.000000s	100	0,01	21000	3m30.000000s	0	0	0	Waveform



**LAMPIRAN**  
**ALAT DAN BAHAN**

UNIVERSITAS ISLAM NEGERI  
**ALAUDDIN**  
M A K A S S A R



Digital Portable Seismograph TDL 303S berfungsi untuk merekam getaran tanah pada setiap titik penelitian



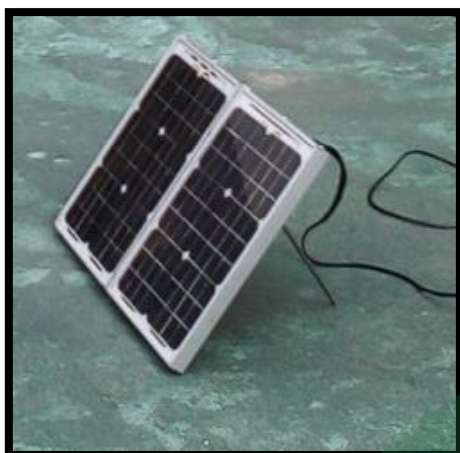
GPS antenna berfungsi untuk menentukan posisi pada setiap titik penelitian



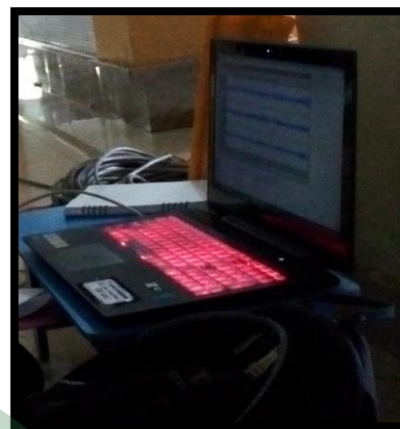
Seismometer mengukur getaran tanah pada setiap titik penelitian



Kabel berfungsi untuk menghubungkan beberapa instrumen seismograf



Solar cell berfungsi sebagai catu daya pada digitizer



Leptop berfungsi untuk akuisisi dan dan analisis data mikrotremor



GPS berfungsi untuk letak kordinat titik pengkuran dan arah pada saat memasang seismometer

UNIVERSITAS ISLAM NEGERI

ALAUDDIN

MAKASSAR



**LAMPIRAN**  
**KEGIATAN PENGUKURAN**

UNIVERSITAS ISLAM NEGERI  
**ALAUDDIN**  
M A K A S S A R



Mencari titik lokasi yang sesuai dengan peta titik lintasan yang telah dirancang sebelumnya.



Ketiga kaki seismometer bisa diberi landasan yang telah tersedia jika perlu, kemudian mengatur kaki-kaki tersebut dengan memutar kekiri ataupun kekanan menyesuaikan dengan posisi gelombung air supaya tepat ditengah-tengah (*leveling*) jika sudah, berarti posisi alat sudah rata dengan tanah.



Pemasangan kabel konektor dengan dengan dengan instrumen seismograf (Seismometer, GPS, digitalizer, laptop) sesuai dengan fungsinya masing-masing.



Meletakkan GPS di tempat yang terbuka tidak terhalang dengan sesuatu supaya langsung terhubung dengan satelit.



Mencatat data-data yang diperlukan pada format SESAME (koordinat latitude dan longitude), nama titik pengukuran, nama lokasi, waktu pengambilan data dan keadaan sekitar titik penelitian



Data yang diperoleh dari mikrotremor dibuka menggunakan software Datapro yang merupakan program dari alat seismograf TDS



Memperhatikan lampu indikator GPS di laptop apakah berfungsi dengan baik atau keadaan lingkungan barangkali ada yang menghalangi dari jangkauan satelit.



Rombongan Pengukuran Mikrotremmo



**LAMPIRAN**  
**RANCANGAN AWAL**  
**TITIK PENGUKURAN**

UNIVERSITAS ISLAM NEGERI  
**ALAUDDIN**  
M A K A S S A R



### Titik kordinat

MT1 : 4°54'41,50" LS, 119°51'20,5" BT

MT2 : 4°54'40,58" LS, 119°51'20,76" BT

MT3 : 4°54'41,74" LS, 119°51'16,01" BT

MT4 : 4°54'39,97" LS, 119°51'17,48" BT

MT5 : 4°54'38,81" LS, 119°51'19,41" BT

MT6 : 4°54'37,40" LS, 119°51'21,28" BT

MT7 : 4°54'39,28" LS, 119°51'23,02" BT

MT8 : 4°54'41,04" LS, 119°51'21,58" BT

MT9 : 4°54'42,66" LS, 119°51'19,98" BT

MT10 : 4°54'44,36" LS, 119°51'19,98" BT



**LAMPIRAN**  
**KONDISI LAPANGAN**  
**(SESAME)**

UNIVERSITAS ISLAM NEGERI  
**ALAUDDIN**  
M A K A S S A R

r 50 menit

DATE 12/07/17.		HOUR 09:50		PLACE MTL / 70 m Br		
OPERATOR Nirmayanti			GPS TYPE and #			
LATITUDE 4°54'41.9"		LONGITUDE 119°51'20.5"		ALTITUDE		
STATION TYPE		SENSOR TYPE				
STATION #		SENSOR #		DISK #		
FILE NAME				POINT #		
GAIN		SAMPL. FREQ Hz		REC. DURATION <span style="float:right">minutes seconds</span>		
WEATHER CONDITIONS	WIND	<input type="checkbox"/> none	<input type="checkbox"/> weak (5m/s)	<input checked="" type="checkbox"/> medium	<input type="checkbox"/> strong	Measurement (if any): _____
	RAIN	<input checked="" type="checkbox"/> none	<input type="checkbox"/> weak	<input type="checkbox"/> medium	<input type="checkbox"/> strong	Measurement (if any): _____
Temperature (approx): _____		Remarks _____				
GROUND TYPE	<input type="checkbox"/> earth ( <input type="checkbox"/> hard / <input type="checkbox"/> soft)	<input type="checkbox"/> gravel	<input type="checkbox"/> sand	<input checked="" type="checkbox"/> rock	<input type="checkbox"/> grass	( <input type="checkbox"/> short / <input type="checkbox"/> tall)
	<input type="checkbox"/> asphalt	<input type="checkbox"/> cement	<input type="checkbox"/> concrete	<input type="checkbox"/> paved	<input type="checkbox"/> other _____	
<input type="checkbox"/> dry soil		<input checked="" type="checkbox"/> wet soil		Remarks _____		
ARTIFICIAL GROUND-SENSOR COUPLING <input type="checkbox"/> no <input type="checkbox"/> yes, type _____						
BUILDING DENSITY <input type="checkbox"/> none <input type="checkbox"/> scattered <input type="checkbox"/> dense <input type="checkbox"/> other, type _____						
TRANSIENTS		none	few	moderate	many	very dense
	cars			<input checked="" type="checkbox"/>		
	trucks		<input checked="" type="checkbox"/>			
	pedestrians		<input checked="" type="checkbox"/>			
	other					
		distance				
MONOCHROMATIC NOISE SOURCES (factories, works, pumps, rivers...) <input type="checkbox"/> no <input type="checkbox"/> yes, type _____						
NEARBY STRUCTURES (trees, poles, buildings, bridges, underground structures) (descriptor, height, distance)						
OBSERVATIONS				FREQUENCY: _____ Hz (if computed in the field)		

09:24 → 09:02 - 09:25

DATE 12/07/17		HOUR 08:49:50		PLACE MT 2 / 10 m 2m jala		
OPERATOR Nirmayanti			GPS TYPE and #			
LATITUDE 4°59'40.4"		LONGITUDE 119°01'21.4"		ALTITUDE 16 km		
STATION TYPE		SENSOR TYPE				
STATION #		SENSOR #		DISK #		
FILE NAME				POINT #		
GAIN		SAMPL. FREQ Hz		REC DURATION <span style="float:right">minutes seconds</span>		
WEATHER CONDITIONS	WIND	<input type="checkbox"/> none	<input type="checkbox"/> weak (5m/s)	<input checked="" type="checkbox"/> medium	<input type="checkbox"/> strong	Measurement (if any): _____
	RAIN	<input type="checkbox"/> none	<input type="checkbox"/> weak	<input type="checkbox"/> medium	<input type="checkbox"/> strong	Measurement (if any): _____
Temperature (approx) _____		Remarks _____				
GROUND TYPE	<input type="checkbox"/> earth ( <input type="checkbox"/> level <input type="checkbox"/> soft)	<input type="checkbox"/> gravel	<input type="checkbox"/> sand	<input checked="" type="checkbox"/> rock	<input type="checkbox"/> grass	<input type="checkbox"/> short <input type="checkbox"/> tall
	<input type="checkbox"/> asphalt	<input type="checkbox"/> cement	<input type="checkbox"/> concrete	<input type="checkbox"/> paved	<input type="checkbox"/> other _____	
<input type="checkbox"/> dry soil		<input checked="" type="checkbox"/> wet soil		Remarks _____		
ARTIFICIAL GROUND-SENSOR COUPLING <input type="checkbox"/> no <input type="checkbox"/> yes, type _____						
BUILDING DENSITY <input type="checkbox"/> none <input type="checkbox"/> scattered <input type="checkbox"/> dense <input type="checkbox"/> other, type _____						
TRANSIENTS		none	few	moderate	many	very large
						distance
	Cars				<input checked="" type="checkbox"/>	
	trucks		<input checked="" type="checkbox"/>			
	pedestrians					
other						
MONOCHROMATIC NOISE SOURCES (factories, works, pumps, rivers...) <input type="checkbox"/> no <input type="checkbox"/> yes, type _____						
NEARBY STRUCTURES (trees, poles, buildings, bridges, underground structures) (descriptor, height, distance)						
OBSERVATIONS				FREQUENCY: _____ Hz (if computed in the field)		

14:00

DATE 12/17/2017 | HOUR 13:20 | PLACE MT 3 / 100 m from gate, 2 meter position below

OPERATOR Nirmayanti | GPS TYPE and #

LATITUDE 4°59'41.9" | LONGITUDE 119°51'46.7" | ALTITUDE

STATION TYPE | SENSOR TYPE

FILE NAME | POINT #

GAIN | SAMPL. FREQ. Hz | REC. DURATION (minutes/seconds)

WEATHER WIND  none  weak (5m/s)  medium  strong Measurement (if any):

CONDITIONS RAIN  none  weak  medium  strong Measurement (if any):

TEMPERATURE (approx.) | HUMIDITY (approx.)

GROUND TYPE  earth ( soft)  gravel  sand  rock  grass ( tall)

dry soil  wet soil Remarks

ARTIFICIAL GROUND-SENSOR COUPLING  no  yes, type

BUILDING DENSITY  none  scattered  dense  other, type

TRANSIENTS	MONOCHROMATIC NOISE SOURCES (factories, works, pumps, rivers...)				
	note	few	moderate	many	very many
cars			<input checked="" type="checkbox"/>	<input checked="" type="checkbox"/>	distance
trucks			<input checked="" type="checkbox"/>		
pedestrians					
other					

MONOCHROMATIC NOISE SOURCES (factories, works, pumps, rivers...)  
 no  yes, type tegel keramik

NEARBY STRUCTURES (trees, poles, buildings, bridges, underground structures)  
 (descriptor, height, distance)

OBSERVATIONS

FREQUENCY (if computed in the field) Hz

*15 m dari rumah Bapak  
100 m dari Pak Pak*

DATE <u>12/7/17</u>		HOUR <u>14:22:49</u>		PLACE <u>MT 9</u>	
OPERATOR			GPS TYPE and #		
LATITUDE <u>9°54'40.2</u>		LONGITUDE <u>119°51'17.0"</u>		ALTITUDE	
STATION TYPE		SENSOR TYPE			
STATION #		SENSOR #		DISK #	
FILE NAME				POINT #	
GAIN		SAMPL. FREQ. Hz		REC. DURATION <span style="float: right;">minutes seconds</span>	
WEATHER CONDITIONS	WIND <input type="checkbox"/> none <input type="checkbox"/> weak (5m/s) <input type="checkbox"/> medium <input type="checkbox"/> strong		Measurement (if any): _____		
	RAIN <input type="checkbox"/> none <input type="checkbox"/> weak <input checked="" type="checkbox"/> medium <input type="checkbox"/> strong		Measurement (if any): _____		
	Temperature (approx): _____		Remarks _____		
GROUND TYPE	<input type="checkbox"/> earth ( <input type="checkbox"/> hard <input type="checkbox"/> soft)		<input type="checkbox"/> gravel	<input type="checkbox"/> sand	<input type="checkbox"/> rock
	<input type="checkbox"/> asphalt <input type="checkbox"/> cement <input type="checkbox"/> concrete <input type="checkbox"/> paved <input type="checkbox"/> other _____		<input checked="" type="checkbox"/> grass = ( <input checked="" type="checkbox"/> short <input type="checkbox"/> tall)		
		<input type="checkbox"/> dry soil	<input checked="" type="checkbox"/> wet soil	Remarks _____	
ARTIFICIAL GROUND-SENSOR COUPLING <input type="checkbox"/> no <input checked="" type="checkbox"/> yes, type <u>tegel keramik</u>					
BUILDING DENSITY <input type="checkbox"/> none <input type="checkbox"/> scattered <input type="checkbox"/> dense <input type="checkbox"/> other, type _____					
TRANSIENTS		MONOCHROMATIC NOISE SOURCES (factories, works, pumps, rivers...)			
		<input type="checkbox"/> no <input type="checkbox"/> yes, type _____			
		NEARBY STRUCTURES (trees, poles, buildings, bridges, underground structures)			
		(descriptor, height, distance)			
OBSERVATIONS		FREQUENCY: _____ Hz (if computed in the field)			



DATE 12/7/19		HOUR 16:35		PLACE MTP (5 m dari jalan perijinan)		
OPERATOR			GPS TYPE and #			
LATITUDE 4°04'37.7"		LONGITUDE 110°01'21.2"		ALTITUDE		
STATION TYPE		SENSOR TYPE				
STATION #		SENSOR #		DISK #		
FILE NAME				POINT #		
GAIN		SAMPL. FREQ. Hz		REC. DURATION <small>minutes</small> <small>seconds</small>		
WEATHER		WIND <input checked="" type="checkbox"/> none <input type="checkbox"/> weak (5m/s) <input type="checkbox"/> medium <input type="checkbox"/> strong		Measurement (if any): _____		
CONDITIONS		RAIN <input checked="" type="checkbox"/> none <input type="checkbox"/> weak <input type="checkbox"/> medium <input type="checkbox"/> strong		Measurement (if any): _____		
		Temperature (approx): _____		Remarks _____		
GROUND TYPE		<input type="checkbox"/> earth ( <input type="checkbox"/> hard <input type="checkbox"/> soft) <input type="checkbox"/> gravel <input type="checkbox"/> sand <input type="checkbox"/> rock <input type="checkbox"/> grass = ( <input type="checkbox"/> short <input type="checkbox"/> tall)				
		<input type="checkbox"/> asphalt <input type="checkbox"/> cement <input type="checkbox"/> concrete <input type="checkbox"/> paved <input type="checkbox"/> other _____				
		<input type="checkbox"/> dry soil <input checked="" type="checkbox"/> wet soil		Remarks _____		
ARTIFICIAL GROUND-SENSOR COUPLING <input type="checkbox"/> no <input type="checkbox"/> yes, type _____						
BUILDING DENSITY <input type="checkbox"/> none <input type="checkbox"/> scattered <input type="checkbox"/> dense <input type="checkbox"/> other, type _____						
TRANSIENTS		MONOCHROMATIC NOISE SOURCES (factories, works, pumps, rivers...)				
		<input type="checkbox"/> no <input type="checkbox"/> yes, type _____				
		NEARBY STRUCTURES (trees, poles, buildings, bridges, underground structures...)				
		(descriptor, height, distance)				
	none	few	moderate	many	very dense	distance
cars				<input checked="" type="checkbox"/>		
trucks				<input checked="" type="checkbox"/>		
pedestrians						
other			<input checked="" type="checkbox"/>			
OBSERVATIONS				FREQUENCY: _____ Hz (if computed in the field)		

DATE 12/7/17		HOUR 17:06		PLACE MFJ / 70 m (jalan raya)													
OPERATOR			GPS TYPE and #														
LATITUDE 4°54'38.1"		LONGITUDE 109°51'22.5"		ALTITUDE													
STATION TYPE		SENSOR TYPE															
STATION #		SENSOR #		DISK #													
FILE NAME				POINT #													
GAIN		SAMPL. FREQ. Hz		REC. DURATION <small>minutes seconds</small>													
WEATHER CONDITIONS		WIND <input type="checkbox"/> none <input type="checkbox"/> weak (5m/s) <input type="checkbox"/> medium <input type="checkbox"/> strong		Measurement (if any): _____													
		RAIN <input type="checkbox"/> none <input type="checkbox"/> weak <input type="checkbox"/> medium <input type="checkbox"/> strong		Measurement (if any): _____													
		Temperature (approx): _____		Remarks _____													
GROUND TYPE		<input type="checkbox"/> earth ( <input type="checkbox"/> hard <input type="checkbox"/> soft)		<input type="checkbox"/> gravel													
		<input type="checkbox"/> sand		<input type="checkbox"/> rock													
		<input type="checkbox"/> grass = ( <input type="checkbox"/> short <input type="checkbox"/> tall)															
		<input type="checkbox"/> asphalt <input type="checkbox"/> cement <input type="checkbox"/> concrete <input type="checkbox"/> paved <input type="checkbox"/> other															
		<input type="checkbox"/> dry soil <input type="checkbox"/> wet soil		Remarks _____													
ARTIFICIAL GROUND-SENSOR COUPLING <input type="checkbox"/> no <input type="checkbox"/> yes, type _____																	
BUILDING DENSITY <input type="checkbox"/> none <input type="checkbox"/> scattered <input type="checkbox"/> dense <input type="checkbox"/> other, type _____																	
TRANSIENTS		none		few		moderate		many		very dense		distance		MONOCHROMATIC NOISE SOURCES (factories, works, pumps, rivers...)			
														<input type="checkbox"/> no <input type="checkbox"/> yes, type _____			
														NEARBY STRUCTURES (trees, poles, buildings, bridges, underground structures...)			
														(description, height, distance)			
cars																	
trucks		✓															
pedestrians																	
other				✓													
OBSERVATIONS												FREQUENCY: _____ Hz (if computed in the field)					

00:25

DATE <u>12/07/17</u>		HOUR <u>07:45</u>		PLACE <u>MT 8 / @ in sisi jalan</u>																																				
OPERATOR <u>Nurmaganti</u>			GPS TYPE and #																																					
LATITUDE <u>4°54'41.0"</u>		LONGITUDE <u>119°51'22.8"</u>		ALTITUDE																																				
STATION TYPE		SENSOR TYPE																																						
STATION #		SENSOR #		DISK #																																				
FILE NAME				POINT #																																				
GAIN		SAMPL. FREQ. Hz		REC. DURATION <span style="float:right">minutes seconds</span>																																				
WEATHER		WIND <input checked="" type="checkbox"/> none <input type="checkbox"/> weak (5m/s) <input type="checkbox"/> medium <input type="checkbox"/> strong		Measurement (if any): _____																																				
CONDITIONS		RAIN <input checked="" type="checkbox"/> none <input type="checkbox"/> weak <input type="checkbox"/> medium <input type="checkbox"/> strong		Measurement (if any): _____																																				
Temperature (approx.) _____		Remarks _____																																						
GROUND TYPE		<input type="checkbox"/> earth ( <input type="checkbox"/> hard <input type="checkbox"/> soft) <input type="checkbox"/> gravel <input type="checkbox"/> sand <input type="checkbox"/> rock <input type="checkbox"/> grass = ( <input type="checkbox"/> short <input type="checkbox"/> tall)																																						
		<input type="checkbox"/> asphalt <input type="checkbox"/> cement <input type="checkbox"/> concrete <input type="checkbox"/> paved <input type="checkbox"/> other _____																																						
		<input type="checkbox"/> dry soil <input checked="" type="checkbox"/> wet soil <span style="float:right">Remarks _____</span>																																						
ARTIFICIAL GROUND-SENSOR COUPLING <input type="checkbox"/> no <input checked="" type="checkbox"/> yes, type <u>tegel keramik</u>																																								
BUILDING DENSITY <input checked="" type="checkbox"/> none <input type="checkbox"/> scattered <input type="checkbox"/> dense <input type="checkbox"/> other, type _____																																								
TRANSIENTS		MONOCHROMATIC NOISE SOURCES (factories, works, pumps, rivers...)																																						
		<input type="checkbox"/> no <input type="checkbox"/> yes, type _____																																						
		NEARBY STRUCTURES (trees, polls, buildings, bridges, underground structures...)																																						
		(descriptor, height, distance)																																						
<table border="1" style="width:100%; border-collapse: collapse;"> <thead> <tr> <th></th> <th>none</th> <th>few</th> <th>moderate</th> <th>many</th> <th>very large</th> <th>distance</th> </tr> </thead> <tbody> <tr> <td>cars</td> <td></td> <td></td> <td style="text-align:center">✓</td> <td></td> <td></td> <td></td> </tr> <tr> <td>trucks</td> <td></td> <td style="text-align:center">✓</td> <td></td> <td></td> <td></td> <td></td> </tr> <tr> <td>pedestrians</td> <td></td> <td></td> <td></td> <td></td> <td></td> <td></td> </tr> <tr> <td>other</td> <td></td> <td></td> <td></td> <td></td> <td></td> <td></td> </tr> </tbody> </table>			none	few	moderate	many	very large	distance	cars			✓				trucks		✓					pedestrians							other										
	none	few	moderate	many	very large	distance																																		
cars			✓																																					
trucks		✓																																						
pedestrians																																								
other																																								
OBSERVATIONS				FREQUENCY: _____ Hz (if computed in the field)																																				

DATE 12/07/17		HOUR 10:09 <sup>400</sup>		PLACE MT 9 / 70 m from Jalan raya																																				
OPERATOR Nirmayanti			GPS TYPE and #																																					
LATITUDE 4°59'43.1"		LONGITUDE 119°51'19.9"		ALTITUDE																																				
STATION TYPE		SENSOR TYPE																																						
STATION #		SENSOR #		DISK #																																				
FILE NAME				POINT #																																				
GAIN		SAMPL. FREQ. Hz		REC. DURATION minutes seconds																																				
WEATHER		WIND <input type="checkbox"/> none <input type="checkbox"/> weak (5m/s) <input type="checkbox"/> medium <input type="checkbox"/> strong		Measurement (if any): _____																																				
CONDITIONS		RAIN <input type="checkbox"/> none <input type="checkbox"/> weak <input type="checkbox"/> medium <input type="checkbox"/> strong		Measurement (if any): _____																																				
Temperature (approx): _____		Remarks _____																																						
GROUND TYPE		<input type="checkbox"/> earth ( <input type="checkbox"/> hard / <input type="checkbox"/> soft) <input type="checkbox"/> gravel <input type="checkbox"/> sand <input checked="" type="checkbox"/> rock <input type="checkbox"/> grass ( <input type="checkbox"/> short / <input type="checkbox"/> tall)																																						
		<input type="checkbox"/> asphalt <input type="checkbox"/> cement <input type="checkbox"/> concrete <input type="checkbox"/> paved <input type="checkbox"/> other _____																																						
		<input type="checkbox"/> dry soil <input checked="" type="checkbox"/> wet soil <input type="checkbox"/> Remarks _____																																						
ARTIFICIAL GROUND-SENSOR COUPLING <input checked="" type="checkbox"/> no <input type="checkbox"/> yes, type _____																																								
BUILDING DENSITY <input type="checkbox"/> none <input type="checkbox"/> scattered <input type="checkbox"/> dense <input type="checkbox"/> other, type _____																																								
TRANSIENTS		MONOCHROMATIC NOISE SOURCES (factories, works, pumps, rivers...)																																						
		<input type="checkbox"/> no <input type="checkbox"/> yes, type _____																																						
		NEARBY STRUCTURES (trees, poles, buildings, bridges, underground structures...)																																						
		(descriptor, height, distance)																																						
		<table border="1"> <thead> <tr> <th></th> <th>none</th> <th>few</th> <th>moderate</th> <th>many</th> <th>very dense</th> <th>distance</th> </tr> </thead> <tbody> <tr> <td>cars</td> <td></td> <td></td> <td>✓</td> <td></td> <td></td> <td></td> </tr> <tr> <td>trucks</td> <td></td> <td>✓</td> <td></td> <td></td> <td></td> <td></td> </tr> <tr> <td>pedestrians</td> <td></td> <td></td> <td></td> <td></td> <td></td> <td></td> </tr> <tr> <td>other</td> <td></td> <td></td> <td></td> <td></td> <td></td> <td></td> </tr> </tbody> </table>					none	few	moderate	many	very dense	distance	cars			✓				trucks		✓					pedestrians							other						
	none	few	moderate	many	very dense	distance																																		
cars			✓																																					
trucks		✓																																						
pedestrians																																								
other																																								
OBSERVATIONS				FREQUENCY: _____ Hz (if computed in the field)																																				

DATE <u>12/07/12</u>		HOUR <u>11:52:05</u>		PLACE <u>MT 10 / 40 meter from Df</u>	
OPERATOR <u>Hirwayanti</u>			OPS TYPE and #		
LATITUDE <u>4°59'49.9"</u>		LONGITUDE <u>119°51'19.1"</u>		ALTITUDE	
STATION TYPE		SENSOR TYPE			
STATION #		SENSOR #		DATE #	
FILE NAME				POINT #	
GAIN		SAMPL. FREQ. Hz		REC. DURATION <span style="float:right">minutes seconds</span>	
WEATHER CONDITIONS	WIND <input type="checkbox"/> none <input type="checkbox"/> weak (5m/s) <input checked="" type="checkbox"/> medium <input type="checkbox"/> strong		Measurement (if any): _____		
	RAIN <input type="checkbox"/> none <input type="checkbox"/> weak <input checked="" type="checkbox"/> medium <input type="checkbox"/> strong		Measurement (if any): _____		
Temperature (approx) _____		Remarks _____			
GROUND TYPE	<input type="checkbox"/> earth ( <input type="checkbox"/> hard <input type="checkbox"/> soft)		<input type="checkbox"/> gravel	<input type="checkbox"/> sand	<input type="checkbox"/> rock
	<input type="checkbox"/> asphalt		<input type="checkbox"/> cement	<input type="checkbox"/> concrete	<input type="checkbox"/> paved
<input type="checkbox"/> grass = ( <input type="checkbox"/> short <input type="checkbox"/> tall)		<input type="checkbox"/> other _____			
<input type="checkbox"/> dry soil		<input checked="" type="checkbox"/> wet soil		Remarks _____	
ARTIFICIAL GROUND-SENSOR COUPLING		<input type="checkbox"/> no <input checked="" type="checkbox"/> yes, type <u>Tejal beaming</u>			
BUILDING DENSITY <input type="checkbox"/> none <input type="checkbox"/> scattered <input type="checkbox"/> dense <input type="checkbox"/> other, type _____					
TRANSIENTS		MONOCHROMATIC NOISE SOURCES (factories, works, pumps, rivers...)			
		<input type="checkbox"/> no <input type="checkbox"/> yes, type _____			
		NEARBY STRUCTURES (trees, poles, buildings, bridges, underground structures)			
		(descriptor, height, distance)			
cars			<input checked="" type="checkbox"/>	<input checked="" type="checkbox"/>	
trucks					
pedestrians			<input checked="" type="checkbox"/>		
other					
OBSERVATIONS				FREQUENCY: _____ Hz (if computed in the field)	



**LAMPIRAN  
ADMINISTRASI**

UNIVERSITAS ISLAM NEGERI  
**ALAUDDIN**  
M A K A S S A R



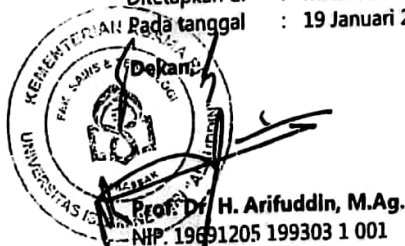
**KEPUTUSAN DEKAN FAKULTAS SAINS & TEKNOLOGI  
UIN ALAUDDIN MAKASSAR  
NOMOR : 097 TAHUN 2017**

**TENTANG**

**PEMBIMBING/PEMBANTU PEMBIMBING DALAM PENELITIAN DAN PENYUSUNAN SKRIPSI MAHASISWA  
JURUSAN Fisika FAKULTAS SAINS & TEKNOLOGI UIN ALAUDDIN MAKASSAR  
DEKAN FAKULTAS SAINS & TEKNOLOGI UIN ALAUDDIN MAKASSAR**

- Membaca** : Surat Permohonan Jurusan Fisika Fakultas Sains & Teknologi UIN Alauddin Makassar, Nama **NIRMAYANTI NIM : 60400113049** tertanggal **19 Januari 2017** untuk mendapatkan Pembimbing Skripsi dengan Judul : **"Identifikasi Daerah rawan Longsor di Kecamatan Camba Kabupaten Maros Menggunakan Mikrotremur"**
- Menimbang** : a. Bahwa untuk membantu penelitian dan penyusunan skripsi mahasiswa tersebut, dipandang perlu untuk menetapkan pembimbing/pembantu pembimbing penyusunan skripsi mahasiswa tersebut diatas.  
b. Bahwa mereka yang ditetapkan dalam surat keputusan ini dipandang cakap dan memenuhi syarat untuk diserahi tugas sebagai pembimbing/pembantu pembimbing penyusunan skripsi mahasiswa tersebut diatas.
- Mengingat** : 1. Undang-undang No. 20 Tahun 2003 tentang Sistem Pendidikan Nasional;  
2. Undang-undang No. 12 Tahun 2012 tentang Pendidikan Tinggi;  
3. Peraturan Presiden Nomor 53 Tahun 2010 Tentang Perubahan Kedua Atas Keputusan Presiden Nomor 42 Tahun 2002 Tentang Pedoman Pelaksanaan Anggaran Pendapatan dan Belanja Negara;  
4. Keputusan Menteri Agama RI. No. 492 Tahun 2003 tentang Pemberian Kuasa Pendelegasian Wewenang Pengangkatan, Pemindahan dan Pemberhentian PNS ditingkat Depag;  
5. Keputusan Menteri Keuangan Nomor. 330/KMK/05/ Tahun 2008 Tentang Penetapan UIN Alauddin Makassar pada Depag Sebagai Institusi Pemerintah yang Menerapkan Pengelolaan Badan Layanan Umum (BLU);  
6. Keputusan Menteri Agama RI. Nomor 25 Tahun 2013 tentang Organisasi dan Tata Kerja UIN Alauddin Makassar;  
7. Surat Menteri Agama RI. Nomor 20 Tahun 2014 Tentang Statuta UIN Alauddin Makassar;  
8. Surat Keputusan Rektor UIN Alauddin Nomor 200 Tahun 2016 Tentang Pedoman Edukasi UIN Alauddin.
- MEMUTUSKAN**
- Pertama** : Mengangkat/ Menunjuk saudara :  
1. **Rahmanlah, S.SI., M.SI.** sebagai Pembimbing Pertama,  
2. **Sri Zelviani, S.SI., M.Sc.** sebagai Pembimbing Kedua.
- Kedua** : Tugas Pembimbing/ Pembantu Pembimbing dalam penelitian dan penyusunan skripsi mahasiswa adalah memeriksa draft skripsi dan naskah skripsi, memberi bimbingan, petunjuk-petunjuk, perbaikan mengenai materi, metode, bahasa dan kemampuan menguasai masalah,
- Ketiga** : Segala biaya yang timbul akibat dikeluarkannya surat keputusan ini dibebankan kepada Anggaran Belanja Fakultas Sains & Teknologi UIN Alauddin Makassar,
- Keempat** : Surat Keputusan ini mulai berlaku sejak tanggal ditetapkan dan apabila dikemudian hari terdapat kekeliruan didalamnya akan diperbaiki sebagaimana mestinya,
- Kelima** : Surat Keputusan ini disampaikan kepada masing-masing yang bersangkutan untuk diketahui dan dilaksanakan dengan penuh tanggungjawab.

Ditetapkan di : Makassar  
Pada tanggal : 19 Januari 2017





**KEPUTUSAN DEKAN FAKULTAS SAINS & TEKNOLOGI  
UIN ALAUDDIN MAKASSAR  
NOMOR : 345 TAHUN 2017**

**TENTANG**

**PANITIA SEMINAR DRAFT PENELITIAN DAN PENYUSUNAN SKRIPSI MAHASISWA  
JURUSAN FISIKA FAKULTAS SAINS & TEKNOLOGI UIN ALAUDDIN MAKASSAR**

**DEKAN FAKULTAS SAINS & TEKNOLOGI UIN ALAUDDIN MAKASSAR**

- Membaca** : Surat Permohonan Ketua Jurusan Fakultas Sains & Teknologi UIN Alauddin Makassar, Nirmyanti NIM 60400113049 tertanggal 16 Februari 2017, untuk melaksanakan seminar draft .
- Menimbang** : Bahwa untuk pelaksanaan dan kelancaran seminar draft/hasil, perlu dibentuk panitia seminar draft dan penyusunan skripsi
- Mengingat** :
1. Undang-undang No. 20 Tahun 2003 tentang Sistem Pendidikan Nasional;
  2. Undang-undang Nomor 17 Tahun 2003 tentang Keuangan Negara;
  3. Undang-undang Nomor 12 Tahun 2012 tentang Pendidikan Tinggi;
  4. Peraturan Menteri Agama RI No. 1 Tahun 2012 tentang Perubahan Ketiga atas Peraturan Menteri Agama No. 2 Tahun 2006 tentang Mekanisme Pelaksanaan Pembayaran atas Beban Anggaran Pendapatan dan Belanja Negara di Lingkungan Kementerian Agama;
  5. Peraturan Menteri Agama RI Nomor 25 Tahun 2013 jo Peraturan Menteri Agama Nomor 85 Tahun 2013 tentang Organisasi dan Tata Kerja UIN Alauddin Makassar;
  6. Peraturan Menteri Agama RI. Nomor 20 Tahun 2014 jo Peraturan Menteri Agama Nomor 8 Tahun 2016 tentang Statuta UIN Alauddin Makassar;
  7. Keputusan Menteri Agama Nomor 289 Tahun 1993 jo Nomor 202 B Tahun 1998 tentang Pemberian Kuasa dan Pendelegasian Wewenang Menandatangani Surat Keputusan;
  8. Keputusan Menteri Keuangan No.330/05/2008 tentang penetapan UIN Alauddin Makassar pada Dep.Agama sebagai Instansi Pemerintah yang Menerapkan Pengelolaan Badan Layanan Umum (BLU);

**MEMUTUSKAN**

**Menetapkan Pertama** : Membentuk Panitia Seminar draft, Jurusan Fisika Fakultas Sains dan Teknologi UIN Alauddin Makassar dengan komposisi :

**Ketua** : Sahara, S.Si., M.Sc., Ph.D

**Sekretaris** : Ihsan, S.Pd., M.Si

**Anggota Penguji** : Rahmaniah, S.Si., M.Si

: Sri Zelviani, S.Si., M.Sc

: Hernawati, S.Pd., M. Pfiis

: Dr. Sohra, M.Ag

**Pelaksana** : Sumiati, S.Pd.I

- Kedua** :
1. Panitia bertugas melaksanakan seminar draft/hasil, memberi bimbingan, petunjuk-petunjuk perbaikan mengenai materi, metode, bahasa dan kemampuan menyuasai masalah penyusunan skripsi
  2. Biaya pelaksanaan seminar draft penelitian dibebankan kepada anggaran Fakultas Sains dan Teknologi UIN Alauddin Makassar
  3. Apabila dikemudian hari ternyata terdapat kekeliruan dalam surat keputusan ini akan diubah dan diperbaiki sebagaimana mestinya

Surat Keputusan ini disampaikan kepada yang bersangkutan untuk diketahui dan dilaksanakan dengan penuh tanggungjawab.

Ditetapkan di : Makassar  
Pada tanggal : 16 Februari 2017



**Prof. Dr. H. Arifuddin, M.Ag.**  
NIP. 19691205 199303 1 001



**KEPUTUSAN DEKAN FAKULTAS SAINS & TEKNOLOGI  
UIN ALAUDDIN MAKASSAR  
NOMOR : 1405 TAHUN 2017**

**TENTANG**

**PANITIA UJIAN KUALIFIKASI HASIL PENELITIAN DALAM PENYUSUNAN SKRIPSI MAHASISWA  
SAINS & TEKNOLOGI UIN ALAUDDIN MAKASSAR**

**DEKAN FAKULTAS SAINS & TEKNOLOGI UIN ALAUDDIN MAKASSAR**

Membaca

Surat Permohonan **NIRMAYANTI, NIM 60400113049, tertanggal 08 Agustus 2017** untuk melaksanakan seminar Hasil.

Memeriksa

Bahwa untuk pelaksanaan dan kelancaran seminar draft/hasil, perlu dibentuk panitia seminar Hasil dan penyusunan skripsi

Mengingat

1. Undang-Undang No. 20 Tahun 2003 tentang Sistem Pendidikan Nasional;
2. Undang-Undang Nomor 17 Tahun 2003 tentang Keuangan Negara;
3. Undang-Undang Nomor 12 Tahun 2012 tentang Pendidikan Tinggi;
4. Peraturan Menteri Agama RI No.1 Tahun 2012 tentang Perubahan ketiga atas Peraturan Menteri Agama Nomor 2 Tahun 2006 tentang Mekanisme Pelaksanaan Pembayaran atas Beban Anggaran Pendapatan dan Belanja Negara di Lingkungan Kementerian Agama;
5. Peraturan Menteri Agama RI Nomor 25 Tahun 2013 jo Peraturan Menteri Agama Nomor 85 Tahun 2013 tentang Organisasi dan Tata Kerja UIN Alauddin Makassar;
6. Peraturan Menteri Agama RI. Nomor 20 Tahun 2014 jo Peraturan Menteri Agama Nomor 8 Tahun 2016 tentang Statuta UIN Alauddin Makassar;
7. Keputusan Menteri Agama Nomor 289 Tahun 1993 jo Nomor 202 B Tahun 1998 tentang Pemberian Kuasa dan Pendelegasian Wewenang Menandatangani Surat Keputusan;
8. Keputusan Menteri Keuangan No.330/05/2008 tentang penetapan UIN Alauddin Makassar pada Dep.Agama sebagai Instansi Pemerintah yang Menerapkan Pengelolaan Badan Layanan Umum (BLU);
9. Keputusan Rektor UIN Alauddin No.200 tahun 2016 tentang Pedoman Edukasi UIN Alauddin Makassar;

**MEMUTUSKAN**

Menetapkan  
Pertama

Membentuk Dewan Penguji Seminar Hasil, Jurusan Fisika Fakultas Sains dan Teknologi UIN Alauddin Makassar dengan komposisi :

- Ketua** : Sahara,S.Si., M.Si.,Ph.D.  
**Sekretaris** : Ihsan,S.Pd., M.Si.  
**Anggota Penguji** : Rahmanlah, S.Si., M.Si  
: Sri Zelviani, S.Si., M.Sc.  
: Hernawati,S.Pd., M.Pfls.  
: Dr.Sohra, M.Ag.  
**Pelaksana** : Dra.Justinah

Kedua

1. Panitia bertugas melaksanakan seminar draft/hasil, memberi bimbingan, petunjuk-petunjuk, perbaikan mengenai materi, metode, bahasa dan kemampuan menguasai masalah penyusunan skripsi
2. Biaya pelaksanaan seminar draft penelitian dibebankan kepada anggaran Fakultas Sains dan Teknologi UIN Alauddin Makassar
3. Apabila dikemudian hari ternyata terdapat kekeliruan dalam surat keputusan ini akan diubah dan diperbaiki sebagaimana mestinya

Surat Keputusan ini disampaikan kepada yang bersangkutan untuk diketahui dan dilaksanakan dengan penuh tanggungjawab.

Ditetapkan di : Makassar  
Pada tanggal : 08 Agustus 2017

Dekan



Prof.Dr.H.Arifuddin,M.Ag.  
NIP. 19691205 199303 1 001



**KEPUTUSAN DEKAN FAKULTAS SAINS & TEKNOLOGI  
UIN ALAUDDIN MAKASSAR  
NOMOR : 1521 TAHUN 2017  
TENTANG**

**PANITIA UJIAN KOMPREHENSIF  
JURUSAN FISIKA FAKULTAS SAINS DAN TEKNOLOGI**

**DEKAN FAKULTAS SAINS & TEKNOLOGI UIN ALAUDDIN MAKASSAR**

**Membaca** : Surat permohonan Ujian Komprehensif : NIRMAYANTI, NIM: 60400113049  
**Menimbang** : Bahwa untuk pelaksanaan dan kelancaran ujian komprehensif perlu dibentuk panitia ujian

**Mengingat** :

1. Undang-Undang No. 20 Tahun 2003 tentang Sistem Pendidikan Nasional;
2. Undang-Undang Nomor 17 Tahun 2003 tentang Keuangan Negara;
3. Undang-Undang Nomor 12 Tahun 2012 tentang Pendidikan Tinggi;
4. Peraturan Menteri Agama RI No.1 Tahun 2012 tentang Perubahan ketiga atas Peraturan Menteri Agama Nomor 2 Tahun 2006 tentang Mekanisme Pelaksanaan Pembayaran atas Beban Anggaran Pendapatan dan Belanja Negara di Lingkungan Kementerian Agama;
5. Peraturan Menteri Agama RI Nomor 25 Tahun 2013 jo Peraturan Menteri Agama Nomor 85 Tahun 2013 tentang Organisasi dan Tata Kerja UIN Alauddin Makassar
6. Peraturan Menteri Agama RI. Nomor 20 Tahun 2014 jo Peraturan Menteri Agama Nomor 8 Tahun 2016 tentang Statuta UIN Alauddin Makassar;
7. Keputusan Menteri Agama Nomor: 289 Tahun 1993 jo Nomor: 202 B Tahun 1998 tentang Pemberian Kuasa dan Pendelegasian Wewenang Menandatangani Surat Keputusan;
8. Keputusan Menteri Keuangan No.330/05/2008 tentang penetapan UIN Alauddin Makassar pada Dep.Agama sebagai Instansi Pemerintah yang Menerapkan Pengelolaan Badan Layanan Umum (BLU);
9. Keputusan Rektor UIN Alauddin No.200 tahun 2016 tentang Pedoman Edukasi UIN Alauddin Makassar;

**MEMUTUSKAN**

**Menetapkan** : 1. Membentuk Panitia Ujian Komprehensif, Jurusan Fisika Fakultas Sains dan Teknologi UIN Alauddin Makassar dengan komposisi:

**Ketua** : Dr.Hj.Wasilah,S.T., M.T.  
**Sekretaris** : Nurman Najib,S.Ag., M.M.  
**Anggota Penguji** : Dr.Sohrah,M.Ag.  
: Rahmaniah,S.Si., M.Si.  
: Sri Zelviani, S.Si., M.Sc.  
**Pelaksana** : Agusdin, S.Sos.

2. Panitia bertugas menyiapkan perlengkapan administrasi dan melaksanakan ujian
3. Biaya pelaksanaan ujian dibebankan kepada anggaran Fakultas Sains dan Teknologi UIN Alauddin Makassar.
4. Tugas Panitia dianggap selesai setelah seluruh rangkaian kegiatan ujian berakhir.
5. Apabila dikemudian hari ternyata terdapat kekeliruan dalam surat keputusan ini akan diubah dan diperbaiki sebagaimana mestinya.

Surat keputusan ini disampaikan kepada yang bersangkutan untuk diketahui dan dilaksanakan dengan penuh rasa tanggung jawab.

Ditetapkan di : Makassar  
Pada tanggal : 14 agustus 2017





**KEPUTUSAN DEKAN FAKULTAS SAINS & TEKNOLOGI  
UIN ALAUDDIN MAKASSAR  
NOMOR : 1638 TAHUN 2017**

**TENTANG**

**PANITIA UJIAN MUNAQASYAH  
JURUSAN FISIKA FAKULTAS SAINS & TEKNOLOGI**

DEKAN FAKULTAS SAINS & TEKNOLOGI UIN ALAUDDIN MAKASSAR

- Membaca : Surat permohonan : **NIRMAYANTI**  
NIM : **60400113049**  
Tanggal : **21 Agustus 2107**  
Mahasiswa Jurusan : **FISIKA**  
Untuk Ujian Skripsi/ Munaqasyah yang berjudul " **Identifikasi Daerah Rawan Longsor di Kecamatan Camba Kabupaten Maros dengan Menggunakan Mikrotremor**"
- Menimbang : 1. Bahwa saudara tersebut diatas telah memenuhi persyaratan Ujian Skripsi/ Munaqasyah  
2. Bahwa untuk pelaksanaan dan kelancaran ujian/ Munaqasyah perlu dibentuk panitia ujian.
- Mengingat : 1. Undang-Undang No. 20 Tahun 2003 tentang Sistem Pendidikan Nasional;  
2. Undang-Undang Nomor 17 Tahun 2003 tentang Keuangan Negara;  
3. Undang-Undang Nomor 12 Tahun 2012 tentang Pendidikan Tinggi;  
4. Peraturan Menteri Agama RI No.1 Tahun 2012 tentang Perubahan ketiga atas Peraturan Menteri Agama Nomor 2 Tahun 2006 tentang Mekanisme Pelaksanaan Pembayaran atas Beban Anggaran Pendapatan dan Belanja Negara di Lingkungan Kementerian Agama;  
5. Peraturan Menteri Agama RI Nomor 25 Tahun 2013 jo Peraturan Menteri Agama Nomor 85 Tahun 2013 tentang Organisasi dan Tata Kerja UIN Alauddin Makassar  
6. Peraturan Menteri Agama RI. Nomor 20 Tahun 2014 jo Peraturan Menteri Agama Nomor 8 Tahun 2016 tentang Statuta UIN Alauddin Makassar;  
7. Keputusan Menteri Agama Nomor 289 Tahun 1993 jo Nomor 202 B Tahun 1998 tentang Pemberian Kuasa dan Pendelegasian Wewenang Menandatangani Surat Keputusan  
8. Keputusan Menteri Keuangan No.330/05/2008 tentang penetapan UIN Alauddin Makassar pada Dep.Agama sebagai Instansi Pemerintah yang Menerapkan Pengelolaan Badan Layanan Umum (BLU)  
9. Keputusan Rektor UIN Alauddin No.200 tahun 2016 tentang Pedoman Edukasi UIN Alauddin Makassar

**MEMUTUSKAN**

- Menetapkan : 1. Membentuk Dewan Penguji Skripsi/ Munaqasyah Fakultas Sains dan Teknologi UIN Alauddin Makassar dengan komposisi :

**Ketua : Dr.Wasilah,S.T., M.T.**  
**Sekretaris : Ihsan, S.Pd.,M.Si.**  
**Anggota Penguji : Rahmanlah, S. Si., M.Si**  
**: Sri Zelviani, S.Si., M.Sc.**  
**: Hernawati, S.Pd., M.Pfls.**  
**: Dr.Sohrah, M.Ag.**  
**Pelaksana : Dra.Justinah**

2. Panitia bertugas melaksanakan ujian Skripsi/Munaqasyah bagi saudara yang namanya tersebut diatas.  
3. Biaya pelaksanaan ujian dibebankan kepada anggaran Fakultas Sains & Teknonologi UIN Alauddin Makassar.  
4. Apabila dikemudian hari ternyata terdapat kekelruan dalam surat keputusan ini akan diubah dan diperbaiki sebagaimana na mestinya.

Keputusan ini disampaikan kepada yang bersangkutan untuk diketahui dan dilaksanakan dengan penuh rasa tanggung jawab.

Ditetapkan di Makassar  
pada tanggal, 21 Agustus 2107

**Dr.H. Arifuddin, M.Ag.**  
**NIP. 1969 205 199303 1 001**